

บทที่ 4 ผลการศึกษา

4.1 การเปลี่ยนแปลงสภาพภูมิอากาศและความสัมพันธ์กับผลผลิตยางพาราในภาคใต้ของประเทศไทย

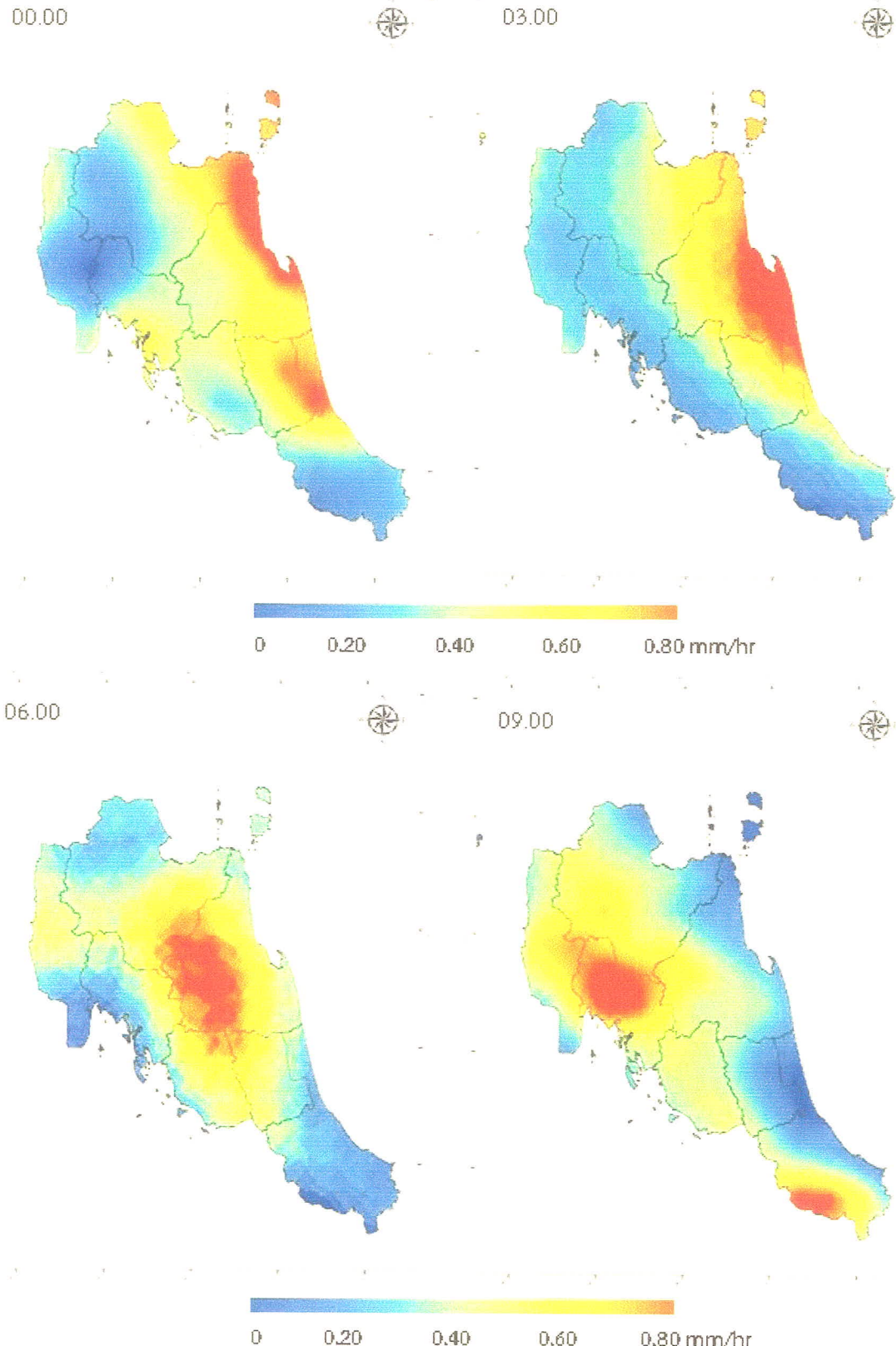
4.1.1 ความแปรปรวนในรอบวันของหยาดน้ำฟ้าในพื้นที่ 7 จังหวัดของภาคใต้

ความแปรปรวนในรอบวันของหยาดน้ำฟ้าในโอดเมนที่ครอบคลุมพื้นที่ของจังหวัดกรุงปี พังงา ตรัง สุราษฎร์ธานี นครศรีธรรมราช พัทลุงและสงขลา ได้ถูกวิเคราะห์บนพื้นฐานของข้อมูลดาวเทียม TRMM โดยก่อนที่จะทำการวิเคราะห์ความแปรปรวนรอบวันด้วยฟังก์ชันไฮโนนิก ข้อมูลหยาดน้ำฟ้าที่ตรวจวัดทุกๆ 3 ชั่วโมงในรอบวัน (00.00, 03.00, 06.00, 09.00, 12.00, 15.00, 18.00, 21.00 LST (Local Solar Time)) ได้ถูกคำนวณค่าเฉลี่ยในระยะยาว (1998-2010) และหน่วยเวลาสากลเชิงพิกัดของข้อมูล TRMM หรือ Coordinated Universal Time (UTC) ได้ถูกแปลงเป็นหน่วยเวลาระบบสุริยะคติท้องถิ่น (Local Solar Time; LST) ซึ่งเป็นหน่วยเวลาพื้นฐานตามความรู้สึกของมนุษย์ ที่ได้สมมุติให้วันที่เกิดจากวงоворณาถีย์สมมุติ หรือวงอาทิตย์เฉลี่ยที่มีทางโคจรที่สม่ำเสมอบนท้องฟ้า มาพิจารณาแทนวงอาทิตย์ เพื่อปรับแก้ความแตกต่างของเวลาตามตำแหน่งเส้นแบ่ง (Longitude) ในแต่ละกริด (Dai et al., 2007; Kikuchi and Wang, 2008) ทั้งนี้ หน่วย UTC ได้ถูกแปลงเป็น LST โดยการประมาณค่าด้วยเทคนิค Piece-wise cubic hermit polynomial interpolation จากระยะทางตามแนวเส้นแบ่งระหว่างจุดของแต่ละกริดและตำแหน่งเส้นแบ่งที่ 0 องศา (Pribadi et al., 2012)

รูปที่ 4.1 แสดงค่าเฉลี่ยระยะยาวระหว่างปี ค.ศ. 1998 ถึง 2010 คำนวณตามราย 3 ชั่วโมงของข้อมูลหยาดน้ำฟ้าในโอดเมนที่ครอบคลุม 7 จังหวัดในบริเวณพื้นที่ภาคใต้ จากผลการวิเคราะห์พบว่า ค่าเฉลี่ยระยะยาวของหยาดน้ำฟ้าในรอบวันในพื้นที่ดังกล่าว มีความแปรปรวนซึ่งพื้นที่ที่ซัดเจน โดยมีค่าผันแปรอยู่ในช่วง 0.2 ถึง 0.8 mm/hr ค่าสูงสุดของปริมาณหยาดน้ำฟ้าซึ่งเกิดขึ้นในช่วงเวลา 00.00-06.00 LST ปรากฏในบริเวณพื้นที่ของจังหวัดนครศรีธรรมราชและบางส่วนของจังหวัดพัทลุงและจังหวัดตรัง ทั้งนี้ สัญญาณรอบวันของปริมาณหยาดน้ำฟ้าดังกล่าว ได้เคลื่อนตัวในลักษณะ Diurnal propagation สู่ผ่านด้านมื้นในเวลา 09.00-12.00 LST โดยค่าสูงสุดปรากฏในพื้นที่จังหวัดกรุงปีในเวลา 09.00 LST และจังหวัดพังงาในเวลา 12.00 LST (รูปที่ 4.1) ส่วนรูปแบบปริมาณหยาดน้ำฟ้าในช่วงตอนบ่ายถึงตอนกลางคืน (15.00 – 21.00 LST) ในบริเวณพื้นที่ 7 จังหวัดของภาคใต้ มีลักษณะที่แสดงถึงค่าสูงสุดในพื้นที่ที่ติดกับทะเลทั้งทางฝั่งอ่าวไทยและฝั่งอันดามัน โดยเฉพาะอย่างยิ่งจังหวัดสงขลาและจังหวัดพังงา รวมทั้งบางส่วนของจังหวัดสุราษฎร์ธานี (รูปที่ 4.1) ทั้งนี้ ลักษณะการเปลี่ยนแปลงเชิงพื้นที่ของความแปรปรวนรอบวันของหยาดน้ำฟ้าในบริเวณพื้นที่ 7 จังหวัดของภาคใต้ จำแนกเป็นสัญญาณวงจรรอบวันพื้นฐานของภูมิอากาศในบริเวณ Maritime continent ที่เกิดจากความแปรปรวนที่แตกต่างกันของ Potential instability ซึ่งถูกขับเคลื่อนโดยพลังค์ความร้อนพื้นผิว แสงอาทิตย์ที่ส่องลงมาและการเย็นตัวลงของพื้นดินและมหาสมุทรจากคลื่นชั่งยาวหรือคลื่นความร้อน ผนวกกับพลวัตรตามธรรมชาติในระดับ Mesoscale ของ Convective system ที่ปฏิสัมพันธ์กับ Gravity wave, Density current และ Local circulation ในพื้นที่ชายฝั่งและพื้นที่บริเวณเทือกเขา (Teo et al., 2011)

ฟังก์ชันไฮโนนิก ได้ถูกนำมาประมาณความแปรปรวนรอบวันของหยาดน้ำฟ้าในแต่ละกริดของพื้นที่ใน 7 จังหวัดของภาคใต้ โดยผลลัพธ์ของการวิเคราะห์ฟังก์ชันไฮโนนิก ประกอบด้วย 1) ส่วนสำคัญ คือ 1) ความแปรปรวนที่สามารถอธิบายได้ในแต่ละลำดับของฟังก์ชันไฮโนนิก 2) เฟสหรือเวลาในรอบวันที่หยาดน้ำฟ้าถึงจุดสูงสุด 3) แอมเพลจูดหรือปริมาณฝนสูงสุดที่แสดงถึงรูปแบบและลักษณะแบบหนึ่งครั้งต่อวันหรือสองครั้งต่อวัน (Diurnal หรือ Semi-diurnal cycle) และ 4) วงจรรอบวันรายชั่วโมงที่ประมาณด้วยฟังก์ชันไฮโนนิก

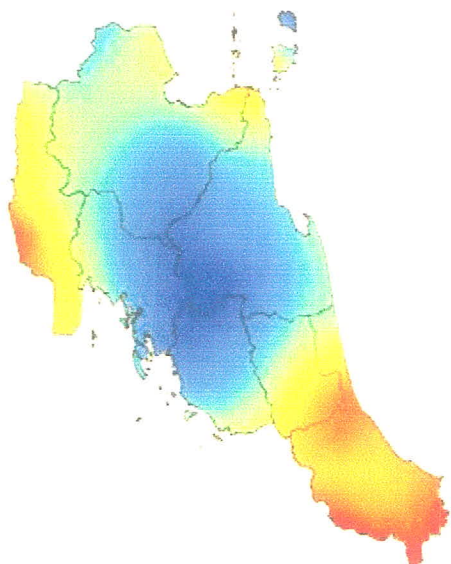
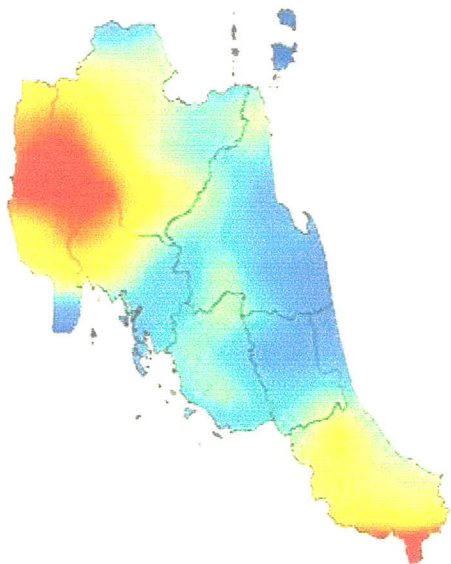
ลำดับที่ 1, 2, 3 และ 4 ตามลำดับ สัดส่วนความแปรปรวนที่สามารถอธิบายได้ในไฮโนนิก ลำดับที่ 1 พร้อมทั้ง แอมเพลจูดและเฟส สำหรับข้อมูลค่าเฉลี่ยระยะยา (1998-2010) ของหยาดน้ำฟ้าราย 3 ชั่วโมง ในแต่ละ กรณีบริเวณพื้นที่ 7 จังหวัดภาคใต้ แสดงในรูปที่ 4.1 โดยสรุปแล้ว พบว่า ไฮโนนิก ลำดับที่ 1 สามารถอธิบาย ความแปรปรวนได้มากกว่า 50% ในพื้นที่จังหวัดพังงา สุราษฎร์ธานีและสงขลา รวมทั้งบางส่วนของจังหวัด กระบี่และนครศรีธรรมราช ในขณะที่ สัดส่วนความแปรปรวนที่สามารถอธิบายได้ในไฮโนนิก ลำดับที่ 1 ต่ำกว่า 50% ในพื้นที่ติดชายฝั่งทะเลอันดามันและอ่าวไทยในจังหวัดกระบี่ ตรัง และนครศรีธรรมราช (รูปที่ 4.1) สำหรับแอมเพลจูดของความแปรปรวนรอบวันของหยาดน้ำฟ้าที่ประมาณด้วยฟังก์ชันไฮโนนิกลำดับที่ 1 มีค่า ออยู่ในช่วง 0.01 ถึง 0.25 mm/hr โดยรูปแบบเชิงพื้นที่ มีลักษณะที่สอดคล้องกับสัดส่วนความแปรปรวน ซึ่งมี ค่าสูงสุดในพื้นที่รอยต่อของจังหวัดพังงา กระบี่และสุราษฎร์ธานี รวมทั้งตอนล่างของจังหวัดสงขลา (รูปที่ 4.1) ในขณะที่ เวลาในรอบวันที่หยาดน้ำฟ้าในบริเวณพื้นที่ 7 จังหวัดของภาคใต้ถึงจุดสูงสุด มีค่าอยู่ในช่วงกว้าง กล่าวว่าคือ หยาดน้ำฟ้าในรอบวันในพื้นที่จังหวัดนครศรีธรรมราชและพื้นที่รอยต่อกับจังหวัดสุราษฎร์ธานี กระบี่ และตรัง ถึงจุดสูงสุดช่วงเช้าก่อน 10.00 LST ส่วนหยาดน้ำฟ้าในรอบวันในพื้นที่จังหวัดพังงาและจังหวัดสงขลา มีค่าสูงสุดในช่วงเย็นถึงค่ำ (15.00-21.00 LST) (รูปที่ 4.1) รูปที่ 4.2 แสดงความแปรปรวนในรอบวันเฉลี่ยของ หยาดน้ำฟ้าในแต่ละจังหวัด พร้อมด้วยวงรอบวันของหยาดน้ำฟ้ารายชั่วโมงที่จำลองด้วยฟังก์ชันไฮโนนิก ลำดับ ที่ 1 ถึงลำดับที่ 4 จากการตรวจสอบรูปที่ 4.2 พบว่า ความแปรปรวนของหยาดน้ำฟ้าในรอบวันตามราย จังหวัดในภาพรวม มีลักษณะที่ไม่แตกต่างกันอย่างมีนัยสำคัญในเชิงของเฟสและแอมเพลจูด โดยวงจรรอบวัน ของหยาดน้ำฟ้ามีลักษณะแบบ Diurnal cycle ที่มีค่าสูงสุดหนึ่งครั้งต่อวัน ซึ่งมักเกิดในช่วงตอนเช้าก่อน 10.00 LST (รูปที่ 4.2) ทั้งนี้ ผลกระทบของฟังก์ชันไฮโนนิกในลำดับที่ 1 ถึง 4 สามารถแสดงรูปแบบความ แปรปรวนของหยาดน้ำฟ้าเฉลี่ยของแต่ละจังหวัด ได้เกือบสมบูรณ์ 100% (รูปที่ 4.2) จากผลการศึกษา ดังกล่าว อาจกล่าวได้ว่า รูปแบบความแปรปรวนของหยาดน้ำฟ้าในแต่ละกรณี สามารถจำลองได้ด้วยฟังก์ชันไฮ โนนิก ลำดับที่ 1 ถึง 4 โดยการจำลองทางสถิติดังกล่าว จะช่วยให้เข้าใจถึงรูปแบบของวงจรรอบวันของหยา น้ำฟ้า ซึ่งนับเป็นองค์ความรู้พื้นฐานที่จำเป็นต่อการเข้าใจถึงแนวโน้มการเปลี่ยนแปลงของความแปรปรวน ความถี่สูงในควบเวลาหนึ่งวัน ซึ่งเป็นปัจจัยที่สำคัญที่ส่งผลต่อภัยธรรมการกรีดยางพาราของเกษตรกร



รูปที่ 4.1 ค่าเฉลี่ยระยะยาว (1998-2010) ตามราย 3 ชั่วโมง (00.00, 03.00, 06.00 และ 09.00 LST) ของ
หมายดน้ำฟ้า

12.00

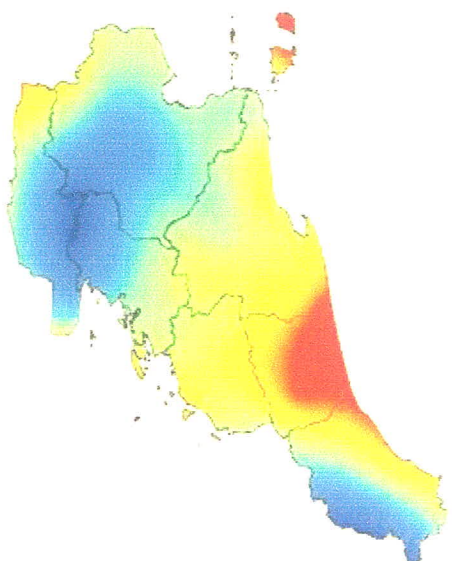
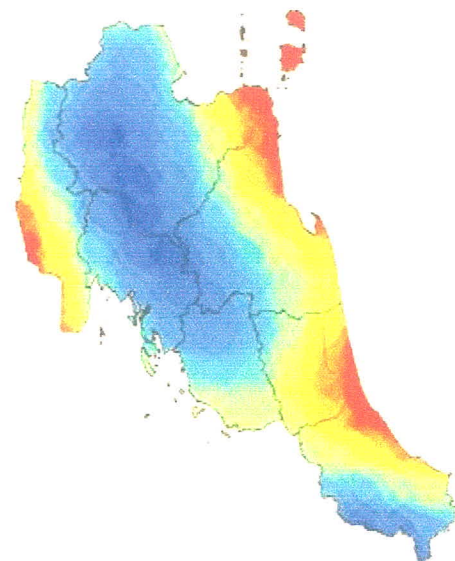
15.00



0 0.20 0.40 0.60 0.80 mm/hr

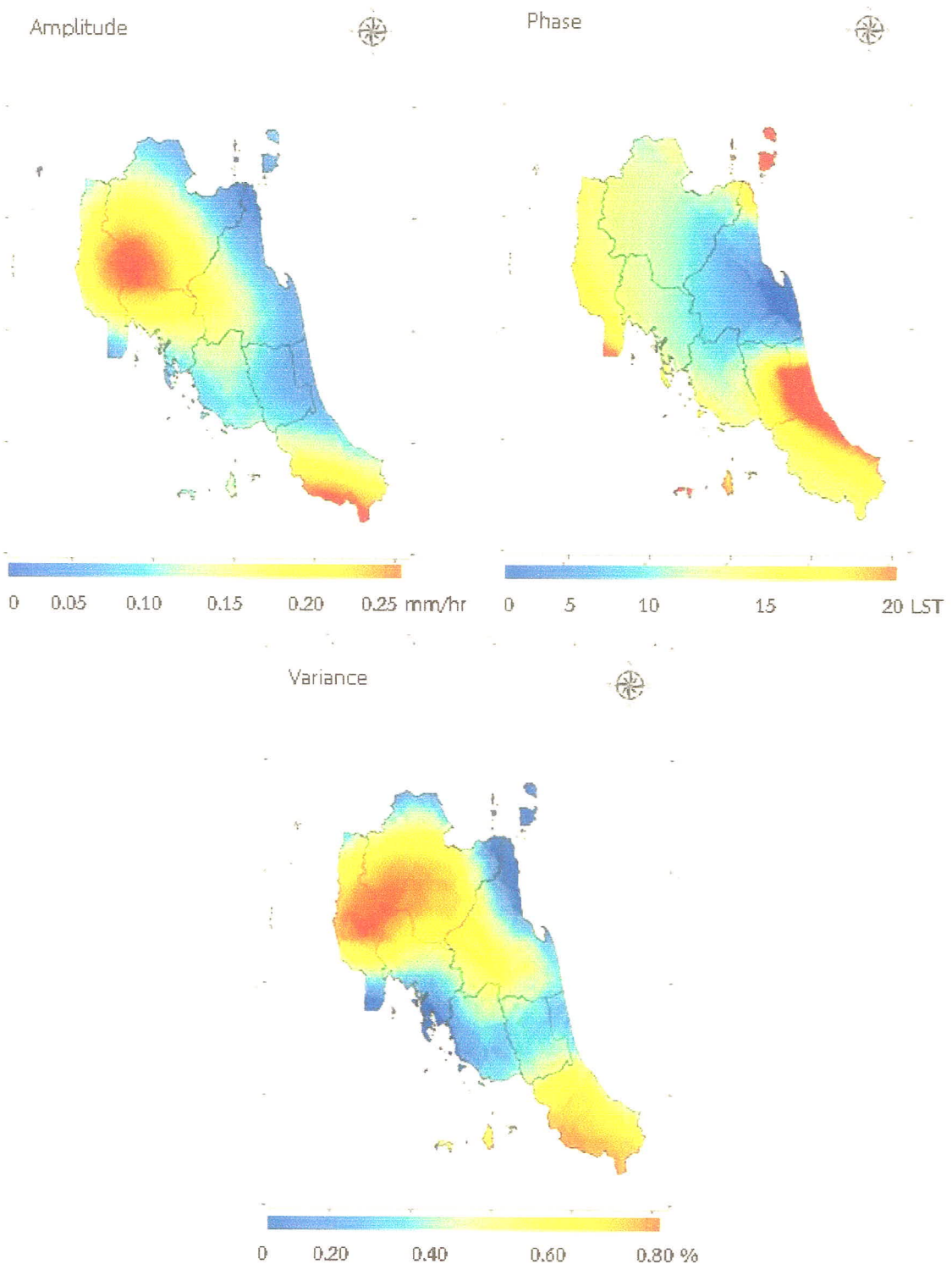
18.00

21.00

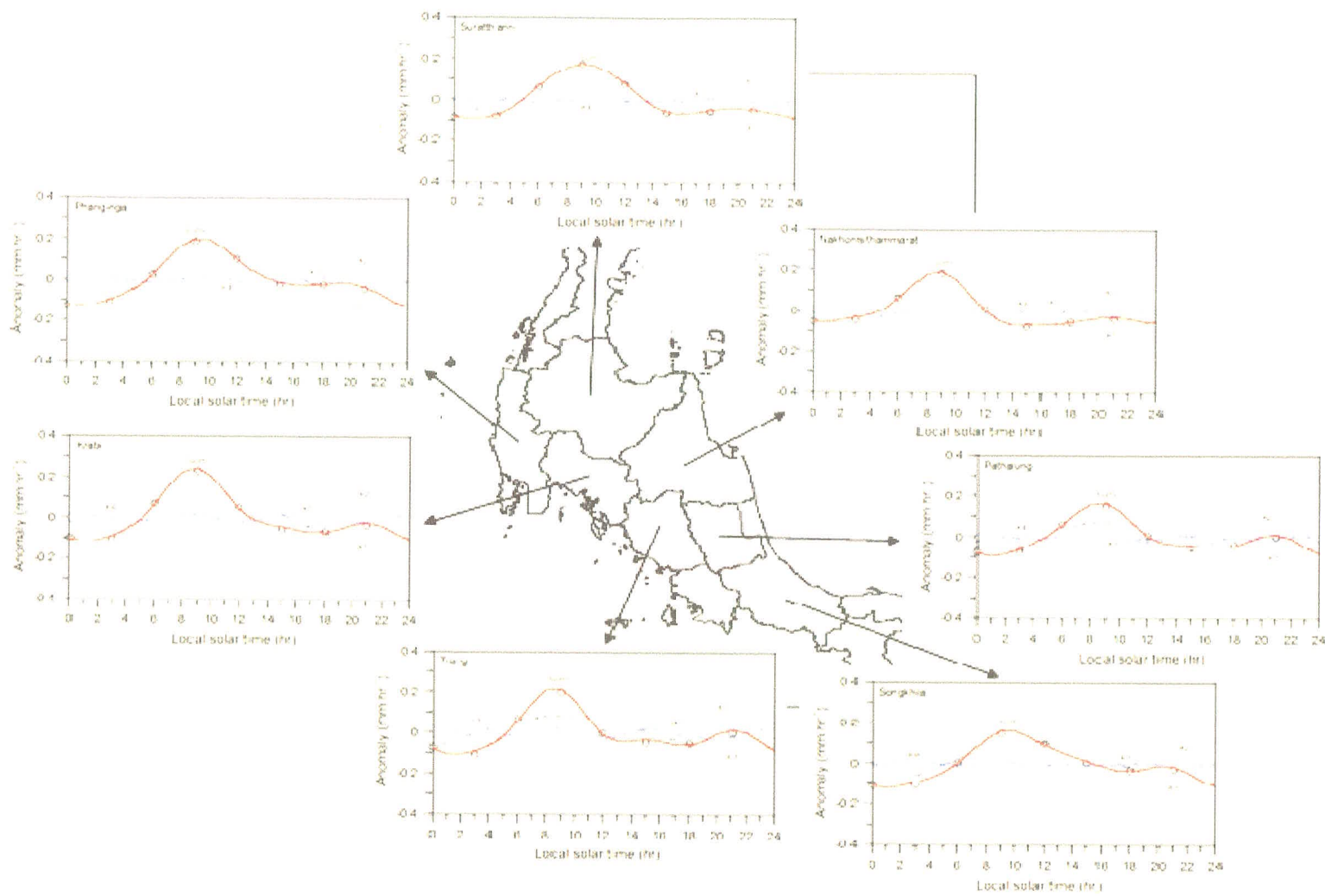


0 0.20 0.40 0.60 0.80 mm/hr

รูปที่ 4.1 ค่าเฉลี่ยระยะยาว (1998-2010) ตามราย 3 ชั่วโมง (12.00, 15.00, 18.00 และ 21.00 LST) ของ
หยาดน้ำฟ้า (ต่อ)



รูปที่ 4.1 แสดงความแปรปรวน (%) และมูลค่าเฉลี่ยระยะยาว (1998-2010) ของพังก์ชันไฮโนนิก ลำดับที่ 1 สำหรับข้อมูลค่าเฉลี่ยระยะยาว (1998-2010) ของหยาดน้ำฟ้าราย 3 ชั่วโมง (ต่อ)

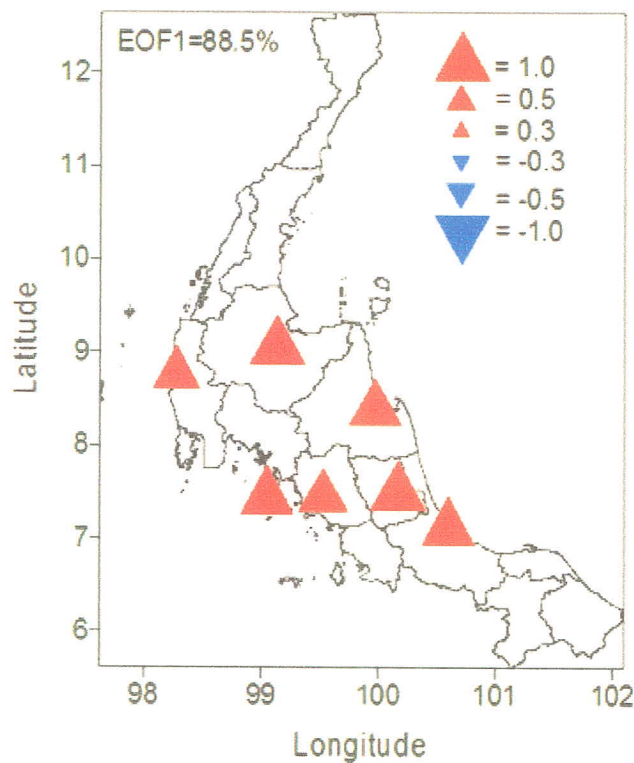


รูปที่ 4.2 ความแปรปรวนราย 3 ชั่วโมงของหยาดน้ำฟ้าเฉลี่ยในแต่ละจังหวัด (วงกลมสีดำ) และวงจรรอบวันของหยาดน้ำฟ้าที่ประมาณด้วยพังก์ชันไฮโนนิก ลำดับที่ 1 (เส้นสีดำ) ลำดับที่ 2 (เส้นประสีดำ) ลำดับที่ 3 (เส้นสีน้ำเงิน) ลำดับที่ 4 (เส้นประสีน้ำเงิน) และผลรวมของลำดับที่ 1 ถึง 4 (สีแดง)

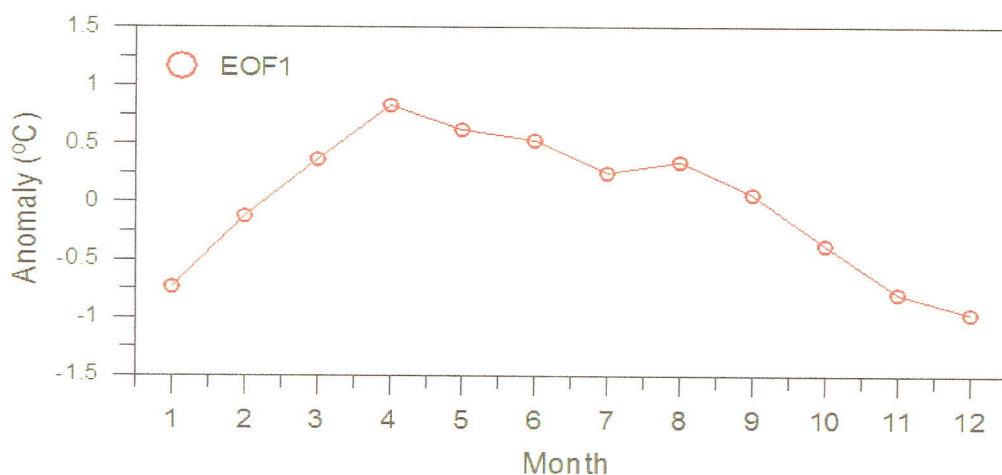
4.1.2 ความแปรปรวนตามฤดูกาลของตัวแปรทางภูมิอากาศในพื้นที่ 7 จังหวัดของภาคใต้และความสัมพันธ์กับลมมรสุมเอเชีย

ผลการวิเคราะห์ความแปรปรวนตามฤดูกาลของตัวแปรภูมิอากาศซึ่งประกอบด้วย อุณหภูมิเฉลี่ย ฝน ความชื้นสัมพันธ์และความเร็วลม ที่ตรวจวัดจากสถานีผิวน้ำในช่วงระหว่างปี ค.ศ. 2005-2010 ในพื้นที่ 7 จังหวัดภาคใต้ ด้วยเทคนิค EOF พบว่า อุณหภูมิเฉลี่ย มีรูปแบบความแปรปรวนตามฤดูกาลที่คล้ายคลึงกันทั้ง ฝั่งอันดามันและฝั่งอ่าวไทยดังปรากฏจากโครงสร้างเชิงพื้นที่ในรูป Component loading หรือ สัมประสิทธิ์ สมสัมพันธ์ระหว่าง EOF โหมดที่ 1 และข้อมูลแต่ละสถานี ซึ่งมีค่าใกล้เคียงกันทั้ง 7 สถานี (รูปที่ 4.3) โดย ความแปรปรวนตามฤดูกาลที่โดดเด่นของอุณหภูมิเฉลี่ยที่ปรากฏใน EOF โหมดที่ 1 (88.5%) มีลักษณะที่แสดง ถึงค่าสูงสุดของอุณหภูมิเฉลี่ยเกิดขึ้นในเดือนเมษายน และมีแนวโน้มลดลงอย่างต่อเนื่องหลังจากนั้นถึงค่า ต่ำสุดในเดือนธันวาคม (รูปที่ 4.4) ซึ่งสอดคล้องกับการผันแปรตามฤดูกาลของรังสีดวงอาทิตย์ ส่วนความ แปรปรวนตามฤดูกาลของฝน มีรูปแบบเชิงพื้นที่ที่แตกต่างกันอย่างชัดเจนระหว่างฝั่งอันดามันและฝั่งอ่าวไทย ทั้งนี้ ความแปรปรวนมากกว่า 95% สามารถอธิบายได้ด้วย EOF โหมดที่ 1 และ 2 โดย EOF โหมดที่ 1 แสดง ความแปรปรวนของฝนในบริเวณฝั่งอ่าวไทย (รูปที่ 4.5) ซึ่งมีค่าสูงสุดปรากฏในเดือนพฤษภาคมและธันวาคม (รูปที่ 4.6) เนื่องจากได้รับอิทธิพลจากมรสุมตะวันออกเฉียงเหนือและคลื่นมวลอากาศเย็น (Cold surge) จาก ไซบีเรียและประเทศไทยที่มีกำลังแรงขึ้นในช่วงเวลาดังกล่าว (Yavinchan et al., 2011) ส่วน EOF โหมดที่ 2 เป็นรูปแบบความแปรปรวนของฝนในฝั่งอันดามัน (รูปที่ 4.6) ซึ่งมีลักษณะที่บ่งชี้ถึงอิทธิพลจากมรสุมตะวันตก เฉียงใต้ ส่งผลให้มีฝนตกชุกในช่วงเดือนมิถุนายนถึงกันยายน (รูปที่ 4.6) (Limsakul et al., 2010) สำหรับ ความแปรปรวนตามฤดูกาลของความชื้นสัมพัทธ์และความเร็วลม มีรูปแบบที่แตกต่างกันในเชิงพื้นที่ระหว่างฝั่ง อันดามันและฝั่งอ่าวไทย ซึ่งสอดคล้องกับการเปลี่ยนแปลงของระบบลมมรสุม (ระหว่างตะวันออกเฉียงเหนือ และตะวันตกเฉียงใต้) เช่นเดียวกันกับความแปรปรวนตามฤดูกาลของฝน (รูปที่ 4.7-4.10) ทั้งนี้ ความ แปรปรวนมากกว่า 85% สามารถอธิบายได้ด้วย EOF โหมดที่ 1 และ 2 (รูปที่ 4.7 และ 4.9) โดยภาพรวม พบว่าความชื้นสัมพัทธ์และความเร็วลมทั้งฝั่งอันดามันและฝั่งอ่าวไทย มีค่าที่สูงหรือต่ำกว่าปกติในช่วงเดือนที่ มรสุมตะวันออกเฉียงเหนือและตะวันตกเฉียงใต้มีกำลังแรง (รูปที่ 4.8 และ 4.10)

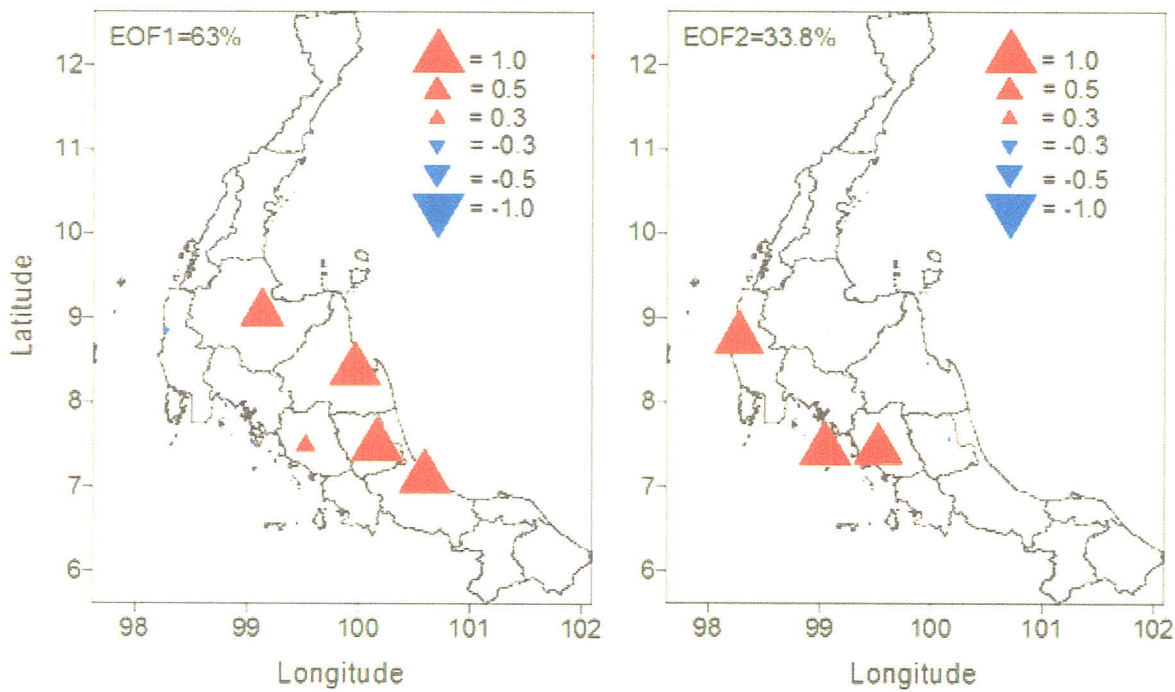
ตารางที่ 4.1 แสดงค่าสัมประสิทธิ์ของ Kendall Tau correlation และค่า p-value ระหว่าง Time-varying amplitude ของ EOF ของแต่ละตัวแปรภูมิอากาศและดัชนีมรสุมฤดูร้อนอินเดีย (Indian Summer Monsoon Index; ISMI) จากผลการวิเคราะห์ พบว่า EOF โหมดที่ 2 ของฝนและความชื้นสัมพัทธ์ และ EOF โหมดที่ 1 ของความเร็วลม มีความสัมพันธ์อย่างมีนัยสำคัญทางสถิติที่ระดับความเชื่อมั่นที่ 95% กับ ดัชนีมรสุมฤดูร้อนเอเชีย ส่วน EOF โหมดที่ 1 ของฝนและความชื้นสัมพัทธ์ และ EOF โหมดที่ 2 ของความเร็ว ลม ไม่พบความสัมพันธ์อย่างมีนัยสำคัญทางสถิติกับดัชนีมรสุมฤดูร้อนเอเชีย เนื่องจากเป็นโหมดที่เชื่อมโยงกับ มรสุมตะวันออกเฉียงเหนือหรือมรสุมฤดูหนาวของซีกโลกเหนือ



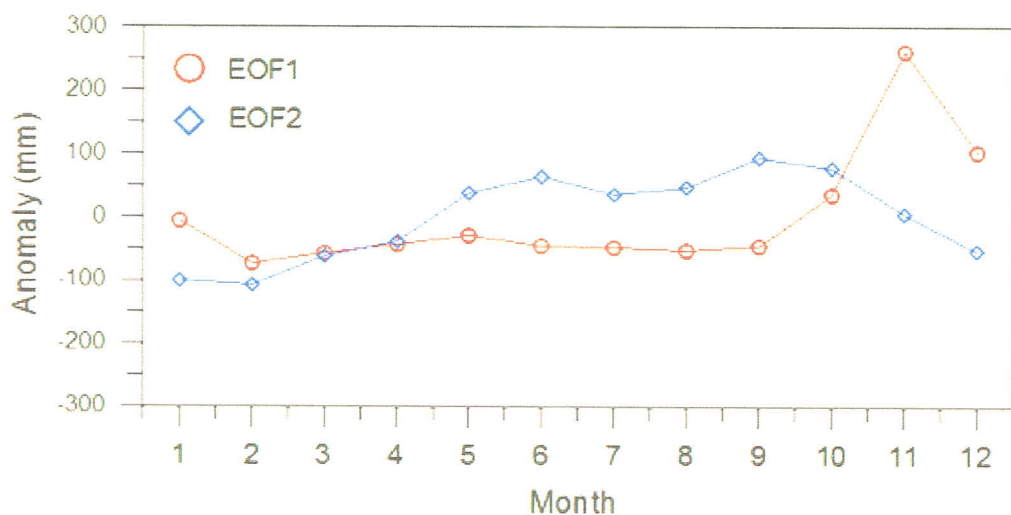
รูปที่ 4.3 โครงสร้างเชิงพื้นที่ (Component loading) ของ EOF โหมดที่ 1 ที่ได้จากการวิเคราะห์เมตริกซ์ข้อมูล Anomaly รายเดือนเฉลี่ยในรอบปี (2005-2010) ของอุณหภูมิเฉลี่ยจากสถานีตรวจวัดผิวน้ำในพื้นที่ 7 จังหวัดภาคใต้



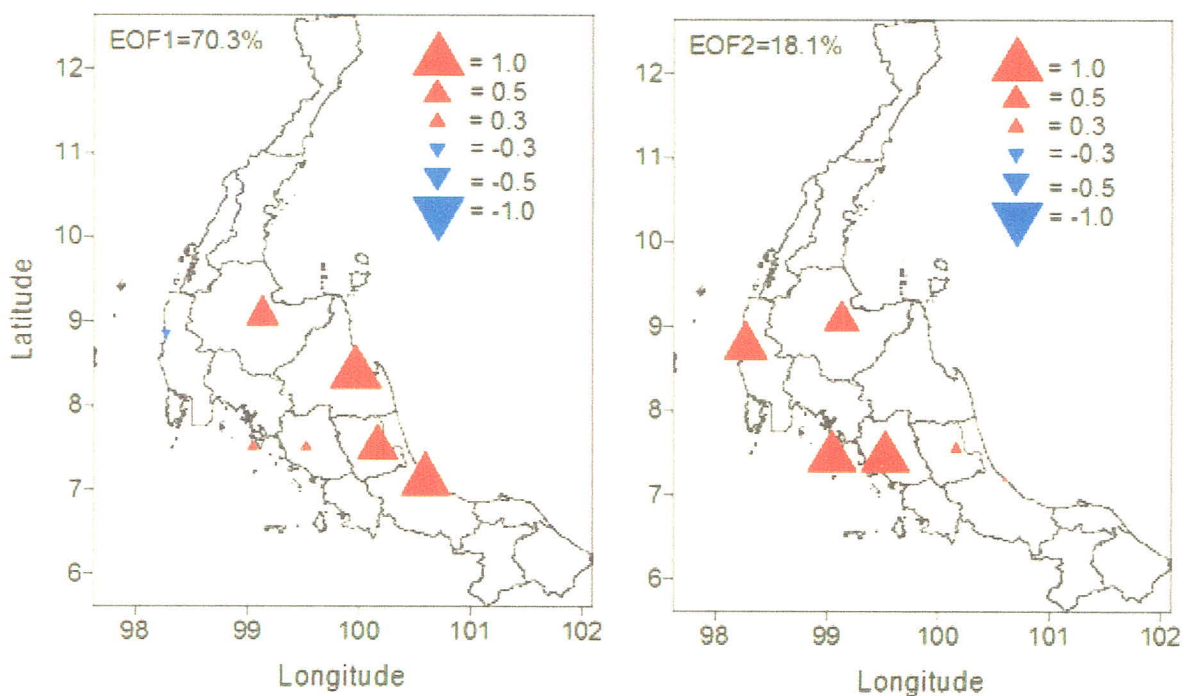
รูปที่ 4.4 รูปแบบเชิงเวลา (Time-varying amplitude) ของ EOF โหมดที่ 1 ที่ได้จากการวิเคราะห์เมตริกซ์ข้อมูล Anomaly รายเดือนเฉลี่ยในรอบปี (2005-2010) ของอุณหภูมิเฉลี่ยจากสถานีตรวจวัดผิวน้ำในพื้นที่ 7 จังหวัดภาคใต้



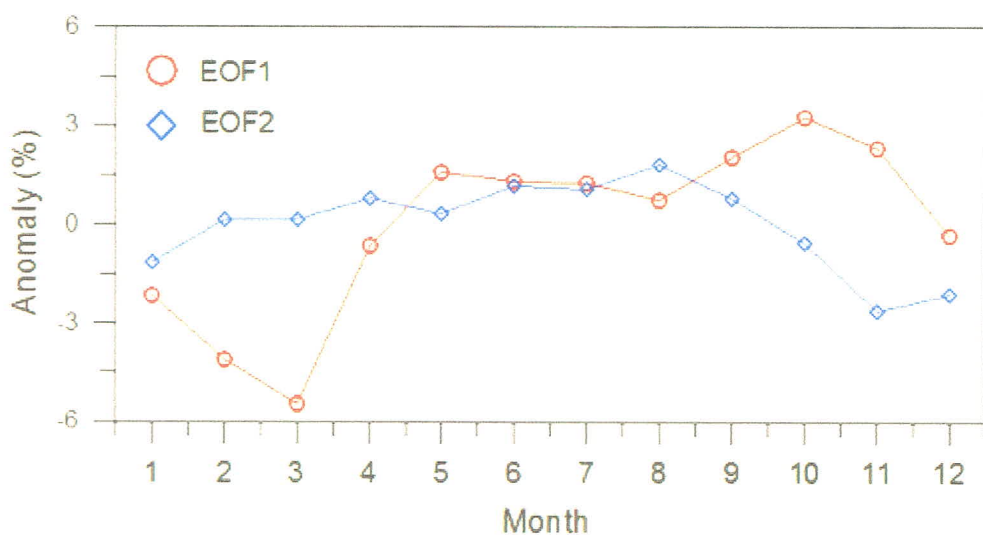
รูปที่ 4.5 โครงสร้างเชิงพื้นที่ (Component loading) ของ EOF โหนดที่ 1 และ 2 ที่ได้จากการวิเคราะห์เมตริกซ์ข้อมูล Anomaly รายเดือนเฉลี่ยในรอบปี (2005-2010) ของปริมาณฝนจากสถานีตรวจวัดผิวน้ำในพื้นที่ 7 จังหวัดภาคใต้



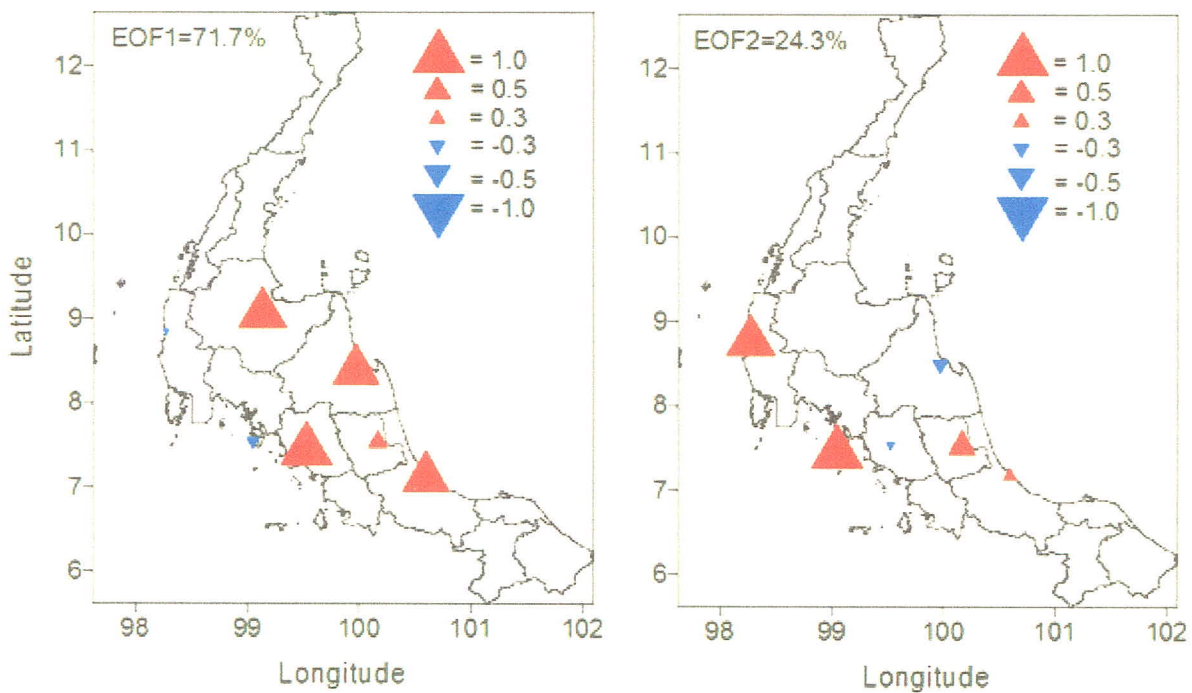
รูปที่ 4.6 รูปแบบเชิงเวลา (Time-varying amplitude) ของ EOF โหนดที่ 1 และ 2 ที่ได้จากการวิเคราะห์เมตริกซ์ข้อมูล Anomaly รายเดือนเฉลี่ยในรอบปี (2005-2010) ของปริมาณฝนจากสถานีตรวจวัดผิวน้ำในพื้นที่ 7 จังหวัดภาคใต้



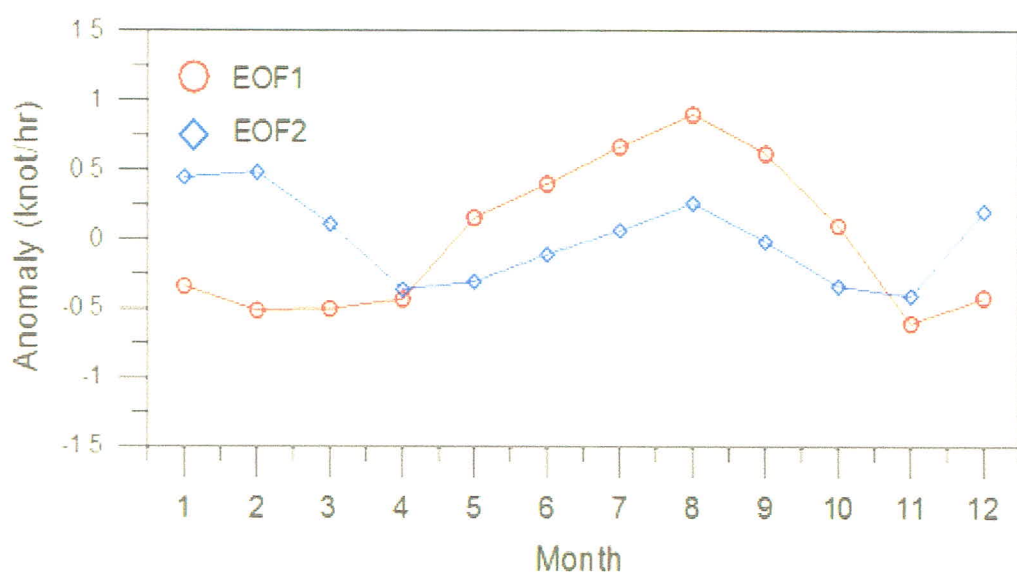
รูปที่ 4.7 โครงสร้างเชิงพื้นที่ (Component loading) ของ EOF โหมดที่ 1 และ 2 ที่ได้จากการวิเคราะห์เมตริกซ์ข้อมูล Anomaly รายเดือนเฉลี่ยในรอบปี (2005-2010) ของความชื้นสัมพัทธ์จากสถานีตรวจวัดผิวพื้นในพื้นที่ 7 จังหวัดภาคใต้



รูปที่ 4.8 รูปแบบเชิงเวลา (Time-varying amplitude) ของ EOF โหมดที่ 1 และ 2 ที่ได้จากการวิเคราะห์เมตริกซ์ข้อมูล Anomaly รายเดือนเฉลี่ยในรอบปี (2005-2010) ของความชื้นสัมพัทธ์จากสถานีตรวจวัดผิวพื้นในพื้นที่ 7 จังหวัดภาคใต้



รูปที่ 4.9 โครงสร้างเชิงพื้นที่ (Component loading) ของ EOF โหมดที่ 1 และ 2 ที่ได้จากการวิเคราะห์เมตريคชี้ข้อมูล Anomaly รายเดือนเฉลี่ยในรอบปี (2005-2010) ของความเร็วลมจากสถานีตรวจวัดผิวน้ำในพื้นที่ 7 จังหวัดภาคใต้



รูปที่ 4.10 รูปแบบเชิงเวลา (Time-varying amplitude) ของ EOF โหมดที่ 1 และ 2 ที่ได้จากการวิเคราะห์เมตريคชี้ข้อมูล anomaly รายเดือนเฉลี่ยในรอบปี (2005-2010) ของความเร็วลมจากสถานีตรวจวัดผิวน้ำในพื้นที่ 7 จังหวัดภาคใต้

ตารางที่ 4.1 แสดงค่าสัมประสิทธิ์ของ Kendall Tau correlation และค่า p-value ระหว่าง Time-varying amplitude ของ EOF ของตัวแปรทางภูมิอากาศและตัวชี้มรสุมฤดูร้อนอินเดีย (Indian Summer Monsoon Index; ISMI) โดย ISMI คือ ผลต่างของลมแนวราบ (Zonal wind) ที่ระดับ 850-h Pa ในพื้นที่ระหว่าง 5° - 15° N, 40° - 80° E และพื้นที่ 20° - 30° N, 70° - 90° E (Wang et al., 2001) จำนวนตัวอย่างของแต่ละอนุกรมที่ใช้ในการวิเคราะห์ความสัมพันธ์ (n) = 12

ตัวแปร	Kendall Tau correlation (τ)	p-value
1. EOF โหมดที่ 1 ของฝน & ISMI	-0.27	0.22
2. EOF โหมดที่ 2 ของฝน & ISMI	0.48*	0.03
3. EOF โหมดที่ 1 ของอุณหภูมิเฉลี่ย & ISMI	0.27	0.22
4. EOF โหมดที่ 1 ของความชื้นสัมพัทธ์ & ISMI	0.24	0.27
5. EOF โหมดที่ 2 ของความชื้นสัมพัทธ์ & ISMI	0.58*	0.01
6. EOF โหมดที่ 1 ของความเร็วลม & ISMI	0.55*	0.02
7. EOF โหมดที่ 2 ของความเร็วลม & ISMI	0.03	0.89

* Kendall Tau correlation coefficient (τ) มีนัยสำคัญทางสถิติที่ระดับความเชื่อมั่น 95% (p-value=0.05)

4.1.3 การเปลี่ยนแปลงระหว่างปีและระยะยาวของตัวแปรภูมิอากาศในพื้นที่ 7 จังหวัดของภาคใต้ และความสัมพันธ์กับปรากฏการณ์เอ็นโซ่ (El Niño-Southern Oscillation; ENSO) และระบบลมรสุม เอเชีย

ข้อมูลอุณหภูมิเฉลี่ย ฝน ความชื้นสัมพันธ์ ความเร็วลมและอัตราการระเหยของน้ำรายวัน จากสถานีผู้พื้นที่ตั้งอยู่ใน 7 จังหวัดของภาคใต้ ได้ถูกนำมาวิเคราะห์แนวโน้มการเปลี่ยนแปลงระหว่างปีและระยะยาว รวมทั้งความสัมพันธ์กับการเปลี่ยนแปลงของปรากฏการณ์เอ็นโซ่และระบบลมรสุมเอเชีย ทั้งนี้ แนวโน้มการเปลี่ยนแปลงในระยะยาวหรือเชิงเส้นตรง (Linear trend) ของค่าเฉลี่ยและสะสมรายปีซึ่งคำนวณจากข้อมูลรายวันของแต่ละสถานี ได้ถูกวิเคราะห์ด้วยวิธี Kendall's tau based slope estimator (Sen, 1968; Aguilar et al., 2005; Zhang et al., 2005) เนื่องจากเป็นเทคนิค Non-parametric statistical method ที่สามารถจัดการกับ Autocorrelation ที่มักปรากฏในอนุกรมข้อมูลได้ดี รวมทั้งมีความทนทานและไม่ได้รับผลกระทบจากค่าผิดปกติ (Outliers) และการกระจายตัวของข้อมูลที่ไม่สมมาตร (Non-normal distribution) (Alexander et al., 2006) ในการศึกษานี้ ได้กำหนดระดับความเชื่อมั่นที่ 95% และระดับนัยสำคัญที่ 0.05 (5%) เพื่อแสดงถึงตัวแปรในแต่ละสถานี มีแนวโน้มการเปลี่ยนแปลงในเชิงเส้นต่อหน่วยเวลา อย่างมีนัยสำคัญทางสถิติ

สำหรับการเปลี่ยนแปลงระหว่างปีของอุณหภูมิเฉลี่ย ฝน ความเร็วลมและความชื้นสัมพันธ์ในภาพรวมของ 7 จังหวัดภาคใต้ที่นั้น ได้วิเคราะห์ด้วยเทคนิค EOF บนพื้นฐานของข้อมูลเฉลี่ยและสะสมรายเดือน เพื่อสกัดความแปรปรวนที่โดยเด่นของทั้งสามตัวแปร ก่อนที่จะนำอนุกรม Time-varying amplitude รายเดือนของความแปรปรวนที่โดยเด่นในโหมดที่ 1 ไปหาความสัมพันธ์กับดัชนีปรากฏการณ์เอ็นโซ่ ดัชนีมรสุมฤดูหนาวและดัชนีมรสุมฤดูร้อน ซึ่งการศึกษานี้ ใช้ดัชนีปรากฏการณ์เอ็นโซ่และดัชนีมรสุมเอเชีย 7 ดัชนี

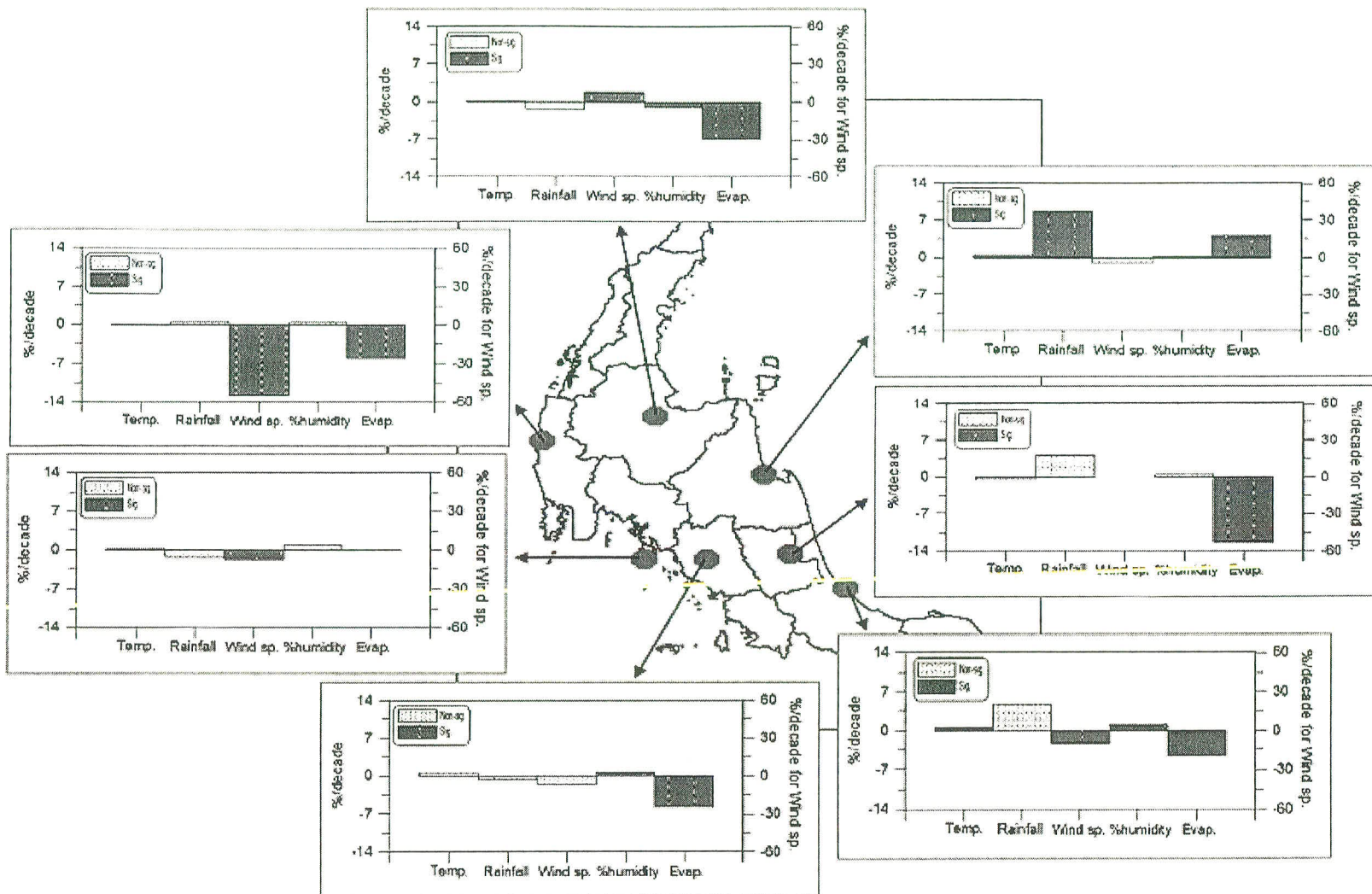
ผลการวิเคราะห์ พบว่า อุณหภูมิเฉลี่ย ฝน ความเร็วลม ความชื้นสัมพันธ์และอัตราการระเหยของน้ำ ใน 7 จังหวัดภาคใต้ มีรูปแบบแนวโน้มการเปลี่ยนแปลงในระยะยาวที่หลากหลายและแตกต่างกันในแต่ละสถานี (รูปที่ 4.11) โดยลักษณะการเปลี่ยนแปลงระยะยาวของตัวแปรภูมิอากาศที่เหมือนกันทั้ง 7 สถานี ไม่ปรากฏเด่นชัด อุณหภูมิเฉลี่ยเฉพาะที่สถานีนิครศิริธรรมราชและสงขลาเท่านั้น เพิ่มขึ้นอย่างมีนัยสำคัญทางสถิติในระดับความเชื่อมั่นที่ระดับ 95% ในอัตรา 0.36-0.57% ต่อศวรรษ เมื่อเปรียบเทียบกับค่าเฉลี่ยในช่วง 1984-2007 สำหรับปริมาณฝนสะสมรายปี มีลักษณะการเปลี่ยนแปลงที่แตกต่างกันระหว่างผังอันดามันและผังอ่าวไทย โดยปริมาณฝนสะสมรายปีมีแนวโน้มลดลงในผังอันดามัน ในขณะที่ มีแนวโน้มเพิ่มขึ้นในผังอ่าวไทย อย่างไรก็ตาม ปริมาณฝนสะสมรายปีเฉพาะสถานีนิครศิริธรรมราชเท่านั้น ที่มีแนวโน้มเพิ่มขึ้นอย่างมีนัยสำคัญทางสถิติในระดับความเชื่อมั่นที่ระดับ 95% ในอัตรา 8.7% ต่อศวรรษ เมื่อเทียบกับค่าเฉลี่ยในช่วง 1984-2007 ความเร็วลม มีแนวโน้มลดลงอย่างมีนัยสำคัญทางสถิติในระดับความเชื่อมั่นที่ระดับ 95% หลายสถานีทั้งผังอันดามันและผังอ่าวไทย โดยความเร็วลมที่สถานีพังงา มีแนวโน้มลดลงถึง 55% ต่อศวรรษ เมื่อเทียบกับค่าเฉลี่ยในช่วง 1984-2007 เป็นที่น่าสังเกตว่า ความเร็วลมที่สถานีสุราษฎร์ธานี กลับมีแนวโน้มเพิ่มขึ้นอย่างมีนัยสำคัญทางสถิติในระดับความเชื่อมั่นที่ระดับ 95% ในอัตรา 7.9% ต่อศวรรษ เมื่อเทียบกับค่าเฉลี่ยในช่วง 1984-2007 ส่วนความชื้นสัมพันธ์ที่สถานีตั้งรังและสงขลา มีแนวโน้มเพิ่มขึ้นอย่างมีนัยสำคัญทางสถิติในระดับความเชื่อมั่นที่ระดับ 95% ในอัตรา 0.60-0.90% ต่อศวรรษ เมื่อเทียบกับค่าเฉลี่ยในช่วง 1984-2007 ในทางตรงกันข้าม ความชื้นสัมพันธ์ที่สถานีสุราษฎร์ธานี กลับลดลงอย่างมีนัยสำคัญทางสถิติในระดับความเชื่อมั่นที่ระดับ 95% ในอัตรา -1.1% ต่อศวรรษ เมื่อเทียบกับค่าเฉลี่ยในช่วง 1984-2007 เช่นเดียวกันกับความเร็วลม แนวโน้มลดลงอย่างมีนัยสำคัญทางสถิติในระดับความเชื่อมั่นที่ระดับ 95% ของอัตราการระเหยของน้ำ สังเกต

ได้ในหลายสถานีทั้งฝั่งอันดามันและฝั่งอ่าวไทย (ตรัง พังงา พัทลุง สงขลา และสุราษฎร์ธานี) ในอัตรา - 12.33% ถึง -4.59% ต่อศวรรษเมื่อเทียบกับค่าเฉลี่ยในช่วง 1984-2007 ในขณะที่ แนวโน้มเพิ่มขึ้นอย่างมีนัยสำคัญทางสถิติในระดับความเชื่อมั่นที่ระดับ 95% ของอัตราการระเหยของน้ำ ปรากฏในสถานีนครศรีธรรมราช (รูปที่ 4.11) จากลักษณะการเปลี่ยนแปลงในระยะยาวของตัวแปรภูมิอากาศทั้ง 5 ตัวแปรที่แตกต่างกันในแต่ละสถานีดังกล่าว อาจแสดงถึงความซับซ้อนของปัจจัยและกลไกที่เป็นสาเหตุของการเปลี่ยนแปลง โดยการเปลี่ยนแปลงสภาพภูมิอากาศที่เกิดจากกิจกรรมของมนุษย์ และความแปรปรวนของระบบภูมิอากาศในบริเวณอินโด-แปซิฟิก รวมทั้งปัจจัยท้องถิ่น เช่น ลักษณะสภาพภูมิประเทศ การเปลี่ยนแปลงการใช้ประโยชน์ที่ดิน น่าจะเป็นปัจจัยร่วมในระดับที่แตกต่างกันต่อการเปลี่ยนแปลงที่แตกต่างกัน เมื่อพิจารณารายละเอียดในสเกลรายสถานี

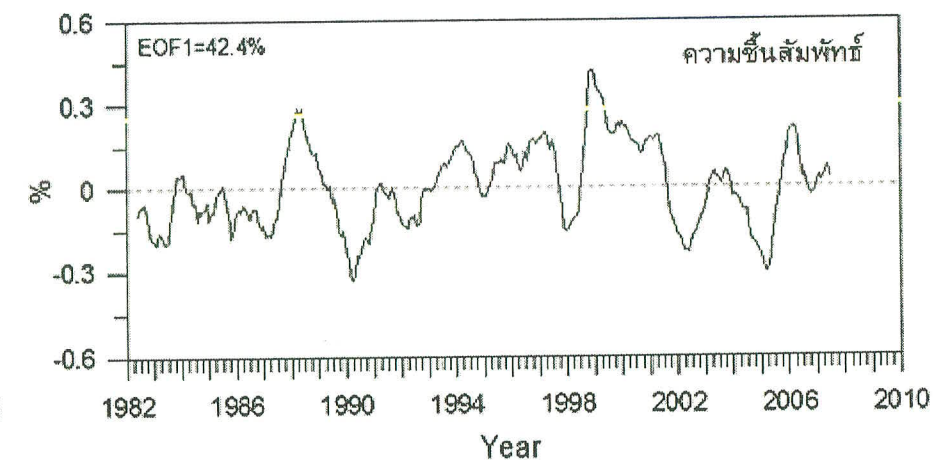
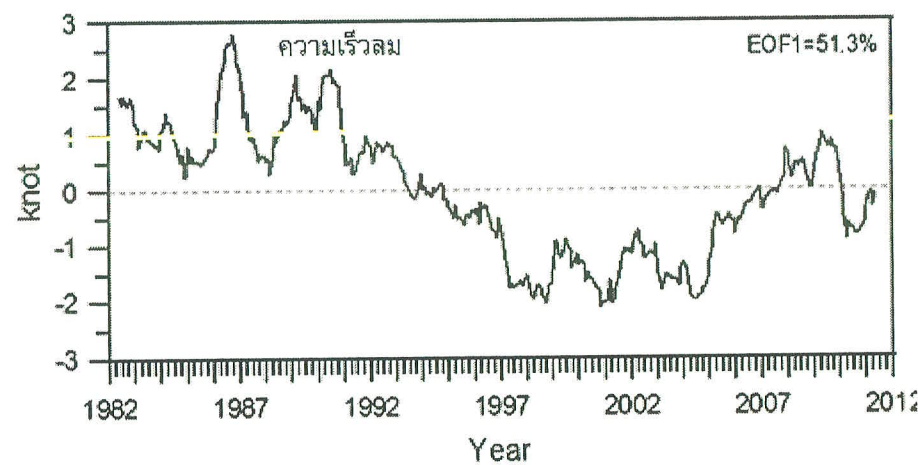
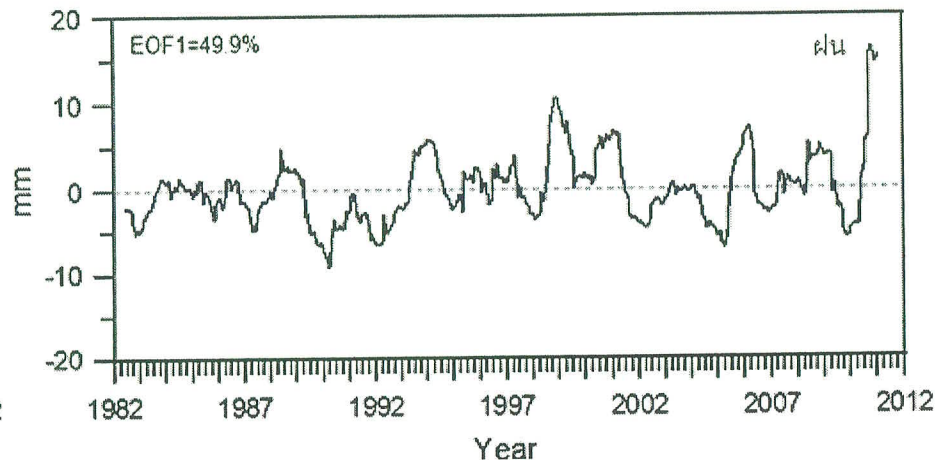
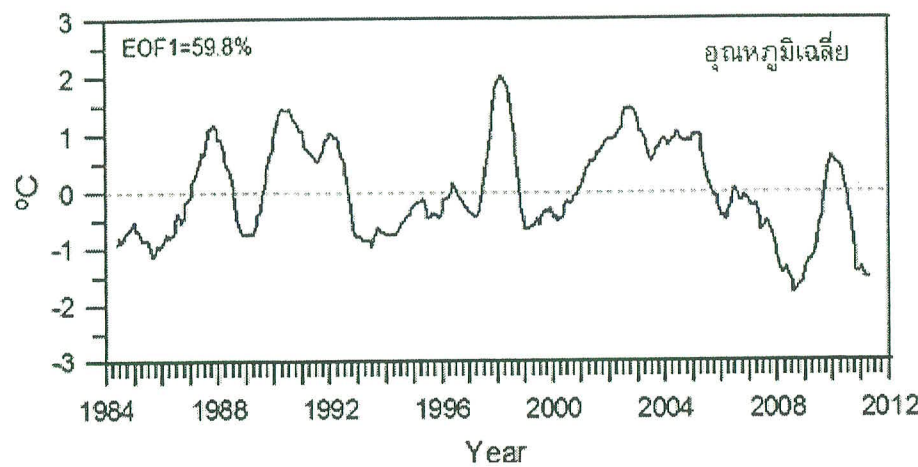
นอกจากการเปลี่ยนแปลงในระยะยาวแล้ว ความแปรปรวนระยะสั้น (ระหว่างฤดูกาลถึงระหว่างปี) ของอุณหภูมิเฉลี่ย ฝน ความเร็วลมและความชื้นสัมพัทธ์ ในภาพรวมของ 7 จังหวัดภาคใต้ที่ปรากฏใน Time varying amplitude ของ EOF โหมดที่ 1 ซึ่งอธิบายความแปรปรวนที่โดดเด่นได้ ตั้งแต่ 42.4% ถึง 59.8% (รูปที่ 4.12) มีความสัมพันธ์กับปรากฏการณ์อีนโโซ่และระบบลมมรสุมเอเชีย ผลการวิเคราะห์ความสัมพันธ์ ระหว่างอนุกรมค่าเฉลี่ยแบบเคลื่อนที่ 11 เดือนของ Time varying amplitude ของ EOF โหมดที่ 1 ของ อุณหภูมิเฉลี่ย ฝน ความเร็วลมและความชื้นสัมพัทธ์ (รูปที่ 4.12) และอนุกรมค่าเฉลี่ยแบบเคลื่อนที่ 11 เดือน ของดัชนีอีนโโซ่ (ดัชนี MEI, ดัชนี SOI และดัชนี NIÑO3.4) บ่งชี้อย่างชัดเจนถึงความแปรปรวนระยะสั้นของตัว แปรภูมิอากาศส่วนใหญ่ในภาพรวมของ 7 จังหวัดภาคใต้ มีความสัมพันธ์อย่างมีนัยสำคัญทางสถิติในระดับ ความเชื่อมั่นมากกว่า 95% กับปรากฏการณ์อีนโโซ่ (ตารางที่ 4.2) โดยสรุป พบว่าอุณหภูมิ มีแนวโน้มสูงกว่า ปกติ แต่ปริมาณฝนและความชื้นสัมพัทธ์ต่ำกว่าปกติ ในช่วงที่เกิดเหตุการณ์ El Niño ในขณะที่ อุณหภูมิ มี แนวโน้มต่ำกว่าปกติ แต่ปริมาณฝนและความชื้นสัมพัทธ์สูงกว่าปกติ ในช่วงที่เกิดเหตุการณ์ La Niña เมื่อ พิจารณาถึงความแปรปรวนในควบเวลาฤดูกาลเฉพาะในช่วงฤดูฝน (เดือนมิถุนายนถึงกันยายน) และช่วงฤดู หนาวของซีกโลกเหนือ (เดือนธันวาคมถึงเดือนกุมภาพันธ์) ซึ่งตรงกับช่วงมรสุมฤดูร้อนและมรสุมฤดูหนาวที่มี กำลังแรง พบว่า ค่าเฉลี่ยรายฤดูกาลของ Time varying amplitude ของ EOF โหมดที่ 1 ของบางตัวแปร มี ความสัมพันธ์อย่างมีนัยสำคัญกับดัชนีมรสุมเอเชีย (ตารางที่ 4.3 และ 4.4) กล่าวคือ ฝน ความเร็วลมและ ความชื้นสัมพัทธ์ มีความสัมพันธ์อย่างมีนัยสำคัญทางสถิติในระดับความเชื่อมั่นที่ระดับ 95% กับดัชนี ISMI และ WNPMI (ตารางที่ 4.3) โดยพบว่าปริมาณฝนและความชื้นสัมพัทธ์ในบริเวณ 7 จังหวัดภาคใต้ มีแนวโน้ม เพิ่มขึ้น แต่ความเร็วลมกลับลดลง ในช่วงฤดูฝนที่มรสุมฤดูร้อนในมหาสมุทรแปซิฟิกเหนือฝั่งตะวันตก อ่อน กำลังลง ในทางกลับกัน ปริมาณฝนและความชื้นสัมพัทธ์ในบริเวณ 7 จังหวัดภาคใต้ มีแนวโน้มลดลง แต่ ความเร็วลมกลับเพิ่มขึ้น ในช่วงฤดูฝนที่มรสุมฤดูร้อนในมหาสมุทรแปซิฟิกเหนือฝั่งตะวันตก มีกำลังแรงขึ้น นอกจากนี้ ความชื้นสัมพัทธ์ มีแนวโน้มเพิ่มขึ้นในช่วงฤดูฝนที่มรสุมฤดูร้อนอันเดีย มีกำลังแรงขึ้น ส่วนความ แปรปรวนในช่วงฤดูหนาวของซีกโลกเหนือ พบร่องรอยเพียงแต่ปริมาณฝน มีความสัมพันธ์กับความแปรปรวนของแกน East Asian Trough โดยปริมาณฝน มีแนวโน้มเพิ่มขึ้นกว่าปกติในช่วงฤดูหนาวที่แกน East Asian Trough มี ความโน้มเอียงเพียงเล็กน้อย ซึ่งทำให้คลื่นมวลอากาศเย็นและแห้งที่มีกำลังแรงจากไซบีเรียพัดลงสู่มหาสมุทร แปซิฟิกและทะเลจีนใต้มากขึ้น แต่เส้นทางของลมที่พัดไปทางทิศใต้มีกำลังอ่อนลง (Wang et al., 2009) การ เปลี่ยนทิศทางและความแรงของคลื่นมวลอากาศเย็นดังกล่าว เนื่องจากการโน้มเอียงของ East Asian Trough น่าจะเป็นกลไกที่สำคัญในการพัฒนาความชื้นจากทะเลจีนใต้และอ่าวไทย เข้าสู่พื้นที่ภาคใต้ ทำให้เกิดฝนตกชุก ในช่วงที่ดัชนี EATAI มีค่าสูง

เมื่อพิจารณาบริบทของสมดุลน้ำ ในรูปความแตกต่างรายปีระหว่างอัตราการระเหยและปริมาณน้ำฝน (Evaporation-Precipitation; E-P) แล้ว พบร่วมกับ E-P ทั้งผึ่งอ่าวไทยและผึ่งอันดามัน มีแนวโน้มลดลงซึ่งแสดงถึงแนวโน้มการสะสมของปริมาณฝนมากกว่าอัตราการระเหยของน้ำในช่วงปี ค.ศ. 1982-2011 (รูปที่ 4.13) ทั้งนี้ สถานีในผึ่งอ่าวไทยเท่านั้น ที่แสดงถึงการสะสมของปริมาณฝนที่เพิ่มขึ้นอย่างมีนัยสำคัญเมื่อเปรียบเทียบกับอัตราการระเหยของน้ำ (รูปที่ 4.13) สำหรับความแปรปรวนระหว่างฤดูกาลถึงระหว่างปี ผลการศึกษาพบว่า ความแตกต่างรายปีระหว่างอัตราการระเหยและปริมาณน้ำฝน ทั้งผึ่งอ่าวไทยและผึ่งอันดามัน มีความสัมพันธ์อย่างมีนัยสำคัญกับดัชนีเอ็นโซ่ (ตารางที่ 4.5) โดยสรุป พบร่วม ความแตกต่างรายปีระหว่างอัตราการระเหยและปริมาณน้ำฝน มีค่าต่ำกว่าปกติหรือมีปริมาณฝนในสัดส่วนที่มากกว่าอัตราการระเหยในช่วงที่เกิดเหตุการณ์ La Niña และกลับมีค่าต่างกันข้าม ในช่วงที่เกิดเหตุการณ์ El Niño

จากการวิเคราะห์ข้างต้น อาจกล่าวได้ว่า ปรากฏการณ์เอ็นโซ่ นับเป็น荷ดความผันแปรพื้นฐานของระบบภูมิอากาศโลก ที่ส่งผลกระทบต่อความแปรปรวนระหว่างปีของตัวแปรภูมิอากาศในบริเวณ 7 จังหวัดภาคใต้ โดยระบบลมรสุมเอเชีย เป็นอีกโหนดหนึ่งของความผันแปรตามฤดูกาลที่ช่วย Modulation ให้ความแปรปรวนระยะสั้นของลักษณะทางภูมิอากาศในพื้นที่ดังกล่าว มีความสลับซับซ้อนเพิ่มขึ้น โดยทั้งปรากฏการณ์เอ็นโซ่และระบบลมรสุมเอเชีย น่าจะเป็น荷ดความแปรปรวนของระบบภูมิอากาศในคาบเวลา ตั้งแต่ฤดูกาลถึงหลายปีที่ส่งผลต่อสิริวิทยาการเจริญเติบโตและผลผลิตของยางพาราในพื้นที่ 7 จังหวัดภาคใต้



รูปที่ 4.11 สรุปแนวโน้มการเปลี่ยนแปลงระยะยาวย (%) การเปลี่ยนแปลงเมื่อเทียบกับค่าเฉลี่ย 1984-2007/decade) ของ 5 ตัวแปรภูมิอากาศในแต่ละสถานี



รูปที่ 4.12 ค่าเฉลี่ยแบบเคลื่อนที่ในcabเวลา 11 เดือนของ time-varying amplitude ของ EOF โหนดที่ 1 ที่คำนวณจากอนุกรมข้อมูลรายเดือนของ 7 สถานีภาคใต้

ตารางที่ 4.2 แสดงค่าสัมประสิทธิ์ของ Kendall Tau correlation (τ) ระหว่างอนุกรมค่าเฉลี่ยแบบเคลื่อนที่ใน captions 11 เดือนของ Time-varying amplitude ของ EOF โหมดที่ 1 ของตัวแปรภูมิอากาศ และตัวชี้วัดต่อไปนี้

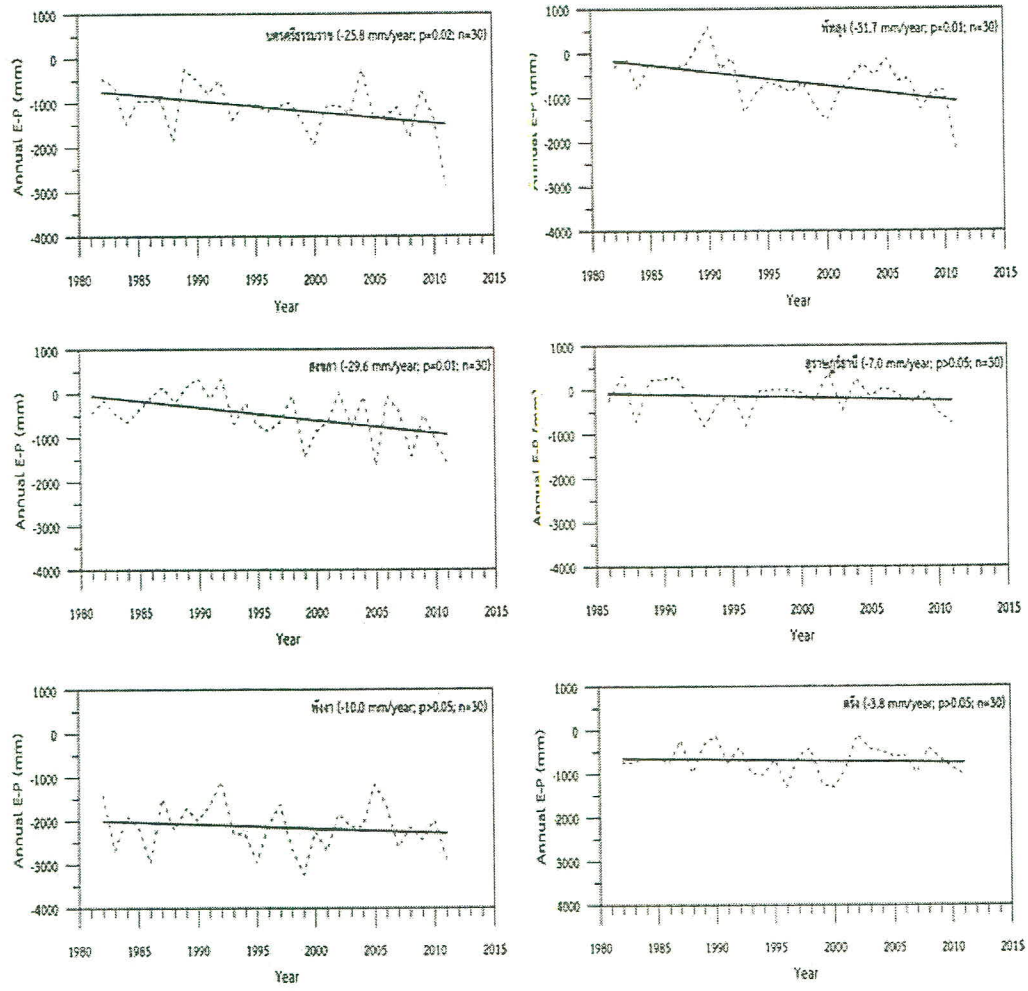
ตัวแปรทางภูมิอากาศ	ตัวชี้วัด MEI	ตัวชี้วัด SOI	ตัวชี้วัด NiÑO3.4
อุณหภูมิเฉลี่ย ($n=348$)	0.36, $p<0.01$	-0.32, $p<0.01$	0.39, $p<0.01$
ฝน ($n=348$)	-0.38, $p<0.01$	0.43, $p<0.01$	-0.41, $p<0.01$
ความเร็วลม ($n=348$)	0.11, $p=0.05$	-0.11, $p=0.05$	0.05, $p>0.05$
ความชื้นสัมพัทธ์ ($n=302$)	-0.33, $p<0.01$	0.37, $p<0.01$	-0.34, $p<0.01$

ตารางที่ 4.3 แสดงค่าสัมประสิทธิ์ของ Kendall Tau correlation (τ) ของค่าเฉลี่ยในช่วงเดือนมิถุนายนถึงเดือนกันยายนระหว่าง Time-varying amplitude ของ EOF โหมดที่ 1 ของตัวแปรภูมิอากาศและตัวชี้วัดต่อไปนี้

ตัวแปรทางภูมิอากาศ	ตัวชี้วัด ISMI	ตัวชี้วัด WNPMI
อุณหภูมิเฉลี่ย ($n=26$)	0.13, $p>0.05$	0.08, $p>0.05$
ฝน ($n=28$)	0.21, $p>0.05$	-0.33, $p=0.02$
ความเร็วลม ($n=28$)	-0.16, $p>0.05$	0.29, $p=0.04$
ความชื้นสัมพัทธ์ ($n=26$)	0.29, $p=0.04$	0.45, $p<0.01$

ตารางที่ 4.4 แสดงค่าสัมประสิทธิ์ของ Kendall Tau correlation (τ) ของค่าเฉลี่ยในช่วงเดือนธันวาคมถึงเดือนกุมภาพันธ์ระหว่าง Time-varying amplitude ของ EOF โหมดที่ 1 ของตัวแปรภูมิอากาศและตัวชี้วัดต่อไปนี้

ตัวแปรทางภูมิอากาศ	ตัวชี้วัด EATI	ตัวชี้วัด EATAI
อุณหภูมิเฉลี่ย ($n=26$)	0.22, $p>0.05$	-0.11, $p>0.05$
ฝน ($n=28$)	0.02, $p>0.05$	0.32, $p=0.02$
ความเร็วลม ($n=28$)	-0.06, $p>0.05$	-0.02, $p>0.05$
ความชื้นสัมพัทธ์ ($n=26$)	-0.03, $p>0.05$	0.22, $p>0.05$



รูปที่ 4.13 แนวโน้มการเปลี่ยนแปลงของความแตกต่างรายปีระหว่างอัตราการระเหยและปริมาณน้ำฝน (Evaporation-Precipitation; E-P)

ตารางที่ 4.5 แสดงค่าสัมประสิทธิ์ของ Kendall Tau correlation (τ) ของอนุกรมรายปีระหว่าง E-P และดัชนีเอ็นโซ่

สถานี	ดัชนี MEI	ดัชนี SOI	ดัชนี NIÑO3.4
นครศรีธรรมราช	0.54, p<0.01	-0.63, p<0.01	0.53, p<0.01
พัทลุง	0.38, p=0.04	-0.46, p=0.01	0.33, p=0.08
สงขลา	0.51, p<0.01	-0.56, p<0.01	0.46, p=0.01
สุราษฎร์ธานี	0.33, p=0.1	-0.38, p=0.06	0.40, p=0.04
พังงา	0.40, p=0.04	-0.41, p=0.03	0.48, p=0.01
ตรัง	0.42, p=0.02	-0.38, p=0.04	-0.48, p=0.01

4.1.4 การเปลี่ยนแปลงระหว่างปีของ Variance ของตัวแปรภูมิอากาศในพื้นที่ 7 จังหวัดของภาคใต้ และความสัมพันธ์กับปรากฏการณ์อินโนโซ่ (El Niño-Southern Oscillation; ENSO)

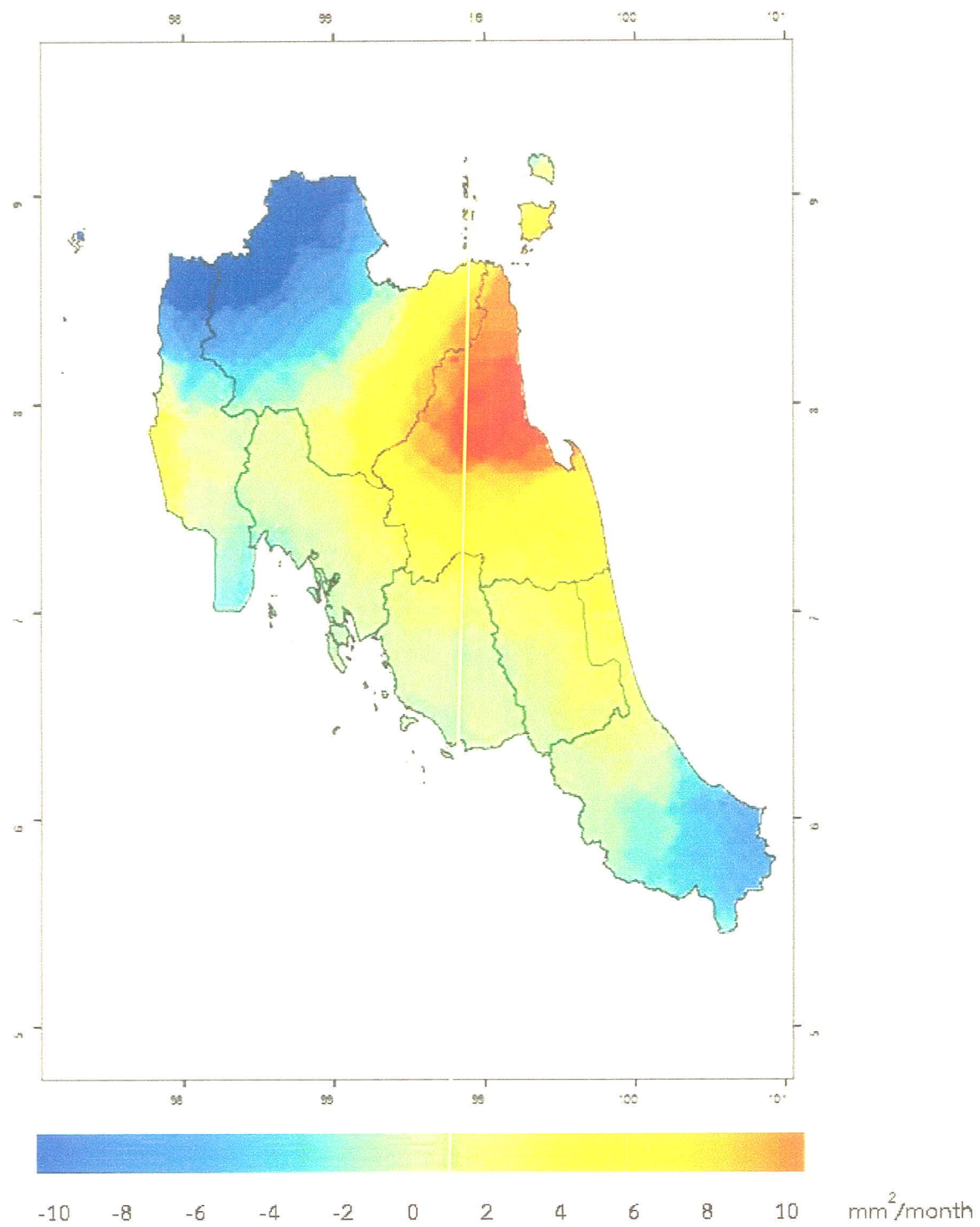
วัดถุประสงค์ของการวิเคราะห์นี้ เพื่อสร้างความเข้าใจเพิ่มเติมต่อลักษณะการเปลี่ยนแปลงเชิงพื้นที่ และแนวโน้มการเปลี่ยนแปลงเชิงเวลาของตัวแปรภูมิอากาศ (ฝน/หยาดน้ำฟ้า ความชื้นสัมพัทธ์ ความเร็วลม และอุณหภูมิเฉลี่ย) ที่ตรวจดูในภาคเวลาหนึ่งวันจากสถานีผู้พื้นและจากดาวเทียม TRMM ที่ครอบคลุมในพื้นที่ 7 จังหวัดของภาคใต้ ในรูปของ Variance ซึ่งเป็นความแปรปรวนในระดับ Second order โดยข้อมูลภูมิอากาศผู้พื้นรายวัน ระหว่างปี ค.ศ. 1981-2010 และข้อมูลปริมาณหยาดน้ำฟ้าแบบกริดขนาด $0.25^\circ \times 0.25^\circ$ จากดาวเทียม TRMM ระหว่างปี ค.ศ. 1998-2010 ที่ครอบคลุมในพื้นที่ 7 จังหวัดของภาคใต้ ได้ถูกนำมาคำนวณหาค่า Variance เฉลี่ยรายเดือน และวิเคราะห์การเปลี่ยนแปลงเชิงพื้นที่และเวลาด้วยเทคนิคพิงก์ชันตั้งจากเชิงประจักษ์ หรือ Empirical Orthogonal Function (EOF) และแนวโน้มการเปลี่ยนแปลงเชิงเส้นตรง (Linear trend) ด้วยวิธี Non-parametric Kendall's tau based slope estimator

ผลการวิเคราะห์ พบว่า การเปลี่ยนแปลงเชิงเส้นตรงของ Variance ของปริมาณหยาดน้ำฟ้ารายวัน ในระหว่างปี ค.ศ. 1998-2010 ซึ่งคำนวณจากอนุกรมเฉลี่ยรายเดือนของข้อมูลดาวเทียม TRMM ในแต่ละกริด มีแนวโน้มเพิ่มขึ้นในบริเวณจังหวัดนครศรีธรรมราช (รูปที่ 4.14) โดยมีอัตราการเพิ่มขึ้นเฉลี่ยอยู่ในช่วง $5-10 \text{ mm}^{-2}$ ต่อเดือน ซึ่งความแปรปรวนของปริมาณหยาดน้ำฟ้าในระดับ Second order moment นี้ สอดคล้อง กับแนวโน้มการเพิ่มขึ้นในระยะยาวอย่างมีนัยสำคัญของปริมาณฝนสะสมรายปี ในอัตรา 8.7% ต่อศวรรษ เมื่อ เทียบกับค่าเฉลี่ยในช่วง 1984-2007 (รูปที่ 4.11) ในขณะที่ การเปลี่ยนแปลงเชิงเส้นตรงของ Variance เฉลี่ย รายเดือนของปริมาณหยาดน้ำฟ้ารายวันในบริเวณบางส่วนของจังหวัดพังงาและสุราษฎรธานี กลับมีแนวโน้มที่ ลดลงอย่างชัดเจนในรอบ 13 ปีที่ผ่านมา (รูปที่ 4.14) เมื่อเปรียบเทียบกับการเปลี่ยนแปลงในระยะยาวของ ปริมาณฝนสะสมรายปีแล้ว Variance เฉลี่ยรายเดือนของปริมาณหยาดน้ำฟ้ารายวัน มีแนวโน้มการ เปลี่ยนแปลงที่สอดคล้องเช่นกัน ผลการวิเคราะห์นี้ บ่งชี้ถึง การเปลี่ยนแปลงเชิงพื้นที่ของ Variance ของปริมาณหยาดน้ำฟ้า มีลักษณะแบบ Bi-mode ซึ่งมีการผันแปรเชิงพื้นที่ที่ trigon กันข้ามระหว่างฝั่งอ่าวไทยและฝั่งอันดามัน ซึ่งมีลักษณะที่สอดคล้องกับการเปลี่ยนแปลงของปริมาณหยาดน้ำฟ้าสะสมรายปีเฉลี่ย ซึ่งเป็นความแปรปรวน ของ 'Mean state' หรือ First order moment

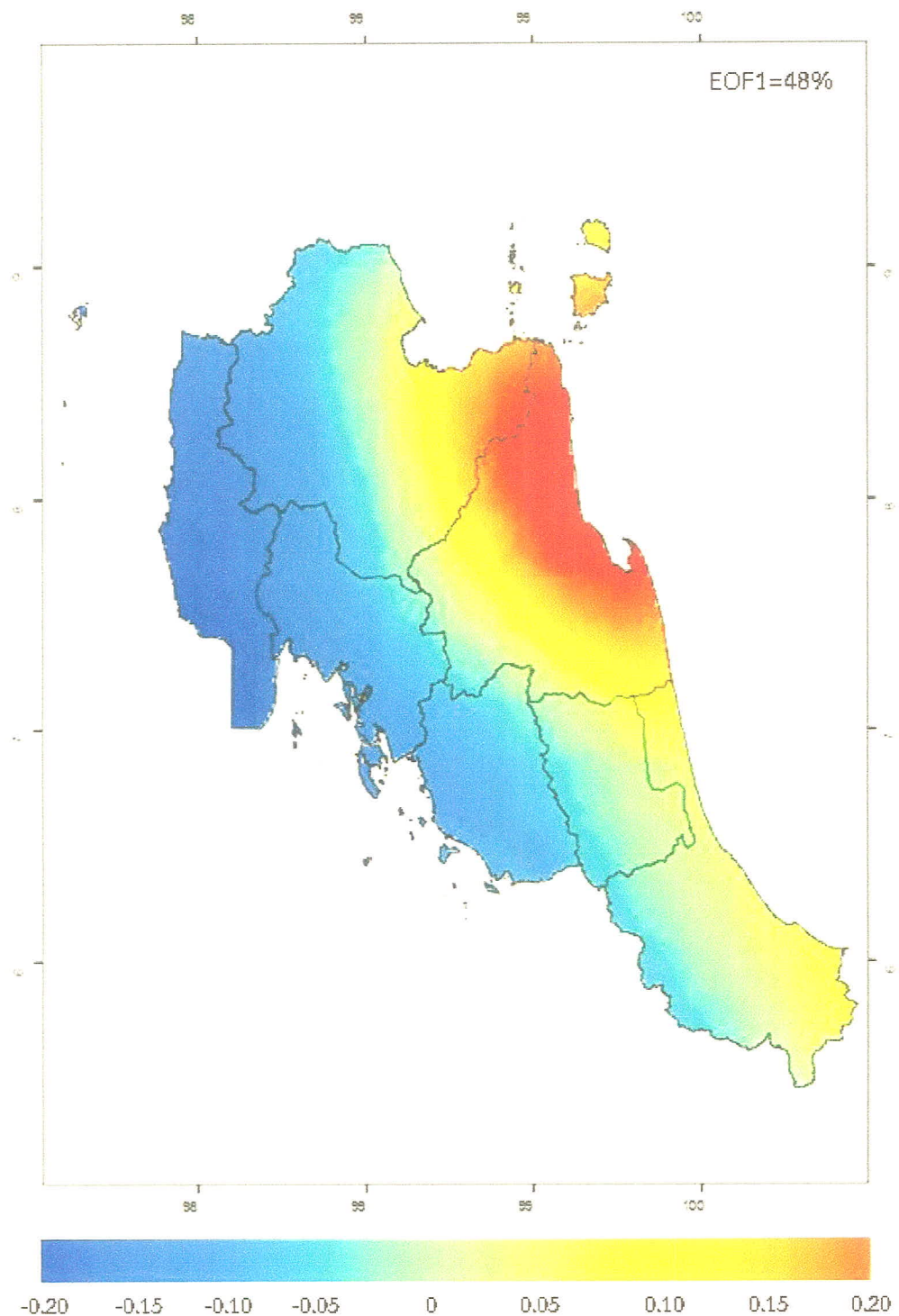
ผลการวิเคราะห์การเปลี่ยนแปลงเชิงพื้นที่และเวลาของ Variance เฉลี่ยรายเดือนของปริมาณหยาดน้ำฟ้ารายวันในระหว่างปี ค.ศ. 1998-2010 พบว่า EOF ใหม่ที่ 1 และ 2 สามารถอธิบายความแปรปรวนได้มากกว่า 60% ของความแปรปรวนทั้งหมดซึ่งครอบคลุม 234 กริดในพื้นที่ 7 จังหวัดของภาคใต้ โดย โครงสร้างเชิงพื้นที่ของ EOF ใหม่ที่ 1 แสดง Hotspot ในส่วนของการเพิ่มขึ้นของ Variance ของปริมาณหยาดน้ำฟ้ารายวันในบริเวณจังหวัดนครศรีธรรมราช (รูปที่ 4.15) ซึ่งสอดคล้องกับลักษณะที่ปรากฏในรูปที่ 4.14 ทั้งนี้ Variance ของปริมาณหยาดน้ำฟ้ารายวันในบริเวณฝั่งอันดามัน มีความสัมพันธ์เชิงลบกับ EOF ใหม่ที่ 1 บ่งชี้ถึงแนวโน้มการลดลงของ Variance ของหยาดน้ำฟ้าในบริเวณนั้น ส่วนโครงสร้างเชิงพื้นที่ของ EOF ใหม่ที่ 2 แสดงถึงการเพิ่มขึ้นของ Variance ของปริมาณหยาดน้ำฟ้ารายวันในบริเวณจังหวัดสงขลาและพัทลุง แต่กลับ ลดลงในบริเวณบางส่วนของจังหวัดนครศรีธรรมราช (รูปที่ 4.16) รูปที่ 4.17 แสดงรูปแบบเชิงเวลาหรือ Time coefficient series ของ EOF ใหม่ที่ 1 และ 2 ซึ่ง Variance เฉลี่ยรายเดือนของปริมาณหยาดน้ำฟ้ารายวัน จากการเทียบ TRMM ที่ปรากฏอยู่ในทั้งสองใหม่ มีลักษณะความแปรปรวนที่โดยเด่นในภาคเวลาระหว่างปี โดยบางเดือน/ปี มีค่าที่สูงและต่ำผิดปกติ ทั้งนี้ ไม่ปรากฏแนวโน้มการเปลี่ยนแปลงในระยะยาว

อนุกรม Variance เฉลี่ยรายปีของปริมาณฝน อุณหภูมิเฉลี่ย ความชื้นสัมพัทธ์และความเร็วลม รายวันคำนวณจากข้อมูลสถานีผู้พื้นใน 6 จังหวัดภาคใต้ ในระหว่างปี ค.ศ. 1981-2010 แสดงในรูปที่ 4.18-4.21 ซึ่งแนวโน้มการเปลี่ยนแปลงในระยะยาวของแต่ละตัวแปรใน 6 จังหวัดภาคใต้ในรอบ 30 ปีที่ผ่านมา มีลักษณะที่หลากหลายและแตกต่างกันในแต่ละสถานี โดยมีพัฒนาการเปลี่ยนแปลงที่สอดคล้องกันทั้งพื้นที่ศึกษาที่มีแนวโน้มการเปลี่ยนแปลงไปในทิศทางเดียวกันทุกสถานี (รูปที่ 4.18-4.21) โดยสรุป พบว่า Variance เฉลี่ยรายปีของปริมาณฝน มีแนวโน้มลดลงแต่ไม่มีนัยสำคัญทางสถิติที่ระดับความเชื่อมั่น 95% ทุกสถานียกเว้นสถานีที่จังหวัดนครศรีธรรมราช (รูปที่ 4.18) ส่วน Variance เฉลี่ยรายปีของอุณหภูมิเฉลี่ยและความเร็วลม มีลักษณะแนวโน้มการเปลี่ยนแปลงในระยะยาว เมื่อเทียบ Variance เฉลี่ยรายปีของปริมาณฝน ซึ่งส่วนใหญ่แสดงแนวโน้มที่ลดลง โดย Variance เฉลี่ยรายปีของอุณหภูมิเฉลี่ยและความเร็วลม ที่สถานีจังหวัดกระบี่และจังหวัดพังงา (ตะวันออก) ลดลงอย่างมีนัยสำคัญทางสถิติที่ระดับความเชื่อมั่น 95% (รูปที่ 4.19 และ 4.21) สำหรับ Variance เฉลี่ยรายปีของความชื้นสัมพัทธ์ มีแนวโน้มการเปลี่ยนแปลงที่ลดลงอย่างมีนัยสำคัญทางสถิติที่ระดับความเชื่อมั่น 95% ที่สถานีจังหวัดนครศรีธรรมราช จังหวัดสงขลา จังหวัดพังงา (ตะวันออก) และจังหวัดตรัง ตามลำดับ (รูปที่ 4.20)

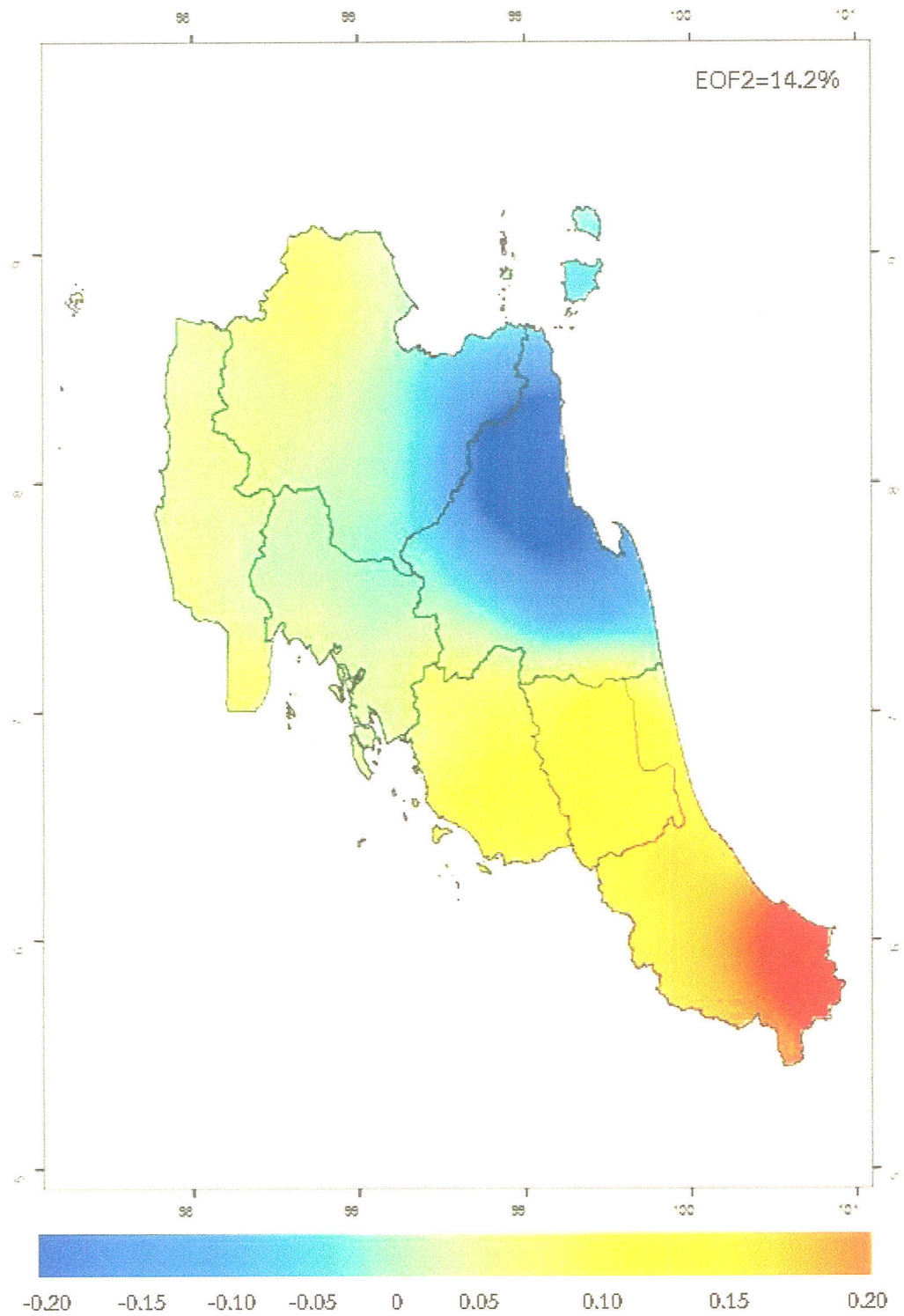
ตารางที่ 4.6 สรุปผลการวิเคราะห์ความสัมพันธ์ในรูปของค่าสัมประสิทธิ์ของ Kendall Tau correlation (τ) ระหว่างอนุกรมค่าเฉลี่ยแบบเคลื่อนที่ในคาบเวลา 11 เดือนของตัวชี้ SOI และ Variance เฉลี่ยรายเดือนของตัวแปรภูมิอากาศรายวันในระหว่างปี 1981-2010 จากผลการวิเคราะห์ดังกล่าว พบว่า ความแปรปรวนระหว่างปีของ Variance เฉลี่ยรายเดือนของทั้ง 3 ตัวแปรในแต่ละสถานีทั้งฝั่งอันดามันและฝั่งอ่าวไทย มีความสัมพันธ์กับตัวชี้ SOI อย่างมีนัยสำคัญทางสถิติ เช่นเดียวกันกับค่าเฉลี่ยของตัวแปรภูมิอากาศ (ตารางที่ 4.2) กล่าวคือ Variance ของปริมาณฝน เพิ่มขึ้นแต่ Variance ของอุณหภูมิเฉลี่ยและความชื้นสัมพัทธ์ กับลดลง ในช่วงที่เกิดเหตุการณ์ La Niña ในขณะที่ Variance ของปริมาณฝน ลดลงแต่ Variance ของอุณหภูมิเฉลี่ยและความชื้นสัมพัทธ์ กับเพิ่มขึ้น ในช่วงที่เกิดเหตุการณ์ El Niño เป็นที่น่าสังเกตว่า Variance เฉลี่ยรายเดือนของอุณหภูมิเฉลี่ยและความชื้นสัมพัทธ์ มีค่าสัมประสิทธิ์ของ Kendall Tau correlation (τ) สูงสุดที่สถานีจังหวัดตรัง ในขณะที่ ค่าสัมประสิทธิ์ของ Kendall Tau correlation (τ) สูงสุดของ Variance เฉลี่ยรายเดือนของปริมาณฝน ปรากฏที่สถานีที่จังหวัดนครศรีธรรมราช (ตารางที่ 4.6) ทั้งนี้ ผลการวิเคราะห์ที่สอดคล้องกันทั้งสองส่วนนี้ ปังชี้ถึง ปรากฏการณ์เอ็นโซ่ ส่งผลกระทบต่อความแปรปรวนของตัวแปรภูมิอากาศในบริเวณ 7 จังหวัดภาคใต้ ทั้งในระดับ First และ Second order moment กล่าวคือ ค่าเฉลี่ยและ Variance ของอุณหภูมิ เพิ่มขึ้น (ลดลง) ในช่วงที่เกิดเหตุการณ์ El Niño (La Niña) ในขณะที่ ค่าเฉลี่ยและ Variance ของปริมาณฝนจะลดลง (เพิ่มขึ้น) ในช่วงที่เกิดเหตุการณ์ El Niño (La Niña) ส่วนค่าเฉลี่ยและ Variance ของความชื้นสัมพัทธ์ ลดลง (เพิ่มขึ้น) และเพิ่มขึ้น (ลดลง) ในช่วงที่เกิดเหตุการณ์ El Niño (La Niña)



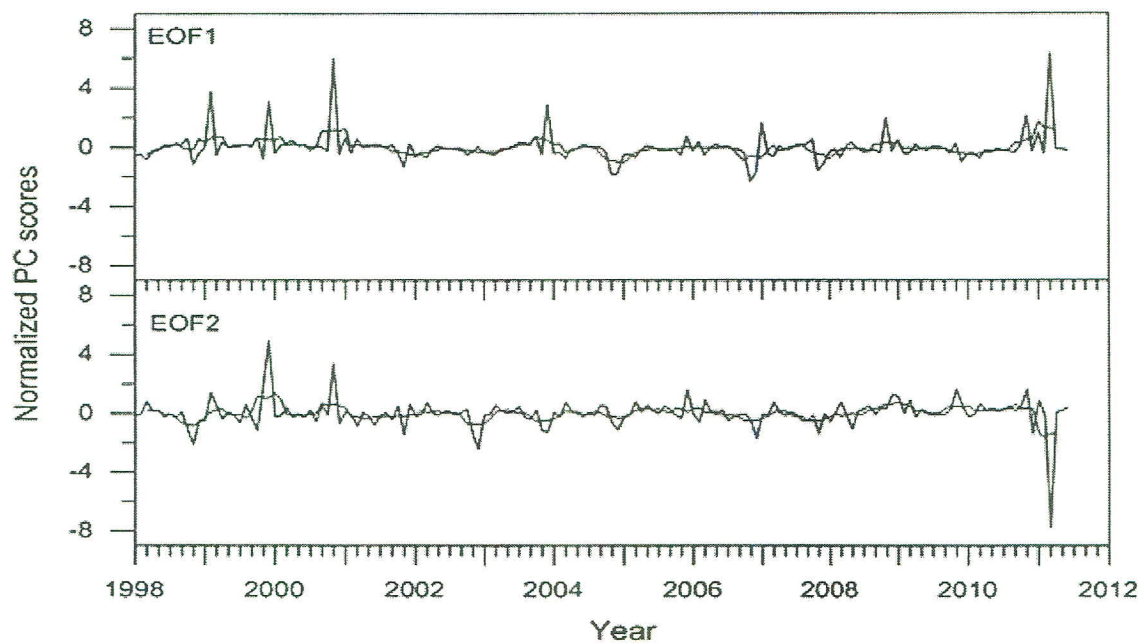
รูปที่ 4.14 แนวโน้มการเปลี่ยนแปลงเชิงเส้นตรงของ Variance ของหยาดน้ำฟ้า (mm^2/month) ซึ่งคำนวณจากอนุกรมรายเดือนระหว่างปี 1998-2010 ของข้อมูลดาวเทียม TRMM ในแต่ละกริด



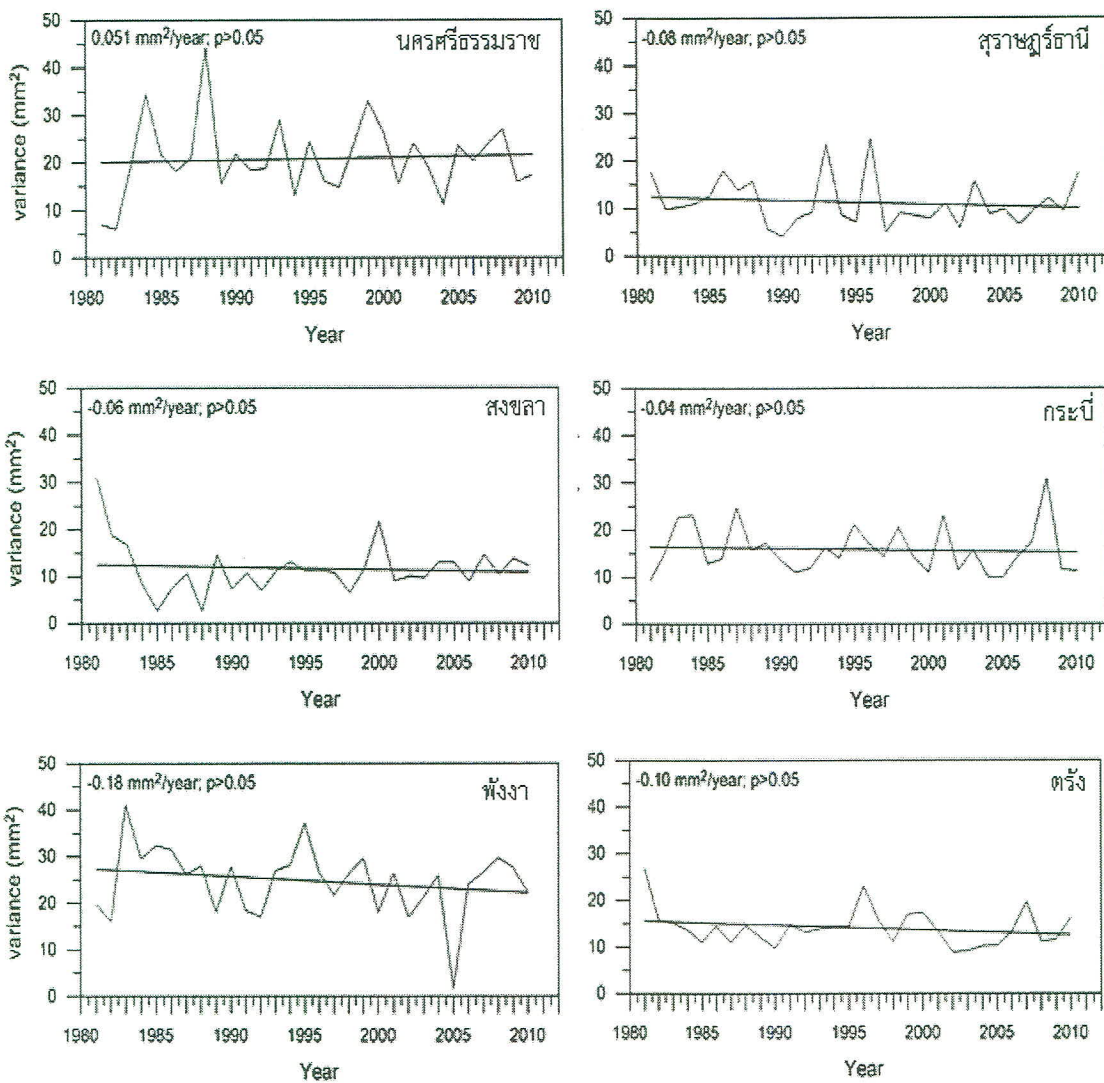
รูปที่ 4.15 โครงสร้างเชิงพื้นที่ (Component loading) ของ EOF โหนดที่ 1 ที่ได้จากการวิเคราะห์เมตริกซ์ข้อมูล Variance anomaly รายเดือนของหยาดน้ำฟ้าจากดาวเทียม TRMM ในระหว่างปี ค.ศ. 1998-2010



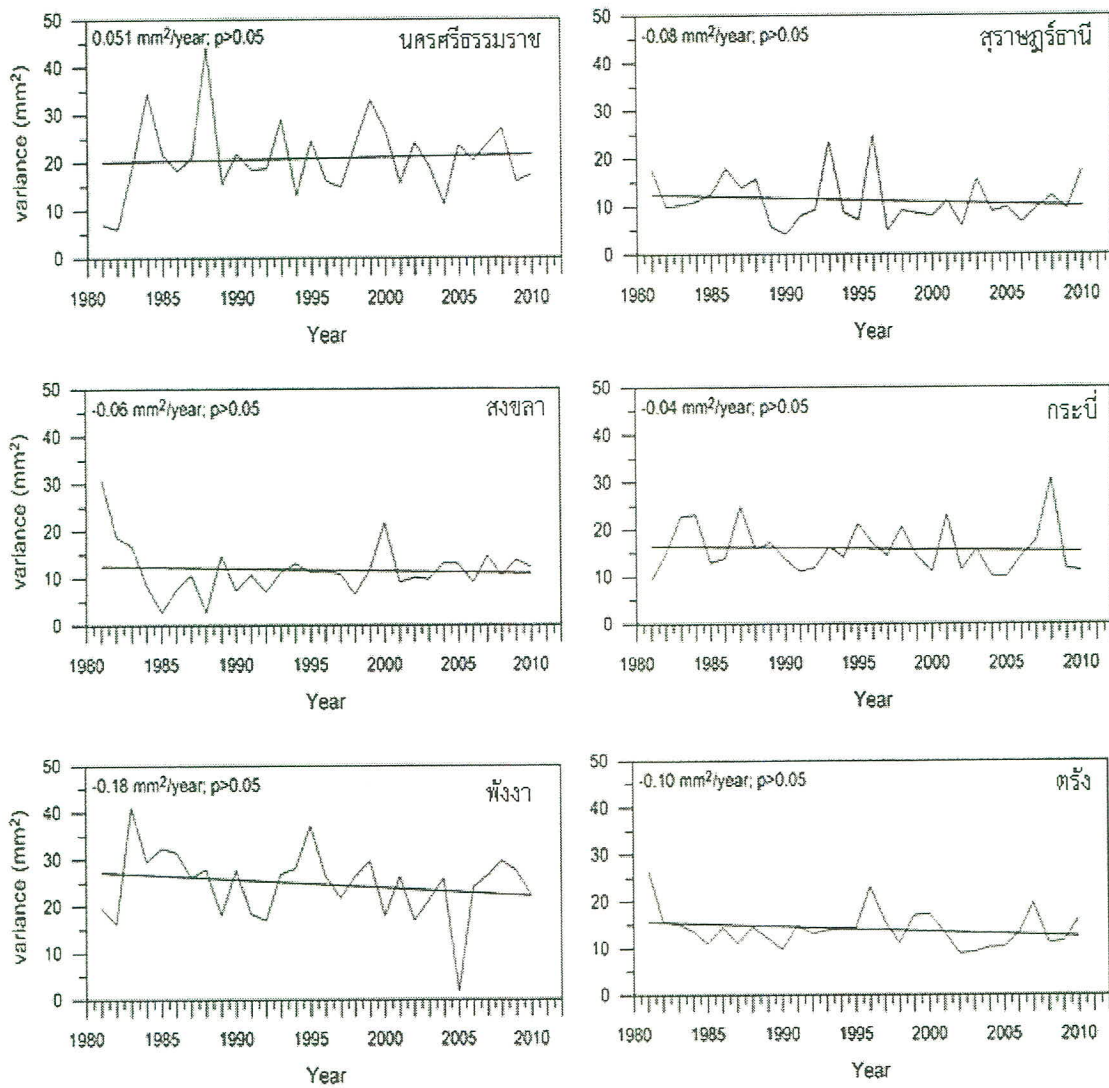
รูปที่ 4.16 โครงสร้างเชิงพื้นที่ (Component loading) ของ EOF โหนดที่ 2 ที่ได้จากการวิเคราะห์เมตริกซ์ ข้อมูล variance anomaly รายเดือนของหยาดน้ำฟ้าจากดาวเทียม TRMM ในระหว่างปี ค.ศ. 1998-2010



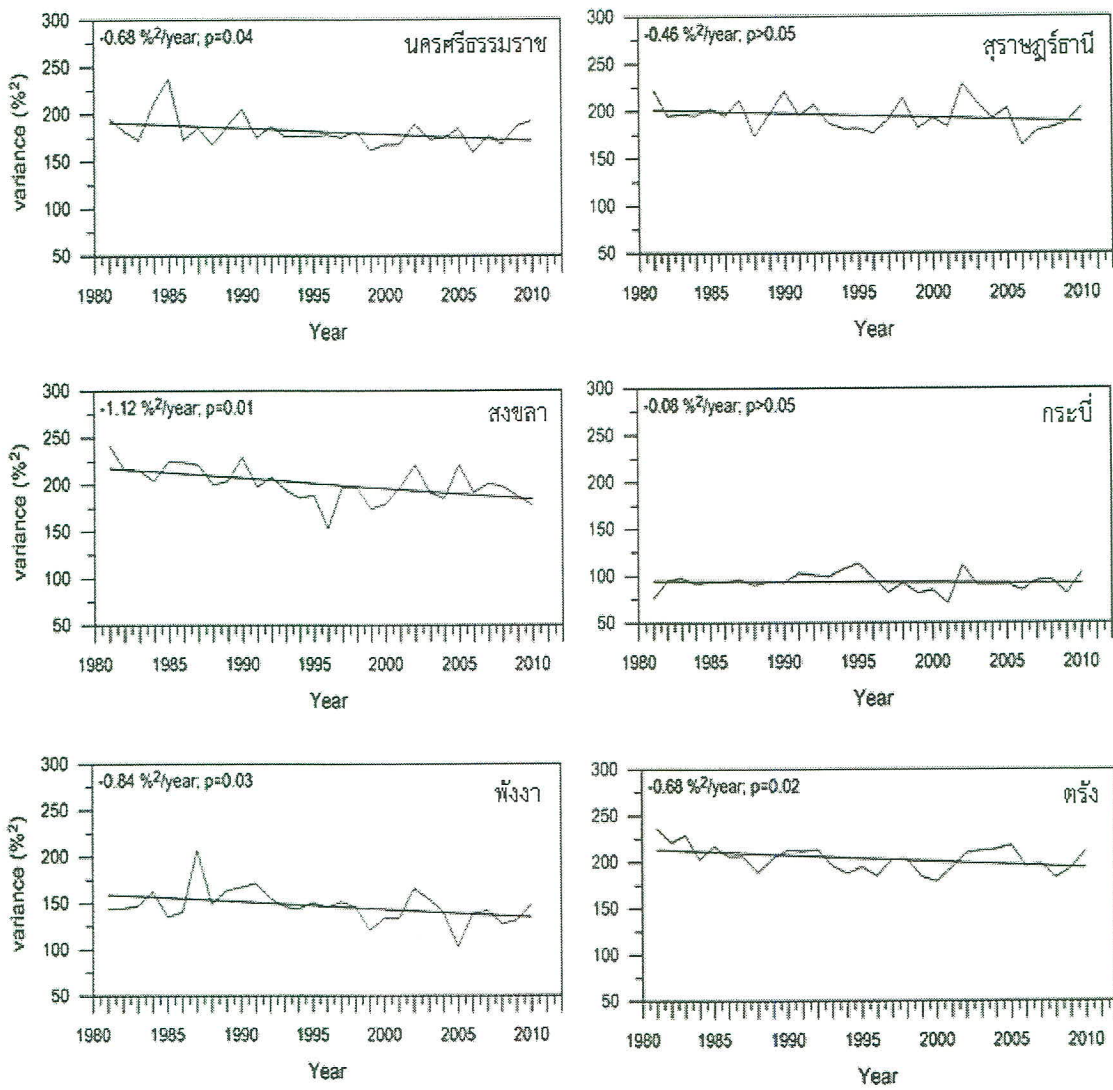
รูปที่ 4.17 รูปแบบเชิงเวลา (Time-varying amplitude) ของ EOF โหมดที่ 1 และ 2 ของ Variance รายเดือน ของหยาดน้ำฟ้าจากดาวเทียม TRMM



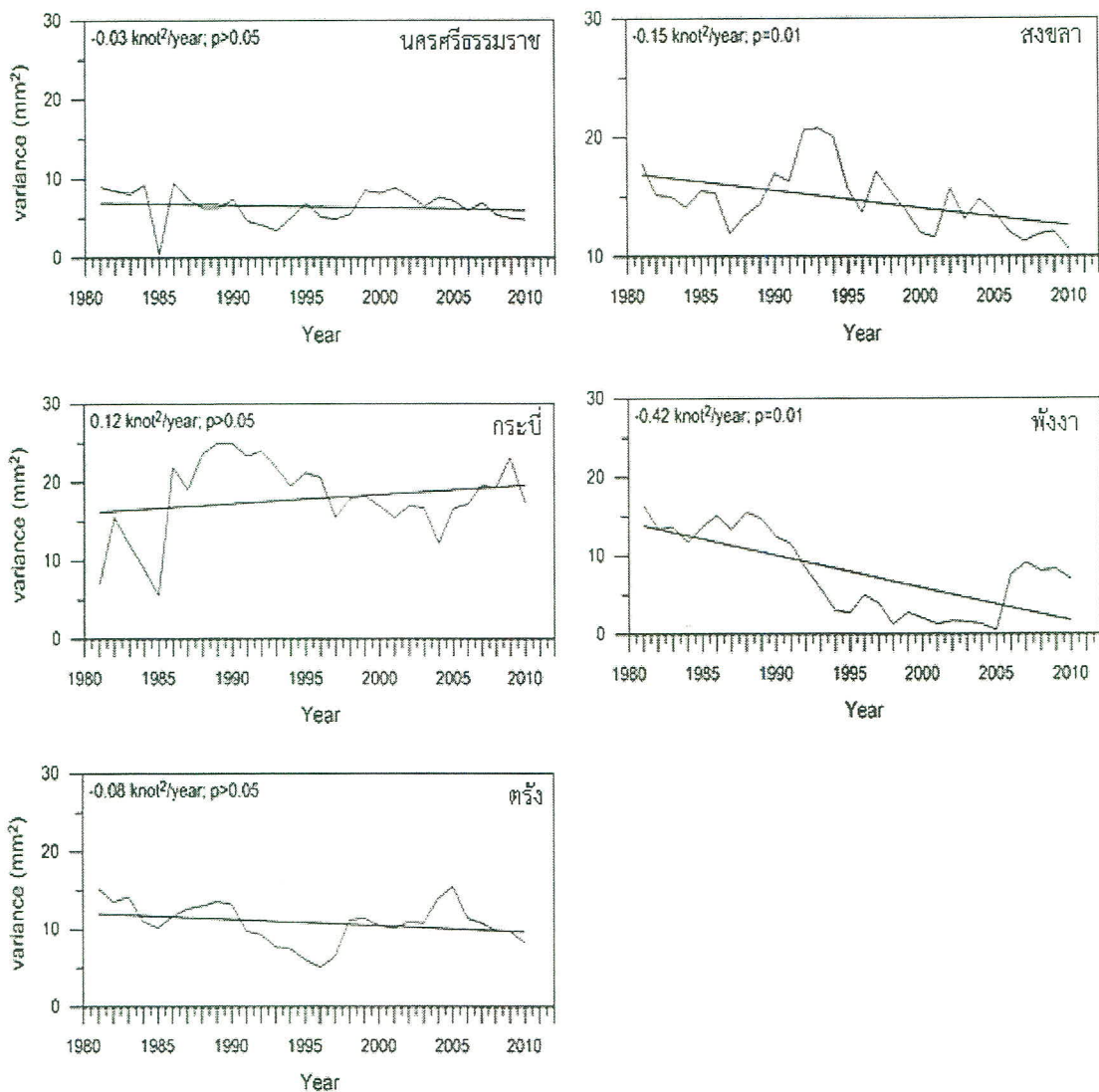
รูปที่ 4.18 แนวโน้มการเปลี่ยนแปลงระยะยาวของ Variance เคลี่ยรายปีของปริมาณฝนรายวันของสถานีผิวพื้นใน 6 จังหวัดภาคใต้



รูปที่ 4.19 แนวโน้มการเปลี่ยนแปลงระยะยาวของ Variance เฉลี่ยรายปีของอุณหภูมิเฉลี่ยรายวันของสถานีผู้พื้นใน 6 จังหวัดภาคใต้



รูปที่ 4.20 แนวโน้มการเปลี่ยนแปลงระยะยาวของ Variance เฉลี่ยรายปีของความชื้นสัมพัทธ์รายวันของสถานีผิวน้ำใน 6 จังหวัดภาคใต้



รูปที่ 4.21 แนวโน้มการเปลี่ยนแปลงระยะยาวของ Variance เคลื่อนรายปีของความเรื้อร郁闷รายวันของสถานีพิวพื้นใน 6 จังหวัดภาคใต้

ตารางที่ 4.6 แสดงค่าสัมประสิทธิ์ของ Kendall Tau correlation (τ) ระหว่างอนุกรมค่าเฉลี่ยแบบเคลื่อนที่ใน captions 11 เดือนของดัชนี SOI และ Variance เคลื่อนรายเดือนของตัวแปรภูมิอากาศรายวันในระหว่างปี 1981-2010

สถานีตรวจวัดอากาศพิวพื้น	ปริมาณฝน	อุณหภูมิ	ความชื้นสัมพันธ์
นครศรีธรรมราช	0.32	-0.32	-0.22
สงขลา	0.13	-0.20	-0.45
สุราษฎร์ธานี	0.19	-0.37	-0.45
ตรัง	0.26	-0.54	-0.50
พังงา	0.19	-0.42	-0.41
กระบี	0.17	-0.48	-0.42

หมายเหตุ : p-value=0.01, จำนวนตัวอย่าง (n) = 358

4.1.5 แนวโน้มการเปลี่ยนแปลงของดัชนีสภาพความรุนแรงของลมฟ้าอากาศในพื้นที่ 7 จังหวัดของภาคใต้

ดัชนีสภาพความรุนแรงของลมฟ้าอากาศ ได้ถูกคำนวณจากห้องข้อมูลภูมิอากาศรายวันที่ตรวจวัดจากสถานีพิวพื้นและข้อมูลหยาดน้ำฟ้าแบบกริดที่ตรวจวัดจากดาวเทียม TRMM ในบริเวณพื้นที่ 7 จังหวัดภาคใต้ ซึ่งแนวโน้มการเปลี่ยนแปลงในเชิงเส้นตรง (Linear trend) ของแต่ละดัชนีที่คำนวณในแต่ละสถานี และกริด ได้ถูกวิเคราะห์ด้วยวิธี Non-parametric Kendall's tau based slope estimator ทั้งนี้ ได้กำหนดระดับความเชื่อมั่นที่ 95% และระดับนัยสำคัญที่ 0.05 (5%) เพื่อแสดงถึงตัวแปรหรือดัชนีในแต่ละสถานีและกริด มีการเปลี่ยนแปลงในเชิงเส้นต่อหน่วยเวลา อย่างมีนัยสำคัญทางสถิติ

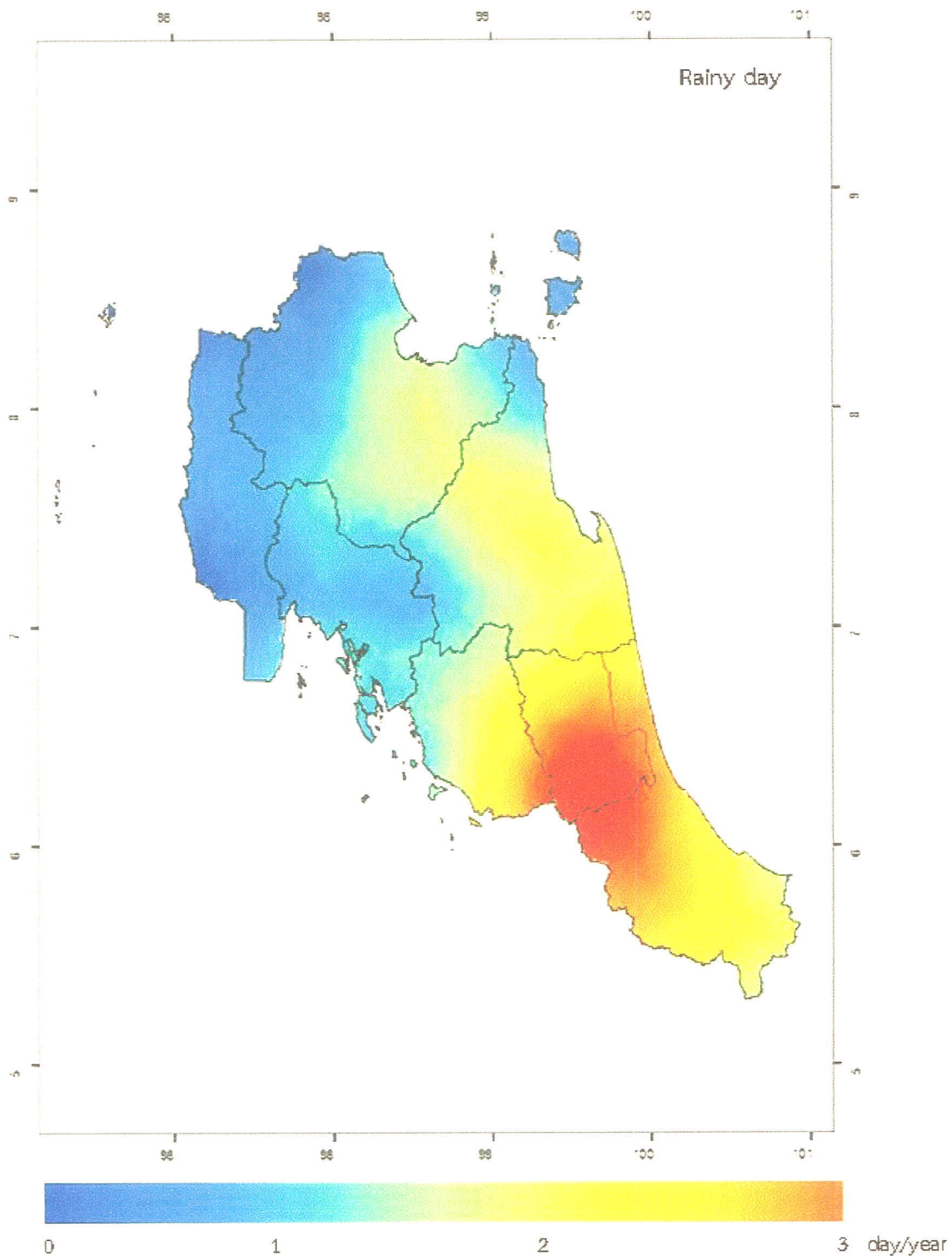
รูปที่ 4.22 ถึง รูปที่ 4.27 แสดงแผนที่แนวโน้มการเปลี่ยนแปลงเชิงเส้นตรงของดัชนีสภาพความรุนแรงของหยาดน้ำฟ้าจากข้อมูลดาวเทียม TRMM ในระหว่างปี ค.ศ. 1998-2010 ซึ่งมีประเด็นหลักสรุปได้ดังนี้

- ดัชนีจำนวนวันฝนตก (Rainyd) บ่งชี้ถึงแนวโน้มการเพิ่มขึ้นของจำนวนวันฝนตกในบริเวณจังหวัดสงขลา จังหวัดพัทลุงและบางส่วนของจังหวัดรัตนโกสินทร์และนครศรีธรรมราช ส่วนจังหวัดบริเวณฝั่งอันดามัน จำนวนวันฝนตก ไม่มีการเปลี่ยนแปลงมากนักในรอบ 13 ปีที่ผ่านมา (รูปที่ 4.22)
- ดัชนี CDD เป็นดัชนีสภาพความรุนแรงของฝน ที่ใช้อิบายสภาพความแห้งแล้งในรอบปี หรือระยะฝนทึ่งช่วงในระหว่างฤดูฝนหรือรสมุน ผลการวิเคราะห์ พบว่า ดัชนี CDD มีแนวโน้มเพิ่มขึ้นในหลายพื้นที่ โดยเฉพาะอย่างยิ่งจังหวัดสุราษฎร์ธานี (รูปที่ 4.23) ซึ่งบ่งชี้ถึงเกิดสภาพความแห้งแล้งในรอบปีและระยะเวลาฝนทึ่งช่วงในฤดูฝนยาวนานขึ้น ทั้งนี้ การเปลี่ยนแปลงเชิงพื้นที่ของดัชนี CDD ค่อนข้างสอดคล้องกับการเปลี่ยนแปลงเชิงพื้นที่ของ Variance ของหยาดน้ำฟ้า (รูปที่ 4.14) และดัชนีจำนวนวันฝนตก (รูปที่ 4.22)
- ดัชนี CWD เป็นดัชนีสภาพความรุนแรงของฝนในแร่ระยะเวลาของฝนตกซุกและต่อเนื่อง ซึ่งใช้แสดงช่วงเวลาที่มีรสมุนฤดูร้อนมีกำลัง หรือ Active monsoon และช่วงที่เกิดพายุและร่องความกดอากาศต่ำ พาดผ่าน การเปลี่ยนแปลงเชิงพื้นที่ของดัชนี CWD มีลักษณะที่ตรงกันข้ามกับดัชนี CDD และรูปแบบที่สอดคล้องกับการเปลี่ยนแปลงของ Variance ของหยาดน้ำฟ้า (รูปที่ 4.14, 4.23 และ 4.24) กล่าวคือ ดัชนี CWD มีแนวโน้มเพิ่มขึ้นในรอบ 13 ปีที่ผ่านมา ในบริเวณจังหวัดนครศรีธรรมราช และบางส่วนของจังหวัดพัทลุงและสงขลา (รูปที่ 4.24) ซึ่งเป็นบริเวณที่ Variance ของหยาดน้ำฟ้าเพิ่มขึ้นอย่างชัดเจน (รูปที่ 4.14)
- ดัชนี R95p เป็นดัชนีปริมาณฝนจากเหตุการณ์ฝนหนัก ซึ่งเป็นดัชนีสภาพความรุนแรงของฝนในแร่ปริมาณของฝนที่มากกว่าเมื่อเปรียบเทียบกับค่า Threshold ที่กำหนด โดยปกติใช้เปอร์เซ็นต์ไทล์ที่ 95 เป็นค่าที่กำหนดปริมาณฝนจากเหตุการณ์ฝนหนักหรือเหตุการณ์ที่มักปรากฏบริเวณ Upper tail ของการแจกแจงข้อมูลฝน ผลการวิเคราะห์ดัชนี R95p ในบริเวณ 7 จังหวัดภาคใต้ พบว่า ปริมาณฝนจากเหตุการณ์ฝนหนัก มีแนวโน้มลดลงอย่างมีนัยสำคัญในบริเวณตอนบนของจังหวัดสุราษฎร์ธานี (รูปที่ 4.25) ซึ่งเป็นพื้นที่ที่ Variance ของหยาดน้ำฟ้าลดลงเมื่อเปรียบเทียบกับพื้นที่อื่นๆ (รูปที่ 4.14)

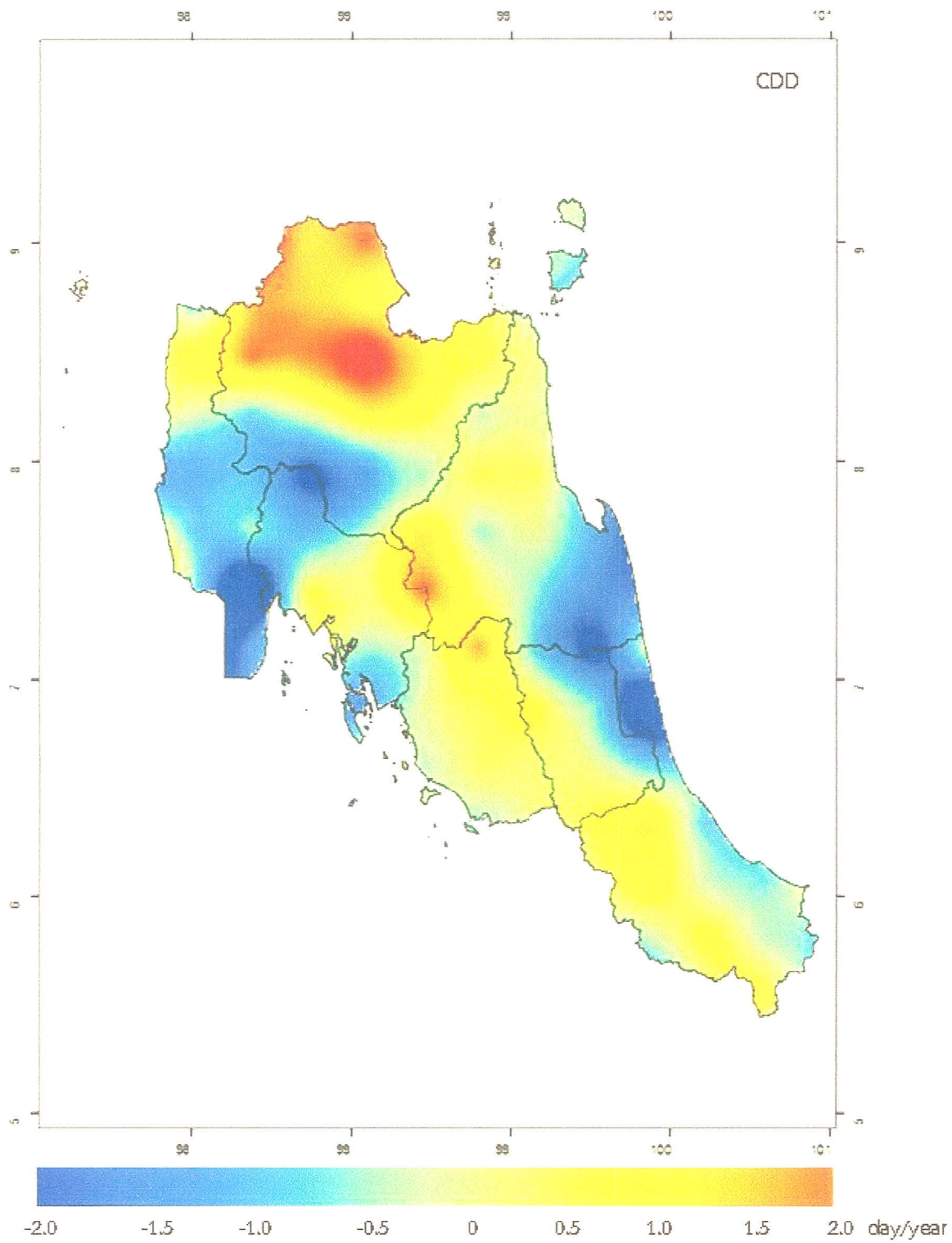
- ดัชนี RX5day เป็นดัชนีสภาพความรุนแรงในแร่ความแรงฝนช่วงระยะเวลาสั้น (5 วัน) โดยใช้แสดงถึงสภาพความแรงของเหตุการณ์ฝนหนัก ซึ่งมักเกิดขึ้นในช่วงพายุหรือลมรสมุนมีกำลังแรงขึ้นอย่างฉับพลัน ลักษณะการเปลี่ยนแปลงของดัชนี RX5day จากรูปที่ 4.26 แสดงการเปลี่ยนแปลงเชิงพื้นที่มีลักษณะ Bi-mode กล่าวคือ ดัชนี RX5day บริเวณทางตอนบนของ 7 จังหวัดภาคใต้ มีแนวโน้มลดลง ในขณะที่บริเวณทางตอนล่าง กลับมีแนวโน้มเพิ่มขึ้น (รูปที่ 4.26)

- ดัชนี SDII เป็นดัชนีสภาวะความรุนแรงที่แสดงถึงการเปลี่ยนแปลงของฝนในแต่ละวันและอุณหภูมิจากข้อมูลรายวันที่ตรวจวัดจากสถานีผู้พื้นของแต่ละจังหวัด ดังแสดงในตารางที่ 4.7 และ 4.8 ดัชนีสภาวะความรุนแรงของฝนทั้ง 6 ดัชนีที่ทำการวิเคราะห์ มีลักษณะการเปลี่ยนแปลงที่ไม่มีรูปแบบคล้ายคลึงและสอดคล้องกันในพื้นที่บริเวณกว้าง โดยดัชนีสภาวะความรุนแรงของฝน มีลักษณะการเปลี่ยนแปลงเกิดขึ้นทั้งสองทิศทาง กล่าวคือ การเพิ่มขึ้นและการลดลงในอัตราที่แตกต่างกันในแต่ละสถานีและพื้นที่ ดัชนีจำนวนวันฝนตก (Rainyd) มีแนวโน้มเพิ่มขึ้นที่สถานีในจังหวัดพังงาและนครศรีธรรมราช ในขณะที่ ดัชนี CDD มีแนวโน้มลดลงทุกสถานี โดยสถานีที่จังหวัดสงขลา มีแนวโน้มลดลงอย่างมีนัยสำคัญทางสถิติในอัตรา 3.5 days/decade (ตารางที่ 4.7) ดัชนีสภาวะความรุนแรงของฝนในรูปของดัชนีระยะเวลาของฝนตกอย่างต่อเนื่อง (ดัชนี CWD) แสดงแนวโน้มการลดลงอย่างมีนัยสำคัญทางสถิติในบริเวณฝั่งอันดามันที่สถานีในจังหวัดกระบี่และตรัง (ตารางที่ 4.7) ในแต่ละพื้นที่ที่บ่งชี้ถึงปริมาณฝนจากเหตุการณ์ฝนหนัก (R95p) พบว่า มีการเปลี่ยนแปลงที่ค่อนข้างตรงข้ามระหว่างฝั่งอ่าวไทยและฝั่งอันดามัน กล่าวคือ สถานีในบริเวณฝั่งอ่าวไทยมีแนวโน้มเพิ่มขึ้น โดยสถานีที่จังหวัดนครศรีธรรมราชและพัทลุง มีแนวโน้มเพิ่มขึ้นอย่างมีนัยสำคัญทางสถิติ ส่วนสถานีในบริเวณฝั่งอันดามัน มีแนวโน้มลดลง (ตารางที่ 4.7) สำหรับดัชนี SDII ซึ่งบ่งชี้ถึงความแรงเฉลี่ยของฝน มีการเปลี่ยนแปลงที่สอดคล้องกับดัชนีปริมาณฝนจากเหตุการณ์ฝนหนัก โดยสถานีที่จังหวัดนครศรีธรรมราชและพัทลุง มีแนวโน้มเพิ่มขึ้นอย่างมีนัยสำคัญทางสถิติ (ตารางที่ 4.7) เป็นที่น่าสังเกตว่า ผลการวิเคราะห์ดัชนีสภาวะความรุนแรงของหยาดน้ำฟ้าจากข้อมูลดาว TRMM และข้อมูลฝนจากสถานีผู้พื้น มีลักษณะที่ไม่สอดคล้องกันในบางดัชนี ทั้งนี้อาจเนื่องมาจากระยะเวลาของข้อมูลที่แตกต่างกัน โดยสถานีผู้พื้น มีระยะเวลาของข้อมูลยาวกว่าข้อมูล TRMM ซึ่งตั้งแต่ศตวรรษที่ 1970s หรือ 1980s ถึงปัจจุบัน ในขณะที่ ข้อมูล TRMM มีระยะเวลาเพียงแค่ 13 ปีเท่านั้น

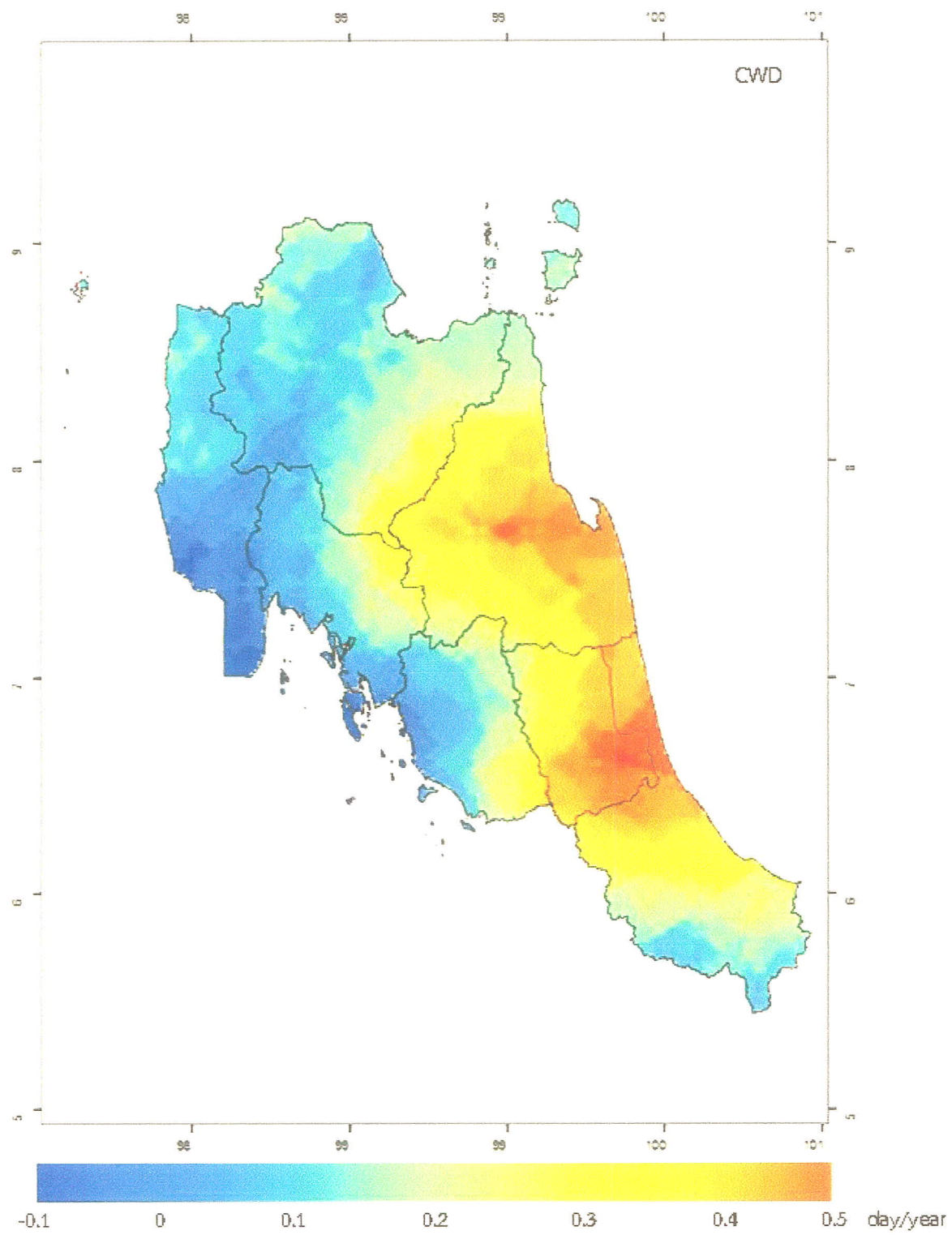
ผลการวิเคราะห์ดัชนีสภาวะความรุนแรงของอุณหภูมิ พบร่วมกับ ผลการวิเคราะห์ดัชนีสภาวะความรุนแรงของอุณหภูมิ พบว่า หล่ายดัชนีมีแนวโน้มการเปลี่ยนแปลงอย่างมีนัยสำคัญ ในรอบ 42 ปีที่ผ่านมา (ตารางที่ 4.8) โดยรูปแบบการเปลี่ยนแปลงมีลักษณะคล้ายคลึงกันทั้ง 3 สถานี ซึ่งสอดคล้องกับแนวโน้มการร้อนขึ้นในภาคใต้ แนวโน้มการเพิ่มขึ้นของสภาวะความรุนแรงของอุณหภูมิ ประกอบด้วย ดัชนีช่วงระยะเวลาที่อบอุ่น (WSDI) ดัชนีจำนวนวันที่อุณหภูมิสูงกว่า 35°C (SU35) และดัชนีจำนวนวันและคืนที่อบอุ่น (TN90p และ TX90p) ในขณะที่ แนวโน้มการลดลงของสภาวะความรุนแรงของอุณหภูมิ ปรากฏในดัชนีจำนวนวันและคืนที่หนาว (TN10p และ TX10p) (ตารางที่ 4.8)



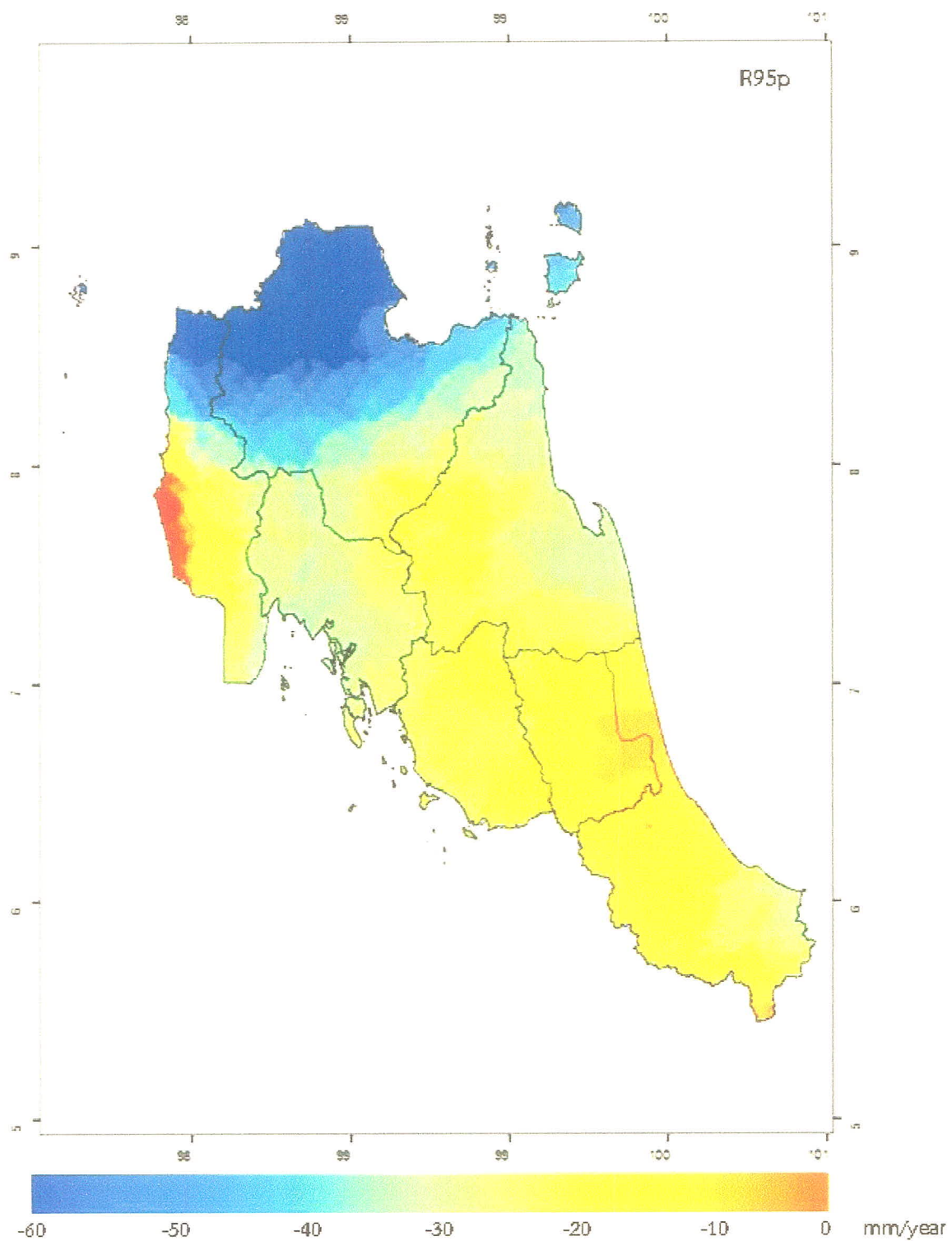
รูปที่ 4.22 แสดงแนวโน้มการเปลี่ยนแปลงเชิงเส้นตรงของจำนวนวันฝนตก (Rainy day) ในระหว่างปี ค.ศ. 1998-2010



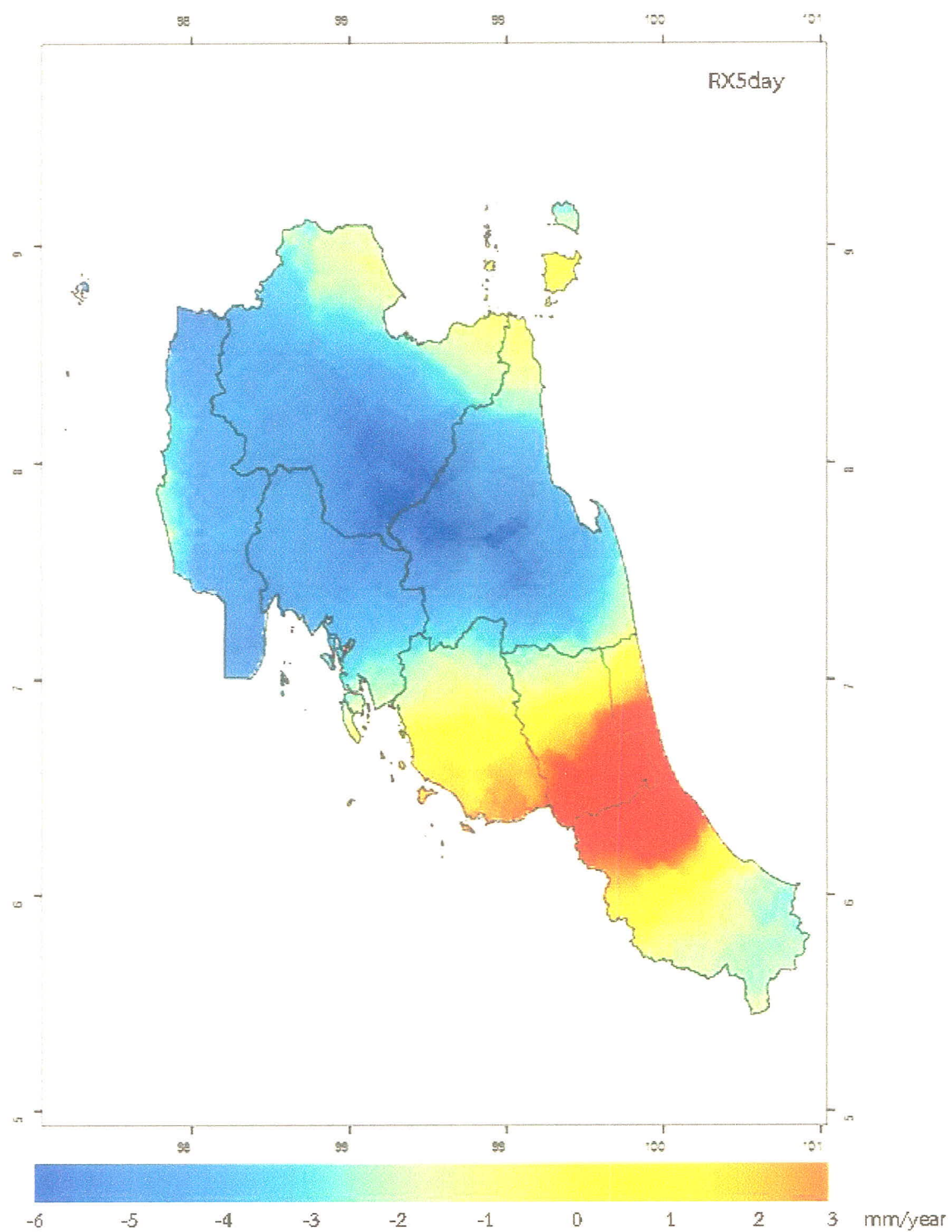
รูปที่ 4.23 แสดงแนวโน้มการเปลี่ยนแปลงเชิงเส้นตรงของดัชนี CDD ในระหว่างปี ค.ศ. 1998-2010



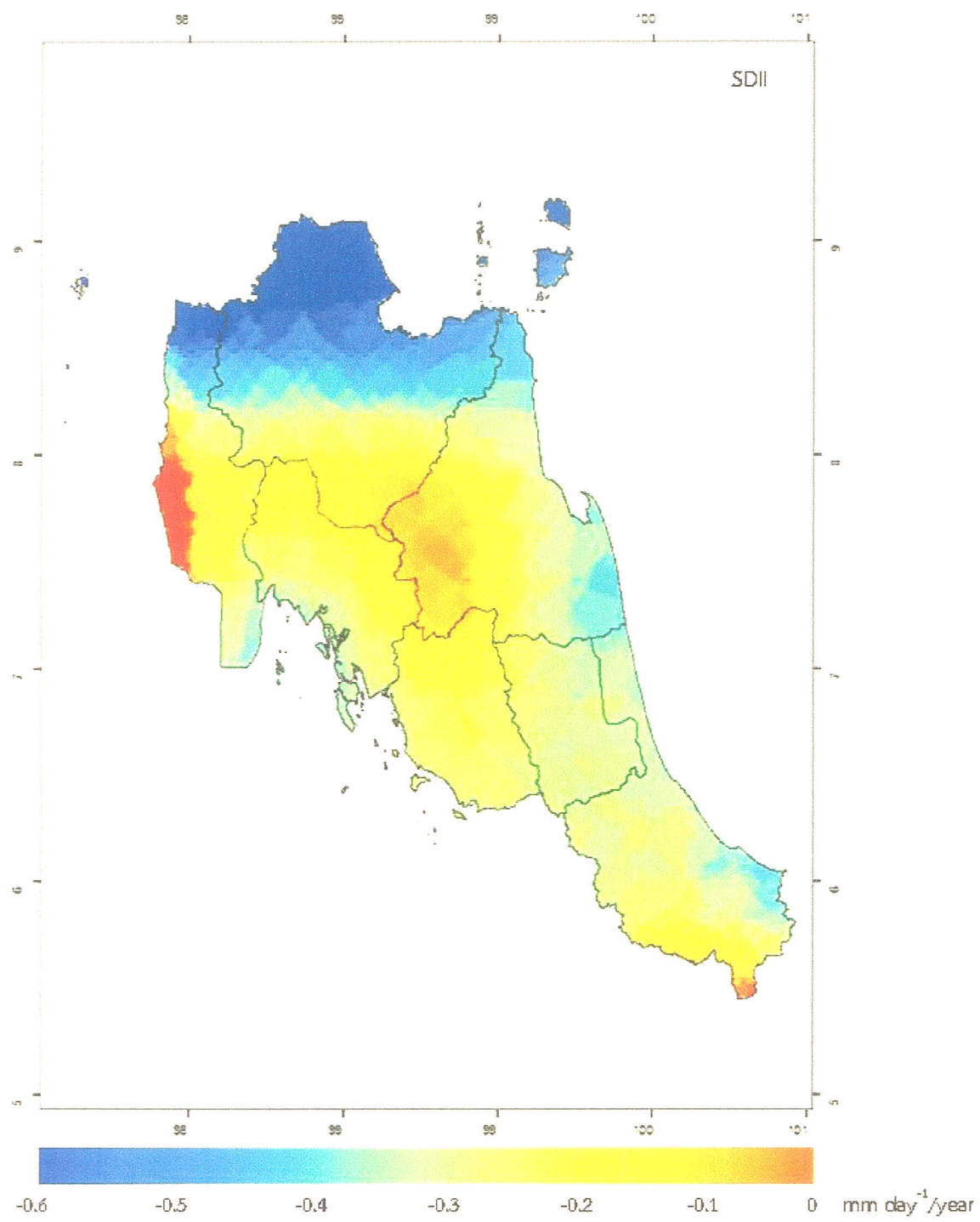
รูปที่ 4.24 แสดงแนวโน้มการเปลี่ยนแปลงเชิงเส้นตรงของดัชนี CWD ในระหว่างปี ค.ศ. 1998-2010



รูปที่ 4.25 แสดงแนวโน้มการเปลี่ยนแปลงเชิงเส้นตรงของดัชนี R95p ในระหว่างปี ค.ศ. 1998-2010



รูปที่ 4.26 แสดงแนวโน้มการเปลี่ยนแปลงเชิงเส้นตรงของดัชนี RX5day ในระหว่างปี ค.ศ. 1998-2010



รูปที่ 4.27 แสดงแนวโน้มการเปลี่ยนแปลงเชิงเส้นตรงของดัชนี SDII ในระหว่างปี ค.ศ. 1998-2010

ตารางที่ 4.7 แนวโน้มการเปลี่ยนแปลงเชิงเส้นตรงของดัชนีสภาพความรุนแรงของฝน

จังหวัด	ดัชนีสภาพความรุนแรงของฝน					
	Raind ¹	CDD ¹	CWD ¹	R95p ²	RX5day ²	SDII ³
1. พังงา (n=31)	5.1	-5.6	0.3	-17.7	23.6	-0.2
2. กระปี (n=30)	-0.6	-2.8	-1.8	-11.0	1.9	-0.3
3. ตรัง (n=42)	-1.2	-2.6	-0.8	0.5	-6.8	0.1
4. นครศรีธรรมราช (n=42)	1.8	-1.5	0	97.4	20.3	0.8
5. สุราษฎร์ธานี (n=42)	-2.1	-1.5	-0.6	16.0	24.9	0.1
6. พัทลุง (n=30)	-3.3	-0.8	0.3	105.6	20.7	1.7
7. สงขลา (n=42)	0.6	-3.5	0.3	50.9	-0.41	0.6

หมายเหตุ : 1= (days/decade)

2= (mm/decade)

3= (mm day⁻¹/decade)

ตารางที่ 4.8 แนวโน้มการเปลี่ยนแปลงเชิงเส้นตรงของดัชนีสภาพความรุนแรงของอุณหภูมิ

จังหวัด	ดัชนีสภาพความรุนแรงของอุณหภูมิ								
	CSDI ¹	WSDI ¹	DTR ²	SU35 ¹	TR25 ¹	TN10p ¹	TN90p ¹	TX10p ¹	TX90p ¹
1. นครศรีธรรมราช (n=42)	-1.2	3.8	0.2	6.5	-1.2	-2.7	0.9	-3.5	4.4
2. สงขลา (n=42)	-2.1	0.3	-0.2	5.0	46.3	-8.3	6.7	-2.5	3.1
3. ตรัง (n=42)	0.8	3.5	0.1	2.2	-0.2	-1.6	0.6	-1.2	5.7

หมายเหตุ : 1= (days/decade)

2= ($^{\circ}\text{C}/\text{decade}$)

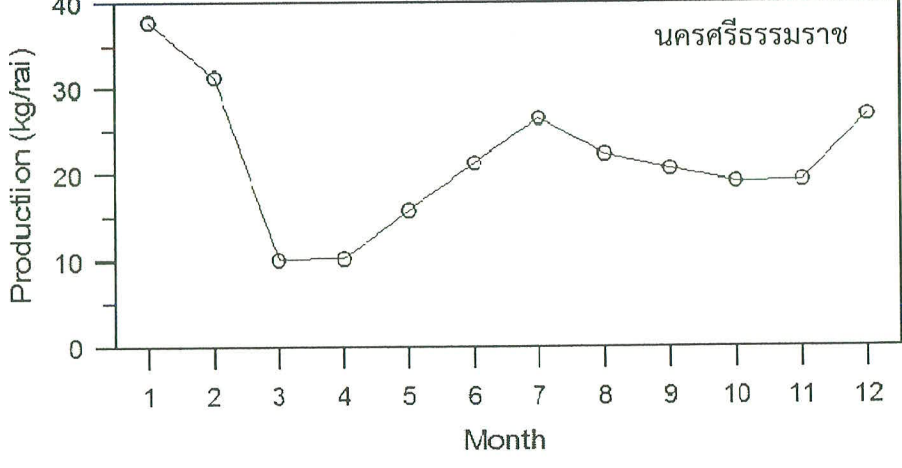
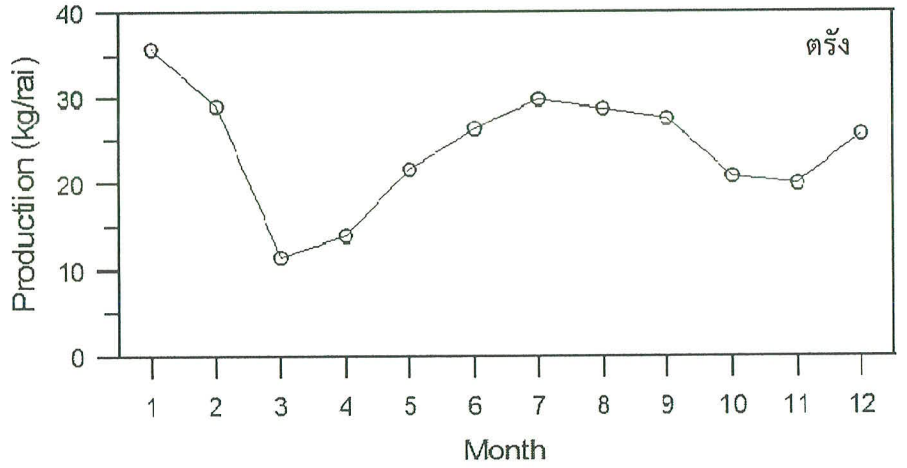
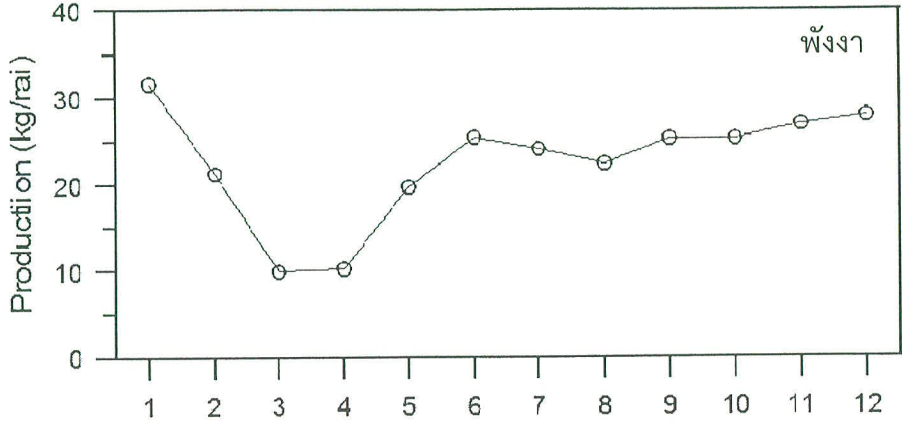
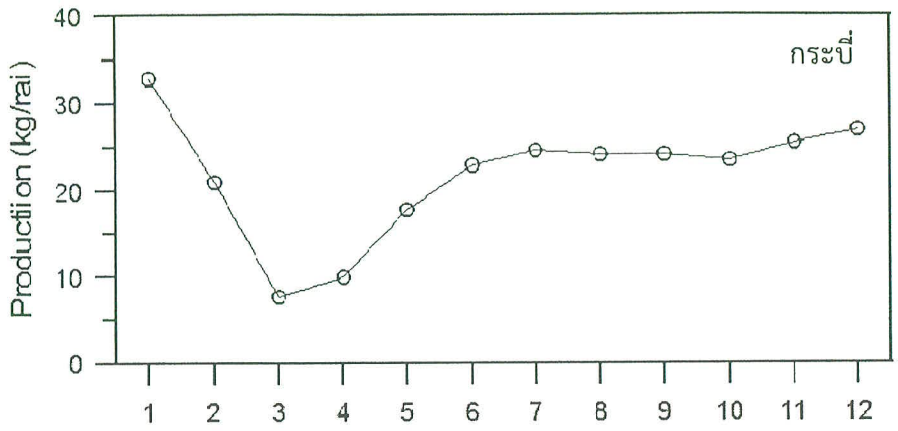
4.1.6 ความแปรปรวนของผลผลิตยางพาราในรอบปีและความสัมพันธ์กับตัวแปรภูมิอากาศ

รูปที่ 4.28 แสดงความแปรปรวนของผลผลิตยางพาราในรอบปีของแต่ละจังหวัด ตลอดจนค่าเฉลี่ยในฝั่งอันดามัน ฝั่งอ่าวไทยและทุกจังหวัด ความแปรปรวนของผลผลิตยางพาราในรอบปี มีค่าอยู่ในช่วง 7.7 ถึง 38 กิโลกรัมต่อพื้นที่เปิดกรีด 1 ไร่ โดยจังหวัดพังงาและนครศรีธรรมราช มีค่าความแปรปรวนของผลผลิตยางพาราในรอบปี แคบ และกว้างที่สุด (รูปที่ 4.28) ทุกจังหวัดมีช่วงเวลาที่ผลผลิตยางพารามีค่าต่ำสุดและสูงสุดในรอบปีเหมือนกัน คือ ช่วงเดือนมีนาคมและเมษายนและเดือนมกราคม ตามลำดับ โดยผลผลิตยางพาราเฉลี่ยสูงสุดในเดือนมกราคม ปราการในจังหวัดนครศรีธรรมราช (37.9 กิโลกรัมต่อพื้นที่เปิดกรีด 1 ไร่) ระยะเวลาที่ผลผลิตยางพารามีค่าต่ำสุด ตรงกับช่วงที่ต้นยางพาราผลัดใบโดยปกติก็เกิดขึ้นในฤดูร้อนประมาณเดือนกุมภาพันธ์ถึงเดือนมีนาคม ในขณะที่ ผลผลิตยางพาราถึงจุดสูงสุด เป็นช่วงปลายฤดูหนาวและต้นฤดูร้อนซึ่งสภาพภูมิอากาศเอื้อต่อผลผลิตของยางพารา กล่าวคือ ไม่มีฝนและอุณหภูมิลดลง รวมทั้งความชื้นอยู่ในระดับที่พอเหมาะสม หลังจากต้นยางผลิตใบเต็มต้นแล้วในเดือนมิถุนายน ผลผลิตยางพารา เริ่มกลับเพิ่มขึ้นอย่างต่อเนื่องในจังหวัดพังงาและกระบี่ แต่กลับลดลงในเดือนกันยายน ตุลาคมและพฤษภาคมในจังหวัดที่ตั้งอยู่ฝั่งอ่าวไทย เนื่องจากตรงกับต้นฤดูฝนของพื้นที่ตั้งกล่าว ซึ่งส่งผลต่อจำนวนวันกรีด เมื่อพิจารณาค่าเฉลี่ยความแปรปรวนของผลผลิตยางพาราในรอบปีของฝั่งอันดามันและฝั่งอ่าวไทยแล้ว พบว่า มีรูปแบบส่วนใหญ่คล้ายคลึงกัน ยกเว้นผลผลิตในเดือนพฤษภาคมที่มีลักษณะที่ค่อนข้างแตกต่างกัน (รูปที่ 4.28)

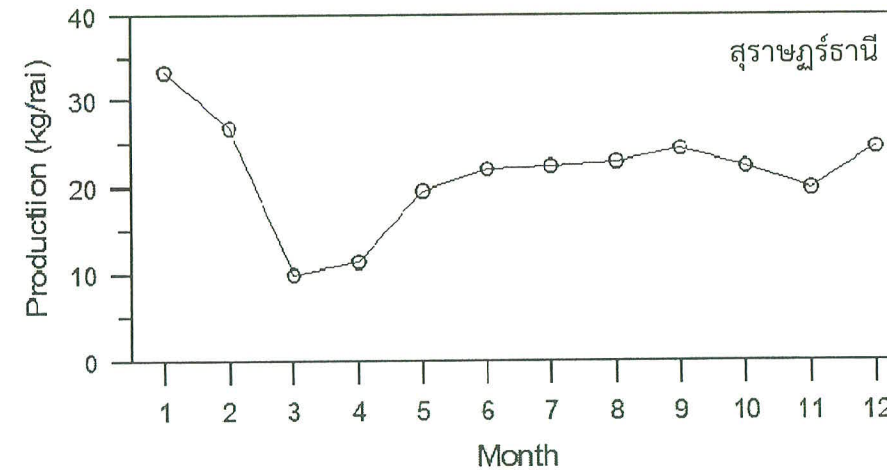
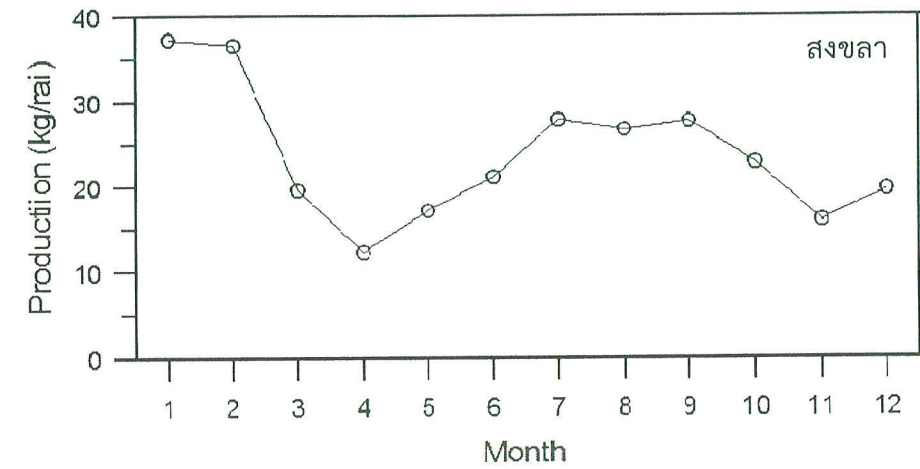
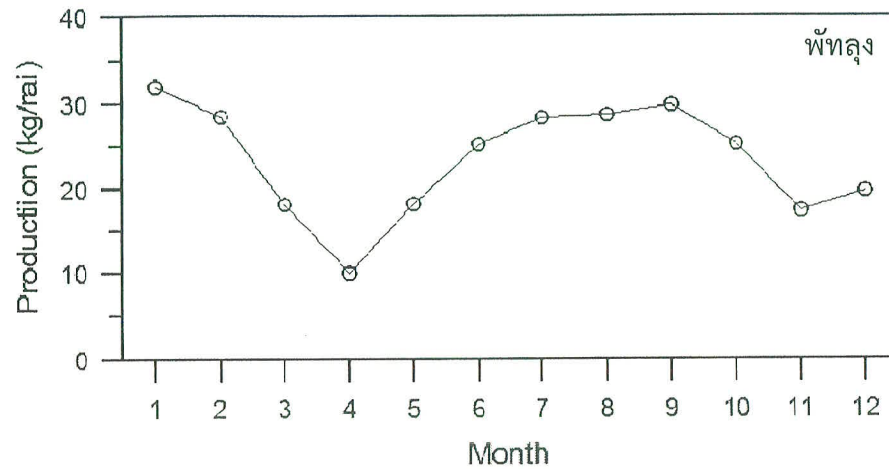
ผลการวิเคราะห์ความสัมพันธ์ระหว่างผลผลิตยางพาราในรอบปีและตัวแปรภูมิอากาศ 5 ตัวแปร (อุณหภูมิเฉลี่ย ฝน ความเร็วลม ความชื้นสัมพัทธ์และอัตราการระเหยของน้ำ) ในแต่ละจังหวัด โดยเป็นการวิเคราะห์ความสัมพันธ์ของอนุกรมข้อมูลรอบปีระหว่างผลผลิตยางพาราและตัวแปรภูมิอากาศแต่ละตัวอย่างต่อตัวไปต่อไป รวมถึงแยกจากกันตามลำดับ และพิจารณาถึงระดับความสัมพันธ์กับตัวแปรนั้นๆ พบว่า ความแปรปรวนในรอบปีของผลผลิตยางพารา ไม่มีความสัมพันธ์อย่างชัดเจนกับตัวแปรภูมิอากาศใดตัวแปรหนึ่ง โดยมีบางจังหวัดเท่านั้น เช่น พังงา กระบี่ สุราษฎร์ธานี พัทลุงและสงขลา ที่อุณหภูมิเฉลี่ยและความเร็วลม มีความสัมพันธ์อย่างมีนัยสำคัญทางสถิติที่ระดับความเชื่อมั่น 95% กับผลผลิตยางพารา (ตารางที่ 4.9) จากผลการวิเคราะห์ความสัมพันธ์ด้วยเทคนิค Bivariate statistics ในเบื้องต้น อาจตั้งสันนิฐานได้สองประการ คือ 1) ผลผลิตยางพารา อาจมีความสัมพันธ์กับตัวแปรภูมิอากาศหลายตัวแปร ในลักษณะความสัมพันธ์เชิงร่วมที่ไม่อิสระต่อกัน และ 2) ความสัมพันธ์ระหว่างผลผลิตยางพาราและตัวแปรภูมิอากาศ อาจมีลักษณะ Non-linear ซึ่งมักปรากฏใน Physical-biological linkage โดยความสัมพันธ์อาจซ่อนอยู่ภายใต้ความแปรปรวนที่โดยเด่นของข้อมูลทั้งสองอนุกรม ทั้งนี้ เทคนิค Bivariate correlation statistics ที่ใช้วิเคราะห์หาความสัมพันธ์ อาจไม่เพียงพอที่จะระบุความสัมพันธ์ตั้งกล่าวได้ เพื่อพิสูจน์ข้อสันนิฐานดังกล่าวข้างต้น จึงได้ทำการวิเคราะห์ข้อมูลใหม่ โดยขั้นแรกเป็นการความสัมพันธ์เชิงร่วมของตัวแปรภูมิอากาศ 5 ตัวแปรในแต่ละสถานี ด้วยวิธี EOF ซึ่งเป็นเทคนิค Multivariate statistics ที่ค่า Eigenvector จะบอกสัดส่วนความแปรปรวนของแต่ละตัวแปรภูมิอากาศใน EOF หมวดต่างๆ เมื่อทำการวิเคราะห์ EOF ของข้อมูลตัวแปรภูมิอากาศทั้ง 5 ตัวแปรแล้ว จึงพิจารณาความสัมพันธ์ระหว่างอนุกรมผลผลิตของยางพาราและ อนุกรม Time-varying amplitude ใน EOF หมวดที่ 1 และ 2 ซึ่งจัดเป็นความแปรปรวนในรอบปีร่วมของตัวแปรภูมิอากาศทั้ง 5 ตัวแปรในระดับ First และ Second order

รูปที่ 4.29-4.35 แสดงสัมประสิทธิ์ Kendall Tau correlation ระหว่างความแปรปรวนในรอบปีของผลผลิตยางพาราในแต่ละจังหวัดและ Time-varying amplitude ของ EOF หมวดที่ 1 และ 2 ที่คำนวนจากตัวแปรภูมิอากาศ 5 ตัวแปรของสถานีผู้พื้นในจังหวัดเดียวกัน รวมทั้ง Pie chart แสดงสัดส่วนความแปรปรวนของแต่ละตัวแปรภูมิอากาศที่เป็นองค์ประกอบร่วมใน Time-varying amplitude ของ EOF หมวดที่ 1 และ 2 ตามลำดับ ผลการ

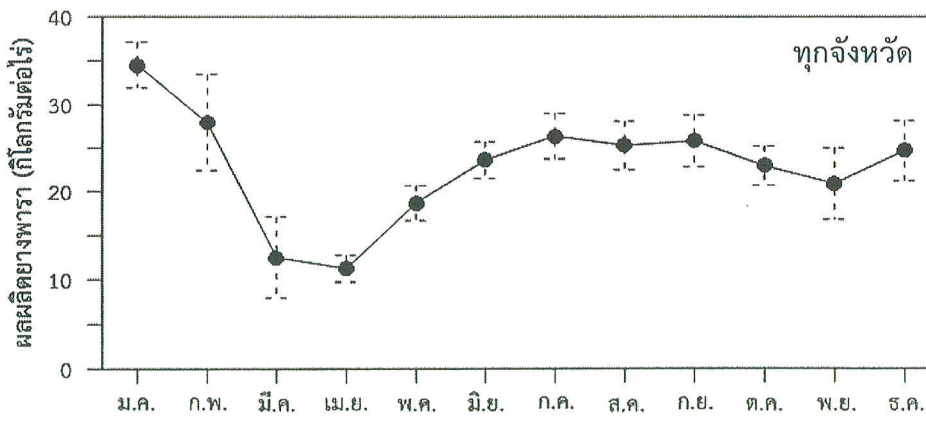
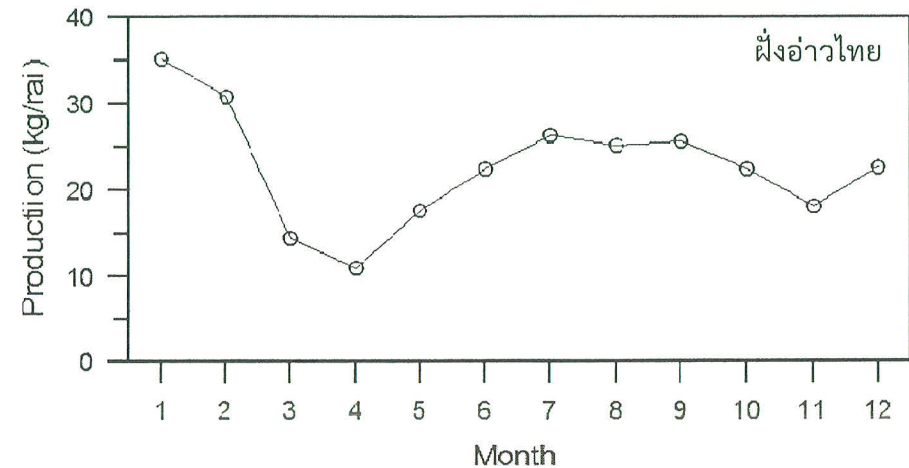
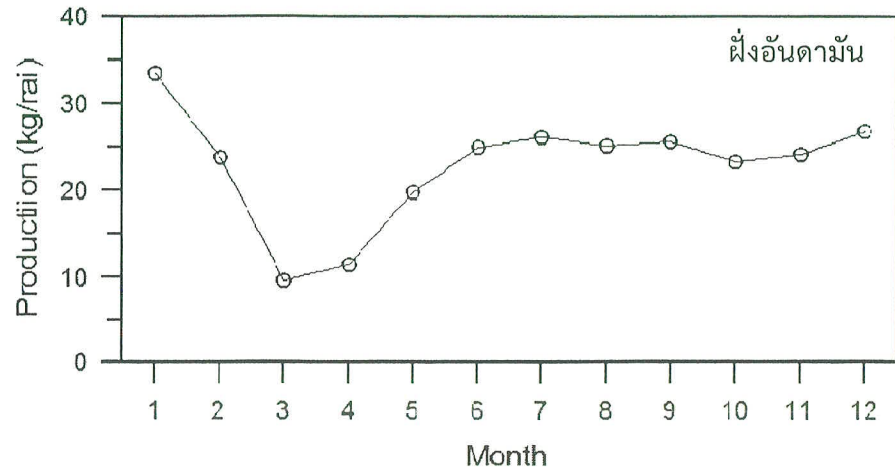
วิเคราะห์พบว่า โนมดความแปรปรวนร่วมที่ได้เด่นในลำดับ First order ซึ่งสามารถอธิบายโดย EOF โนมดที่ 1 ไม่มีความสัมพันธ์อย่างมีนัยสำคัญทางสถิติในระดับความเชื่อมั่น 95% กับความแปรปรวนของผลผลิตยางพาราในรอบปีของทุกจังหวัด ซึ่งสอดคล้องกับผลการวิเคราะห์ความสัมพันธ์ครั้งแรก อย่างไรก็ตาม เมื่อพิจารณาความแปรปรวนร่วมของตัวแปรภูมิอากาศในระดับ Second order ที่ปรากฏใน EOF โนมดที่ 2 ซึ่งแต่ละสถานีสามารถอธิบายความแปรปรวนได้ตั้งแต่ 19.4% ถึง 37.8% ของความแปรปรวนทั้งหมด พบความสัมพันธ์อย่างมีนัยสำคัญทางสถิติในระดับความเชื่อมั่น 95% ระหว่างอนุกรม Time-varying amplitude และอนุกรมความแปรปรวนของผลผลิตยางพาราในรอบปีของทุกจังหวัด โดยสัมประสิทธิ์ Kendall Tau correlation มีค่าตั้งแต่ -0.63 ถึง 0.48 เป็นที่น่าสังเกตว่า อนุกรม Time-varying amplitude ของ EOF โนมดที่ 2 มีความสัมพันธ์เชิงลบกับอนุกรมผลผลิตยางพาราในรอบปีในฝั่งอันดามัน (กรุงปี พังงาและตรัง) ในขณะที่ มีความสัมพันธ์เชิงบวกกับอนุกรมผลผลิตยางพาราในฝั่งอันดามัน (นครศรีธรรมราช สุราษฎร์ธานี พัทลุงและสงขลา) (รูปที่ 4.29-4.35) ซึ่งลักษณะความสัมพันธ์ที่แตกต่างดังกล่าว อาจสะท้อนให้เห็นถึงอิทธิพลของระบบมรสุมเอเชียที่ส่งผลแตกต่างกันทั้งสองฝั่งดังปรากฏในรูปแบบเชิงพื้นที่ของฝน ความชื้นสัมพัทธ์และความเร็วลม หากพิจารณาในรายละเอียดของสัดส่วนความแปรปรวนของแต่ละตัวแปรภูมิอากาศที่เป็นองค์ประกอบร่วมใน Time-varying amplitude ของ EOF โนมดที่ 2 แล้ว พบว่า อุณหภูมิความเร็วลมและความชื้นสัมพัทธ์ เป็นตัวแปรที่มีสัดส่วนความแปรปรวนร่วมสูงกว่าตัวแปรอื่น (รูปที่ 4.29-4.35) ดังนั้น ผลการศึกษาในส่วนสนับสนุนข้อสมมุติฐานข้างต้น ซึ่งแสดงความสัมพันธ์เชิงช้อนในลักษณะ Non-linear ที่ความสัมพันธ์ระหว่างผลผลิตยางพาราในรอบปีและตัวแปรภูมิอากาศ ควรพิจารณาในบริบทความแปรปรวนร่วมของหลายตัวแปรในระดับ Second order ที่มักซ่อนความสัมพันธ์อยู่ภายใต้ความแปรปรวนที่ได้เด่นในระดับ First order ของข้อมูลทั้งสองอนุกรม



รูปที่ 4.28 ความแปรปรวนในรอบปีเฉลี่ยของผลผลิตยางพารา (กิโลกรัมผลผลิตยางพาราต่อพื้นที่เปิดกรีด 1 ไร่) โดยผลผลิตยางพาราในแต่ละเดือน เป็นค่าเฉลี่ยที่คำนวณจากข้อมูลรายเดือนในช่วงตั้งแต่ 2005 ถึง 2010



รูปที่ 4.28 (ต่อ)

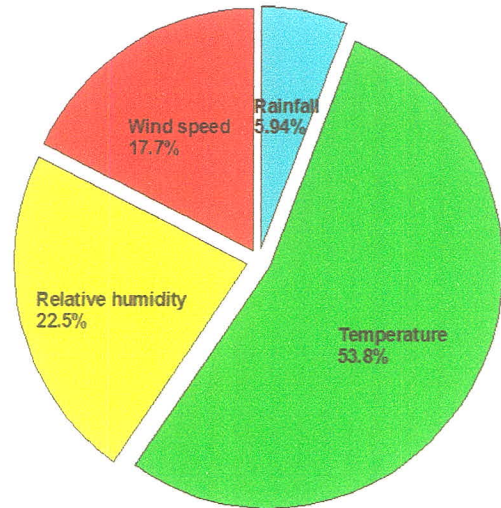
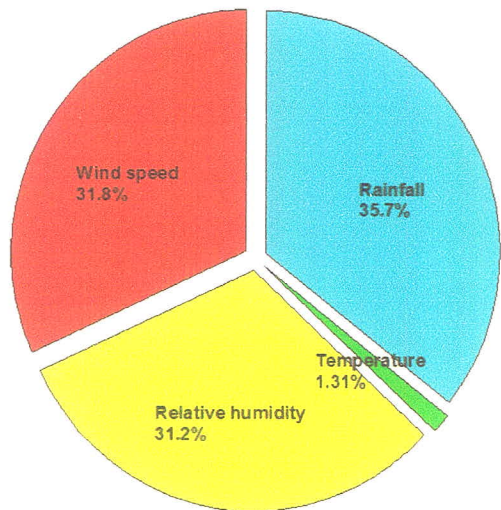
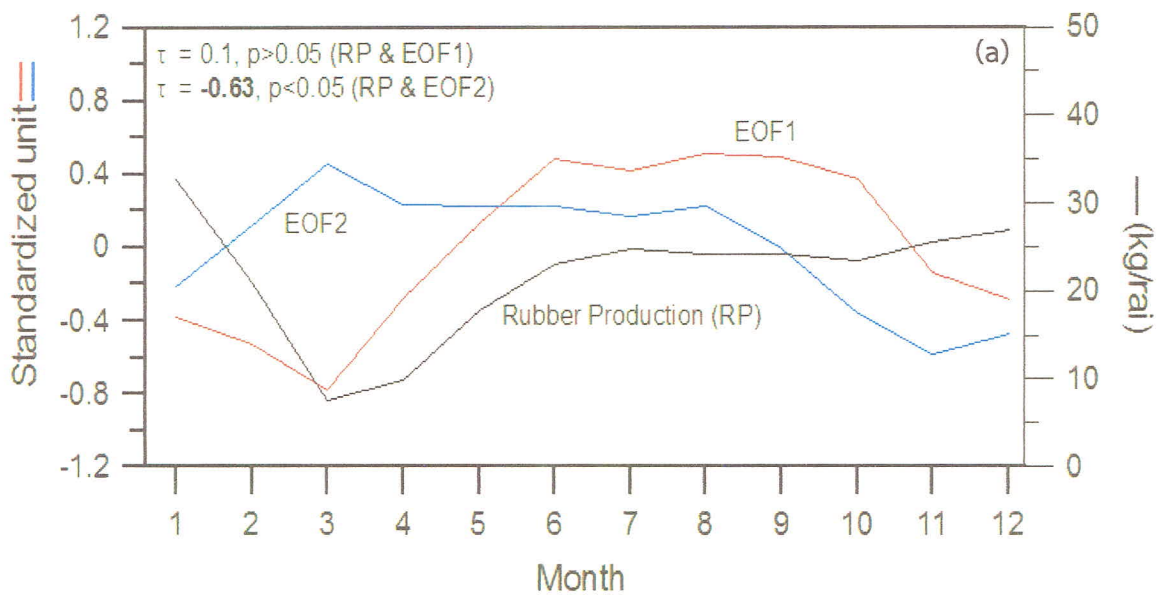


รูปที่ 4.28 (ต่อ)

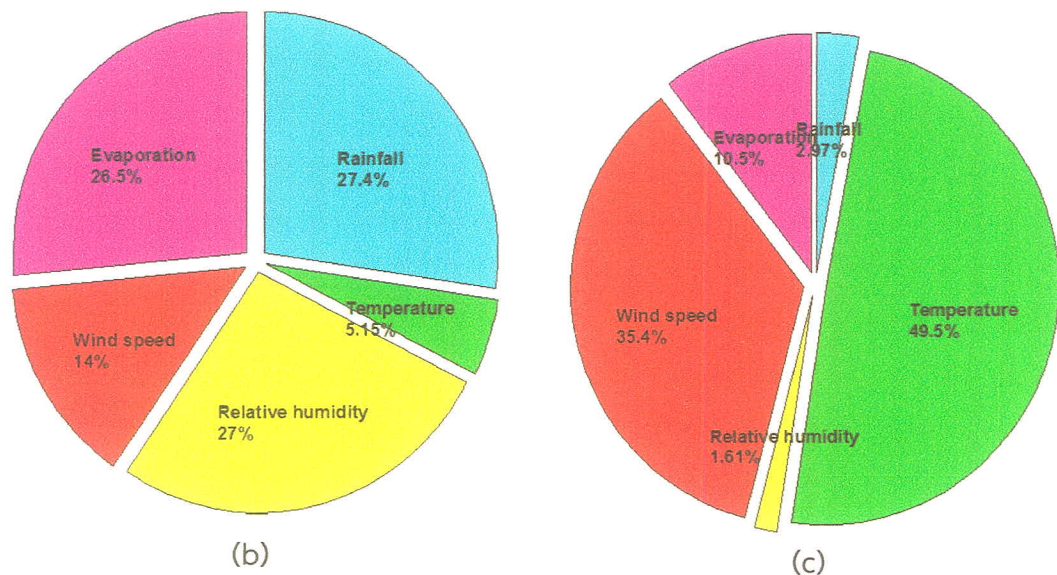
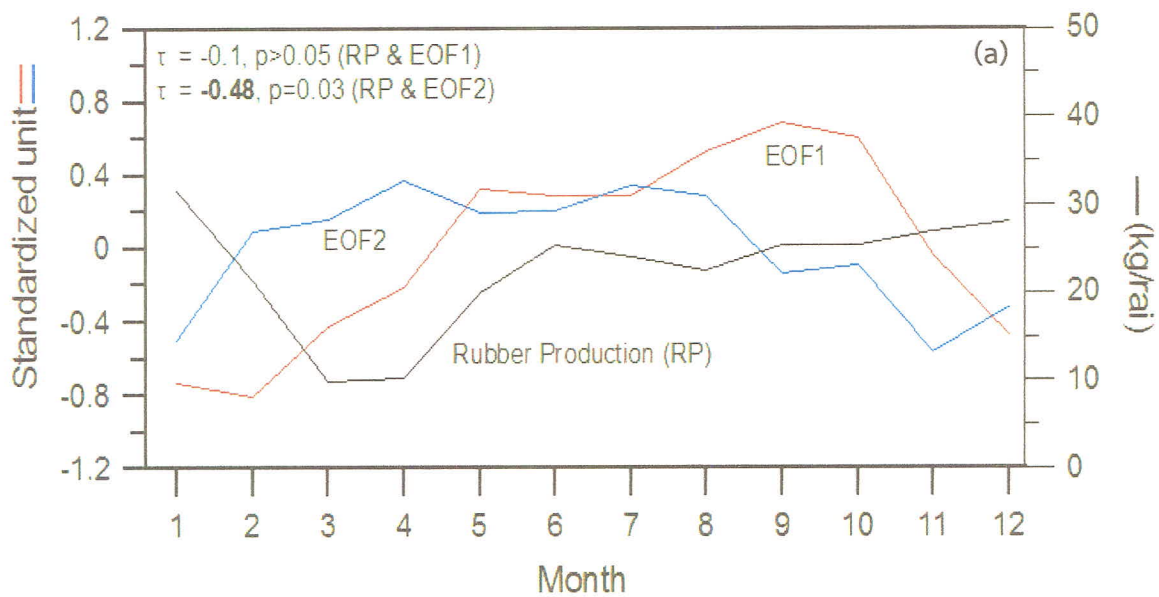
ตารางที่ 4.9 ค่าสัมประสิทธิ์ของ Kendall Tau correlation (τ) ของอนุกรมข้อมูลในรอบปีเฉลี่ยระหว่างผลผลิตยางพาราของแต่ละจังหวัดและตัวแปรภูมิอากาศในแต่ละสถานีในจังหวัดนั้นๆ โดยผลผลิตยางพาราในแต่ละเดือน เป็นค่าเฉลี่ยที่คำนวณจากข้อมูลรายเดือนในช่วงตั้งแต่ 2005 ถึง 2010

ผลผลิตของยางพาราในจังหวัด	อุณหภูมิเฉลี่ย	ฝน	ความเร็วลม	ความชื้นสัมพันธ์	อัตราการระเหยของน้ำ
1. พังงา ($n=12$)	-0.58	-0.10	0.02	-0.03	-0.01
2. กระปี ($n=12$)	-0.70	-0.10	0.15	0.1	-
3. ตรัง ($n=12$)	-0.21	-0.12	0.27	-0.1	0.06
4. นครศรีธรรมราช ($n=12$)	-0.30	0.00	0.29	-0.03	-0.21
5. สุราษฎร์ธานี ($n=12$)	-0.58	-0.18	0.35	0.06	0.41
6. พัทลุง ($n=12$)	-0.21	-0.30	0.48	0.07	-0.08
7. สงขลา ($n=12$)	-0.24	-0.15	0.47	-0.30	0.03

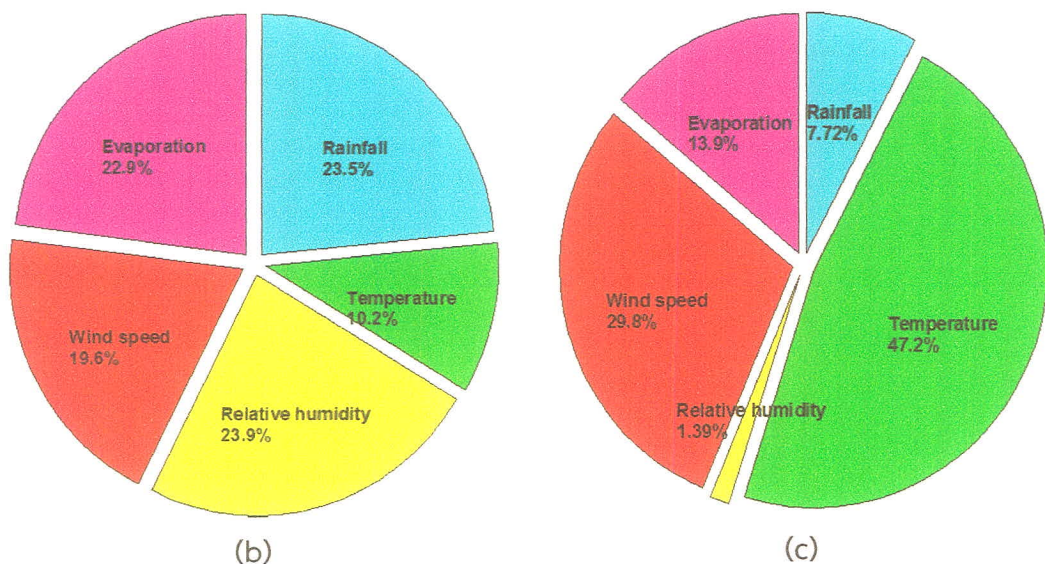
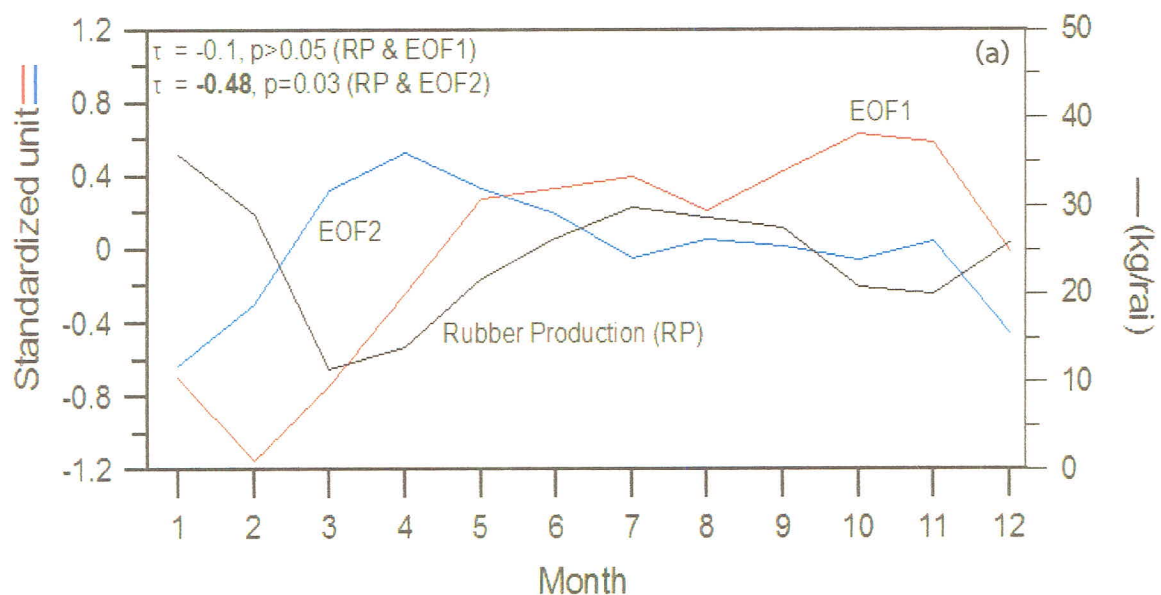
หมายเหตุ: เลขตัวหนาแสดงค่า τ ที่มีนัยสำคัญทางสถิติที่ระดับความเชื่อมั่นที่ 95% ส่วนตัวเลขธรรมดา แสดงค่า τ ไม่มีนัยสำคัญทางสถิติ



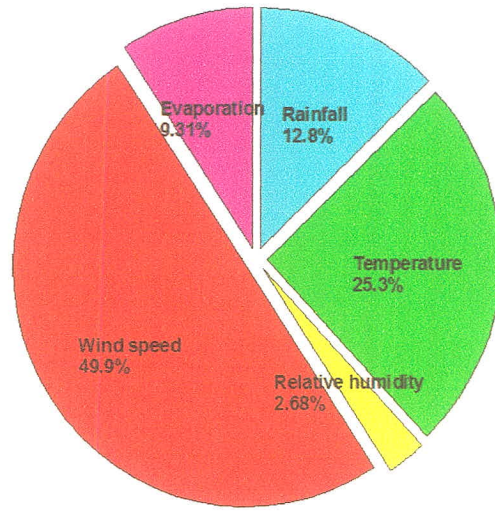
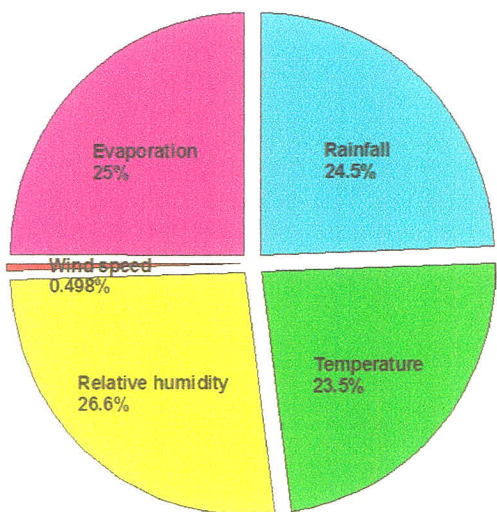
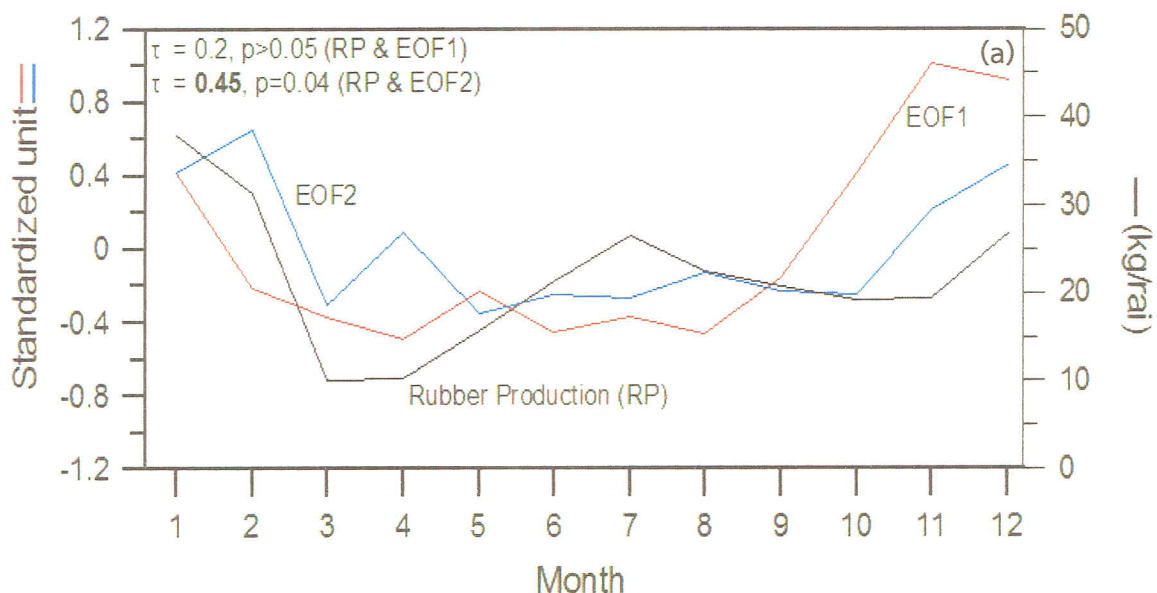
รูปที่ 4.29 (a) แสดงความสัมพันธ์ระหว่างความแปรปรวนในรอบปีของผลผลิตยางพาราของจังหวัดกรุงบีและ time-varying amplitude ของ EOF โหนดที่ 1 และ 2 ที่คำนวณจากตัวแปรภูมิอากาศ 5 ตัวแรกของสถานีผู้พื้นในจังหวัดเดียวกัน ส่วน (b) และ (c) แสดงสัดส่วนความแปรปรวนของแต่ละตัวแปรภูมิอากาศที่เป็นองค์ประกอบร่วมใน time-varying amplitude ของ EOF โหนดที่ 1 และ 2 ตามลำดับ



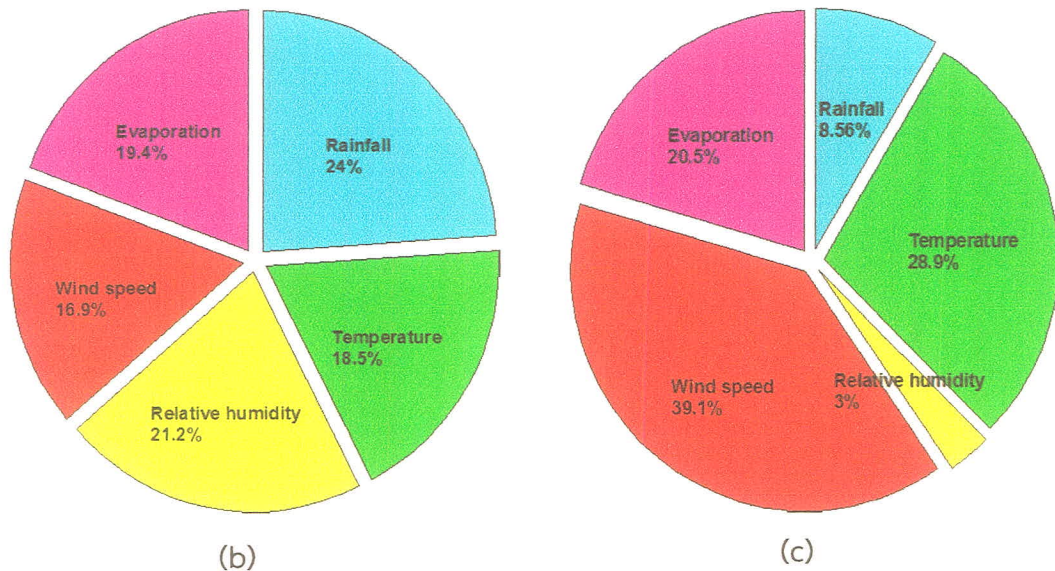
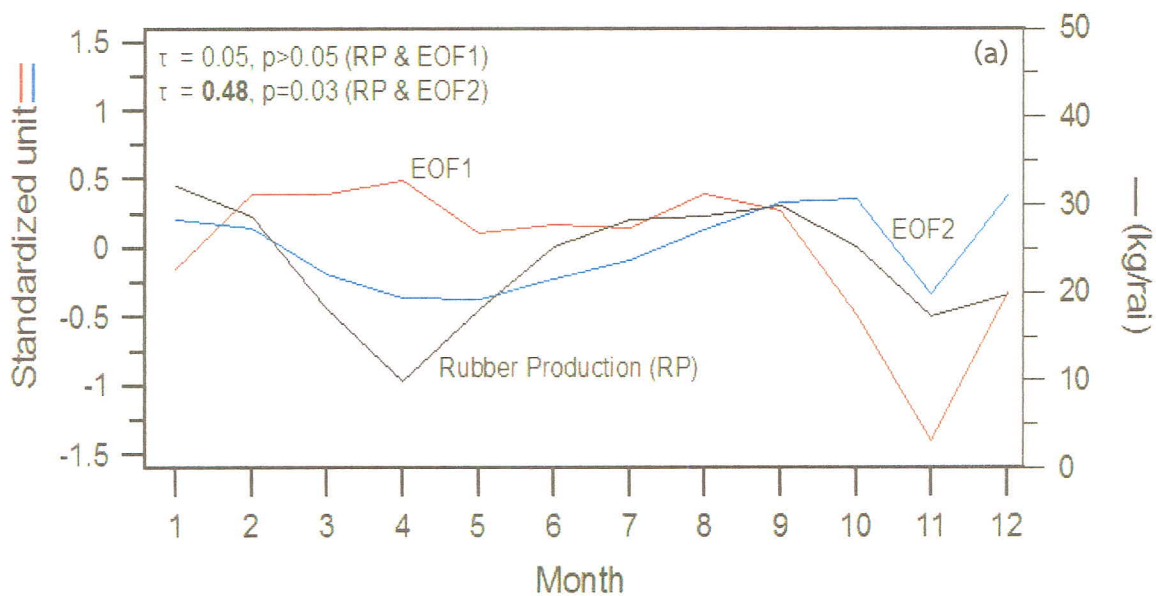
รูปที่ 4.30 เช่นเดียวกันกับรูปที่ 4.31 แต่สำหรับจังหวัดพังงา



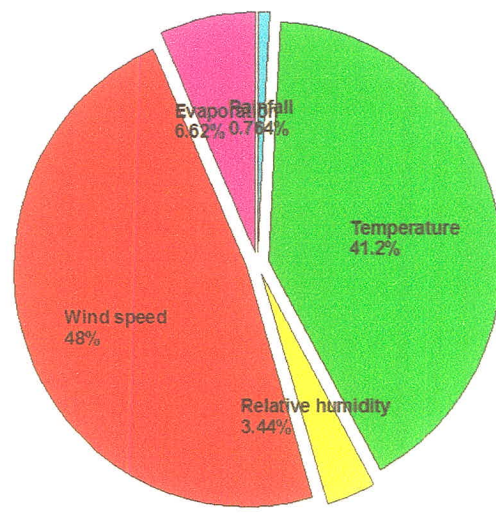
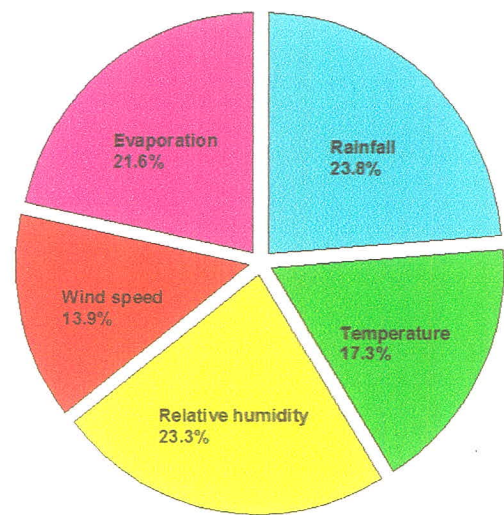
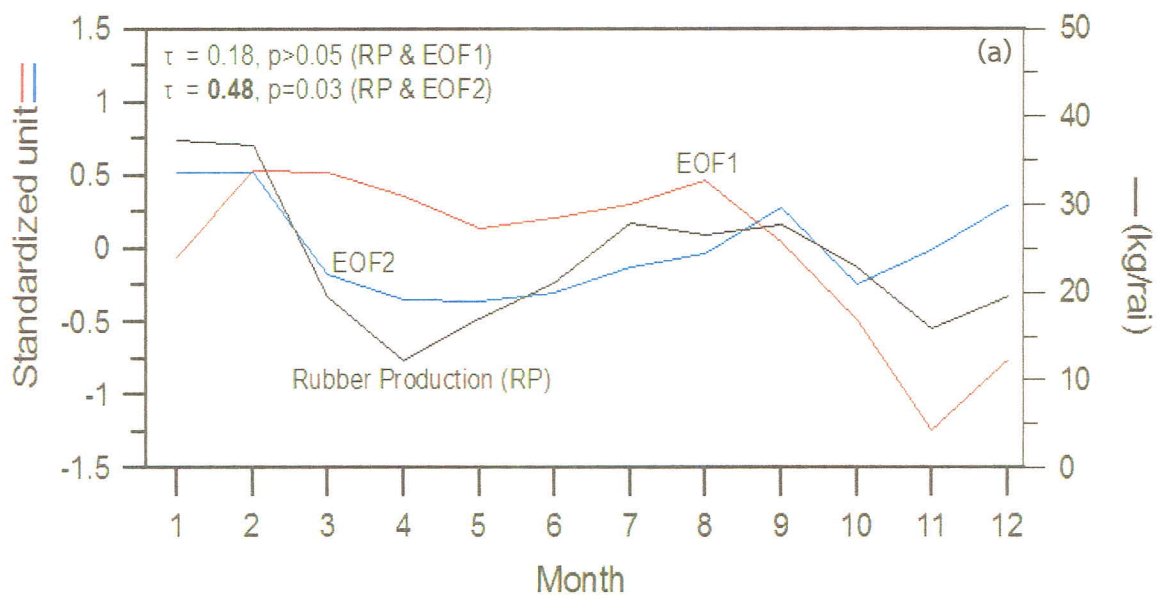
รูปที่ 4.31 เช่นเดียวกันกับรูปที่ 4.1.31 แต่สำหรับจังหวัดตรัง



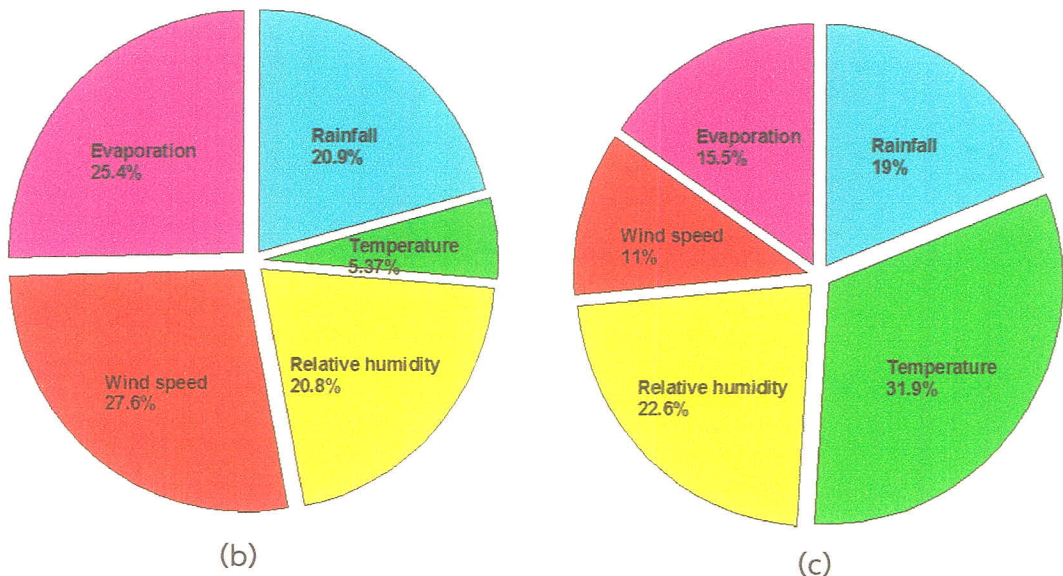
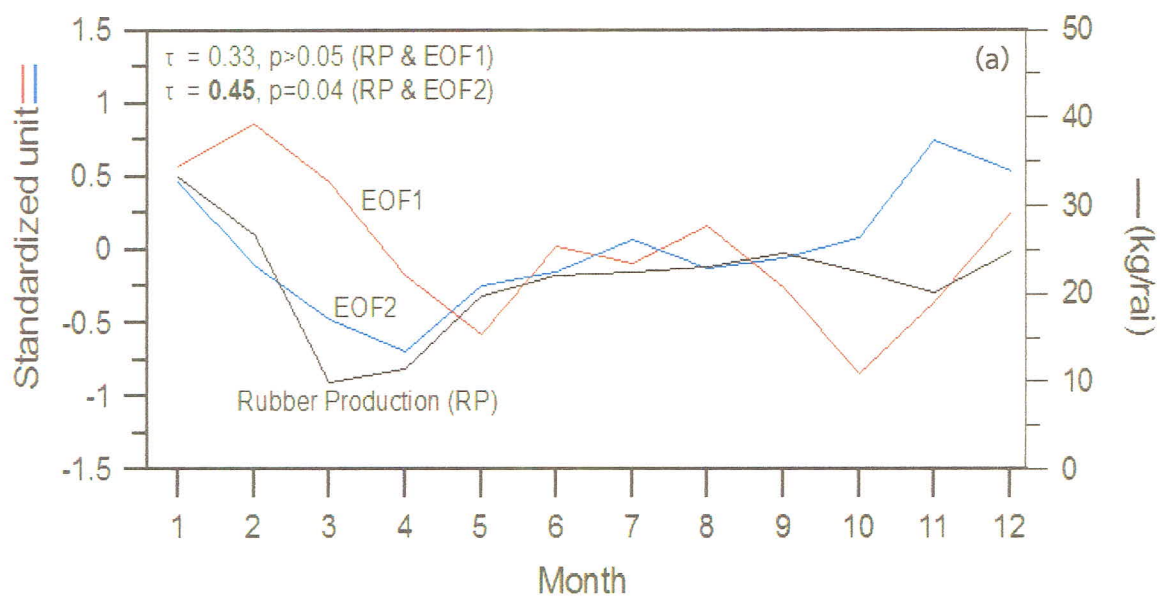
รูปที่ 4.32 เช่นเดียวกันกับรูปที่ 4.31 แต่สำหรับจังหวัดนครศรีธรรมราช



รูปที่ 4.33 เช่นเดียวกันกับรูปที่ 4.1.31 แต่สำหรับจังหวัดพัทลุง



รูปที่ 4.34 เช่นเดียวกันกับรูปที่ 4.1.31 แต่สำหรับจังหวัดสงขลา



รูปที่ 4.35 เช่นเดียวกันกับรูปที่ 4.1.31 แต่สำหรับจังหวัดสุราษฎร์ธานี

4.1.7 ความสัมพันธ์ของ Variance ในรอบปีระหว่างผลผลิตยางพาราและตัวแปรภูมิอากาศ

เพื่อหาความสัมพันธ์เพิ่มเติมที่อาจจะปรากฏในระดับ Second order moment ระหว่างยางพารา และภูมิอากาศ อนุกรม Variance ในรอบปีของผลผลิตยางพาราของแต่ละจังหวัด ซึ่งเป็นค่า Variance ที่คำนวณจากข้อมูลรายเดือนตั้งแต่ปี ค.ศ. 2005 ถึง 2010 ได้นำมาวิเคราะห์ความสัมพันธ์กับอนุกรม Variance เฉลี่ยรายเดือนของอุณหภูมิเฉลี่ย ฝน ความชื้นสัมพันธ์และความเร็วลม ในช่วงเวลาเดียวกัน (2005-2010) จากสถานีตรวจวัดผู้พื้นในจังหวัดนั้นๆ โดยการวิเคราะห์ มีขั้นตอนเหมือนกับการวิเคราะห์ ความสัมพันธ์ระหว่างความแปรปรวนในรอบปีระหว่างค่าเฉลี่ยของผลผลิตยางพาราและตัวแปรภูมิอากาศ ซึ่งขั้นแรกของการวิเคราะห์ เป็นการหาความสัมพันธ์ของอนุกรม Variance ของข้อมูลรอบปีระหว่างผลผลิต ยางพาราและอนุกรม Variance ของตัวแปรภูมิอากาศแต่ละตัวแปรอย่างตรงไปตรงมาและแยกจากกัน ตามลำดับ แล้วพิจารณาถึงระดับความสัมพันธ์กับตัวแปรนั้นๆ ผลการวิเคราะห์ด้วยเทคนิดังกล่าว ดังแสดงในตารางที่ 4.10 พบว่าเทคนิค Bivariate correlation ไม่สามารถแสดงความสัมพันธ์ในระดับ Second order moment ในรูป Variance ของผลผลิตยางพาราและตัวแปรภูมิอากาศในรอบปีในแต่ละสถานีได้อย่างชัดเจน โดย Variance ของอุณหภูมิเฉลี่ยและความชื้นสัมพันธ์ที่สถานีพังงาและ Variance ของความเร็วลมที่สถานีสุราษฎร์ธานีเท่านั้น ที่แสดงความสัมพันธ์อย่างมีนัยสำคัญทางสถิติกับ Variance ของผลผลิตยางพารา ส่วน Variance ของตัวแปรภูมิอากาศอื่น ไม่มีความสัมพันธ์อย่างมีนัยสำคัญกับ Variance ของผลผลิตยางพารา (ตารางที่ 4.10) จากผลการวิเคราะห์ความสัมพันธ์ในเบื้องต้น เป็นไปได้ว่า ความสัมพันธ์ในระดับ Second order moment ของผลผลิตยางพารา อาจมีลักษณะความสัมพันธ์แบบเชิงร่วมระหว่าง Variance ของตัว แปรภูมิอากาศหลายตัวแปร เพื่อพิสูจน์ข้อสันนิฐานดังกล่าวข้างต้น จึงได้ทำการวิเคราะห์ข้อมูลใหม่ โดยขั้น แรก เป็นการหาความสัมพันธ์เชิงร่วมของ Variance ของตัวแปรภูมิอากาศ 4 ตัวแปรในแต่ละสถานี ด้วย เทคนิค EOF ซึ่งเป็นเทคนิค Multivariate correlation ทั้งนี้ ค่า Eigenvector จะบอกสัดส่วนความ แปรปรวนของแต่ละตัวแปรภูมิอากาศใน EOF โหนดต่างๆ เมื่อทำการวิเคราะห์ EOF ของ Variance ของ ข้อมูลตัวแปรภูมิอากาศทั้ง 4 ตัวแปรแล้ว จึงพิจารณาความสัมพันธ์ระหว่างอนุกรม Variance ของผลผลิตของ ยางพาราและอนุกรม Time-varying amplitude ใน EOF โหนดที่ 1 และ 2 ซึ่งเป็นความแปรปรวนร่วมส่วน ใหญ่ในรอบปีของตัวแปรภูมิอากาศทั้ง 4 ตัวแปร

ตารางที่ 4.11 สรุปผลการวิเคราะห์ EOF ในโหนดที่ 1 ของ Variance ของตัวแปรภูมิอากาศ 4 ตัว แปรในแต่ละสถานี และสัมประสิทธิ์ Kendall Tau correlation ระหว่างอนุกรม Variance ในรอบปีของ ผลผลิตยางพาราของแต่ละจังหวัดและ Time-varying amplitude ของ EOF โหนดที่ 1 ที่คำนวณจากตัวแปร ภูมิอากาศ 4 ตัวแปรของสถานีผู้พื้นในจังหวัดเดียวกัน รวมทั้งสัดส่วนความแปรปรวนของแต่ละตัวแปร ภูมิอากาศที่เป็นองค์ประกอบร่วมใน Time-varying amplitude ของ EOF โหนดที่ 1 ผลการวิเคราะห์ พบว่า ความแปรปรวนร่วมที่ได้เด่นใน EOF โหนดที่ 1 ซึ่งสามารถอธิบายความแปรปรวนได้ตั้งแต่ 62.0% ถึง 85.0% ของความแปรปรวนทั้งหมด มีความสัมพันธ์อย่างมีนัยสำคัญทางสถิติในระดับความเข้มนั้น 95% กับ อนุกรม Variance ของผลผลิตยางพาราในรอบปีของทุกจังหวัด โดยสัมประสิทธิ์ Kendall Tau correlation มีค่าตั้งแต่ -0.64 ถึง 0.68 เป็นที่น่าสังเกตว่า อนุกรม Time-varying amplitude ของ EOF โหนดที่ 1 มี ความสัมพันธ์เชิงลบกับอนุกรม Variance ของผลผลิตยางพาราในรอบปีในฝั่งอันดามัน (กระบี่ พังงาและตรัง) ในขณะที่ มีความสัมพันธ์เชิงบวกกับอนุกรม Variance ของผลผลิตยางพาราในรอบปีในฝั่งอันดามัน (นครศรีธรรมราช สุราษฎร์ธานี พัทลุงและสงขลา) ลักษณะความสัมพันธ์ที่แตกต่างดังกล่าว คล้ายคลึงกับ

ความสัมพันธ์ที่ปรากฏระหว่างอนุกรม Time-varying amplitude ของ EOF โหมดที่ 2 ที่คำนวณจากค่าเฉลี่ยในรอบปีของตัวแปรภูมิอากาศ 5 ตัวแปร และค่าเฉลี่ยรายเดือนของผลิตยางพาราใน 7 จังหวัดภาคใต้ ซึ่งสะท้อนให้เห็นถึงอิทธิพลของระบบมรสุมเอเชียที่ส่งผลกระทบต่างกันทั้งสองฝั่งดังปรากฏในรูปแบบเชิงพื้นที่ของฝน ความชื้นสัมพัทธ์และความเร็วลม หากพิจารณาในรายละเอียดของสัดส่วนความแปรปรวนของแต่ละตัวแปรภูมิอากาศที่เป็นองค์ประกอบร่วมใน Time-varying amplitude ของ EOF โหมดที่ 1 แล้ว พบว่า ตัวแปรภูมิอากาศทั้ง 4 ตัวแปร มีสัดส่วนความแปรปรวนร่วมใกล้เคียงกัน (ตารางที่ 4.11) ดังนั้น อาจกล่าวได้ว่า ความแปรปรวนในรอบปีของผลผลิตยางพาราในบริเวณพื้นที่ 7 จังหวัดภาคใต้ มีความสัมพันธ์กับตัวแปรภูมิอากาศทั้งในระดับ First order (ค่าเฉลี่ย) และ Second order (variance) ซึ่งความสัมพันธ์ มีลักษณะเชิงซ้อน โดยความแปรปรวนร่วมระหว่างตัวแปรภูมิอากาศเป็นปัจจัยกำหนดระดับความสัมพันธ์ดังกล่าว

ตารางที่ 4.10 แสดงค่าสัมประสิทธิ์ของ Kendall Tau correlation (τ) ของอนุกรม Variance ในรอบปีของผลผลิตยางพาราในแต่ละจังหวัดและตัวแปรภูมิอากาศในแต่ละสถานีในจังหวัดนั้นๆ โดย Variance ของผลผลิตยางพาราและตัวแปรภูมิอากาศในแต่ละเดือน เป็นค่าเฉลี่ยที่คำนวณจากข้อมูลรายเดือนในช่วงตั้งแต่ 2005 ถึง 2010

ผลผลิตของยางพาราในจังหวัด	อุณหภูมิเฉลี่ย	ฝน	ความเร็วลม	ความชื้นสัมพันธ์
1. พังงา (n=12)	0.67	-0.56	-0.49	0.63
2. กระบี่ (n=12)	0.51	-0.55	-0.54	0.51
3. ตรัง (n=12)	0.50	-0.52	0.48	0.40
4. นครศรีธรรมราช (n=12)	0.42	-0.08	0.56	0.10
5. สุราษฎร์ธานี (n=12)	0.53	-0.33	0.73	0.34
6. พัทลุง (n=12)	-0.38	-0.14	-0.35	-0.33
7. สงขลา (n=12)	0.50	-0.24	0.45	0.27

หมายเหตุ: เลขตัวหนาแสดงค่า τ ที่มีนัยสำคัญทางสถิติที่ระดับความเชื่อมั่นที่ 95% ส่วนตัวเลขธรรมดา แสดงค่า τ ไม่มีนัยสำคัญทางสถิติ

ตารางที่ 4.11 แสดงผลการวิเคราะห์ EOF ในโหนดที่ 1 ของ Variance ของตัวแปรภูมิอากาศ 4 ตัวแปรในแต่ละสถานี และสัมประสิทธิ์ Kendall Tau correlation ระหว่างองุนกรรม Variance ในรอบปีของผลผลิตยางพาราของแต่ละจังหวัดและ Time-varying amplitude ของ EOF โหนดที่ 1 ที่คำนวณจากตัวแปรภูมิอากาศ 4 ตัวแปรของสถานีผู้พื้นในจังหวัดเดียวกัน

จังหวัด	สัดส่วนความแปรปรวนที่สามารถอธิบายได้ (%)	สัดส่วนความแปรปรวนที่เป็นองค์ประกอบร่วมใน EOF โหนดที่ 1 (%)				ค่าสัมประสิทธิ์ของ Kendall Tau correlation (τ)
		อุณหภูมิ	ฝน	ความชื้นสัมพัทธ์	ความเร็วลม	
1. พังงา	85.0	25.1	24.6	26.4	24.1	-0.64
2. กระปี	84.7	24.2	24.6	26.3	25.0	-0.59
3. ตรัง	79.3	25.6	22.4	26.2	25.9	-0.64
4. นครศรีธรรมราช	62.0	32.8	28.5	33.4	5.3	0.59
5. สุราษฎร์ธานี	69.9	28.5	21.9	27.8	21.9	0.62
6. พัทลุง	74.4	25.9	22.6	27.0	24.5	0.60
7. สงขลา	81.5	25.4	24.5	26.8	23.3	0.68

หมายเหตุ: เลขตัวหนาแสดงค่า τ ที่มีนัยสำคัญทางสถิติที่ระดับความเชื่อมั่นที่ 95% ส่วนตัวเลขธรรมดา แสดงค่า τ ไม่มีนัยสำคัญทางสถิติ

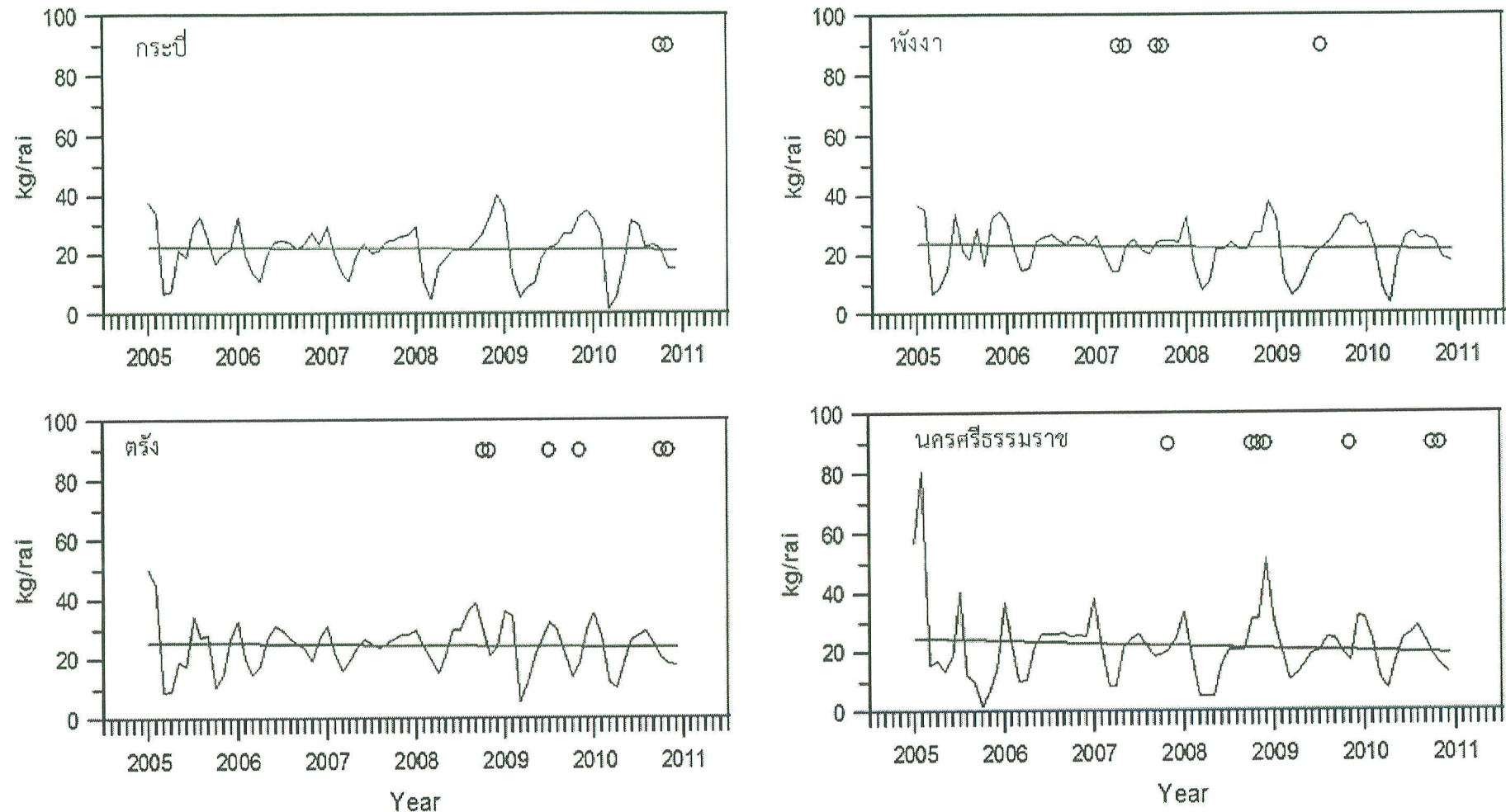
4.1.8 ความแปรปรวนระหว่างถุกกาลและระหว่างปีของผลผลิตยางพาราในภาคใต้และความสัมพันธ์

กับความผันแปรของโภมภูมิอากาศ

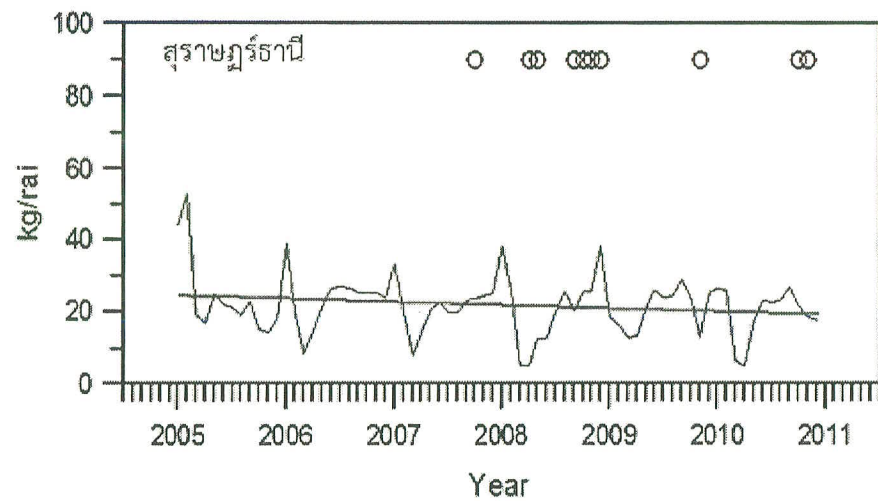
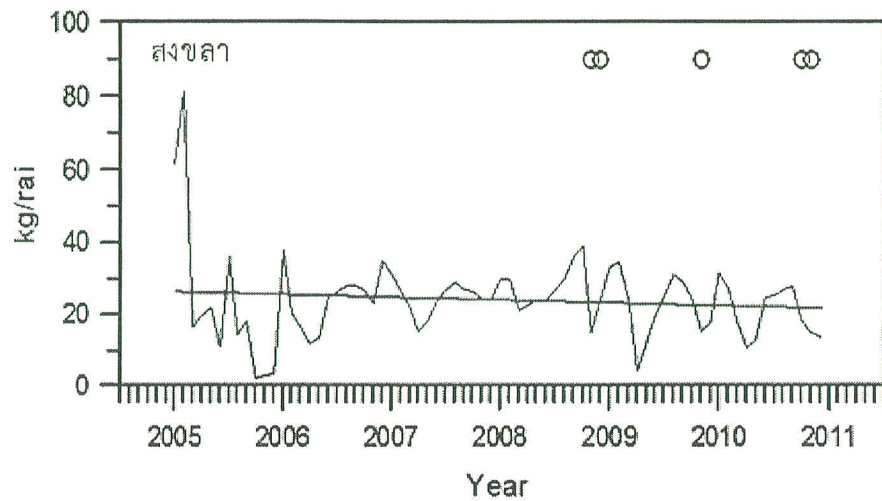
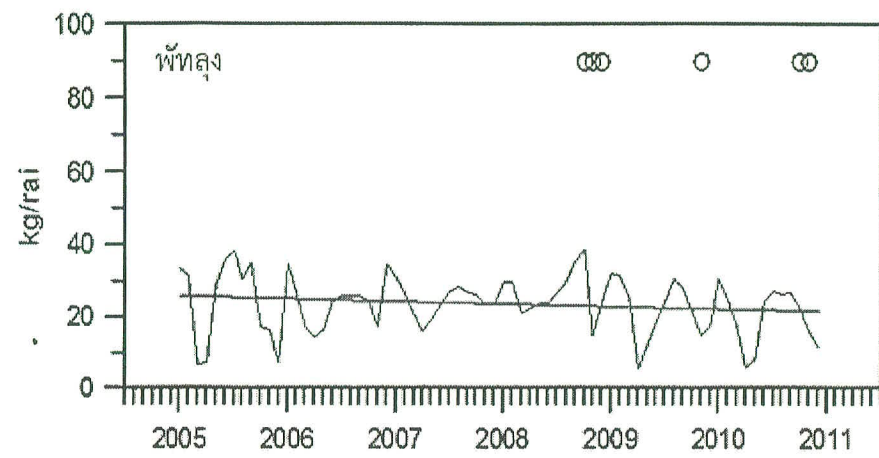
รูปที่ 4.36 แสดงความแปรปรวนระหว่างถุกกาลและระหว่างปีของผลผลิตยางพาราในแต่ละจังหวัด และค่าเฉลี่ยสำหรับผู้อันดามัน ฝั่งอ่าวไทยและทุกจังหวัด ในช่วงปี ค.ศ. 2005-2010 จากการสังเกต พบว่า อนุกรมข้อมูลผลผลิตยางพาราในช่วงตั้งกล่าว ส่วนใหญ่เป็นความแปรปรวนตามถุกกาลและระหว่างปี โดย แนวโน้มการเปลี่ยนแปลงเชิงเส้นตรงในแต่ลดลงหรือเพิ่มขึ้นอย่างต่อเนื่องไม่ปรากฏชัดเจน เนื่องจากอนุกรม ข้อมูลมีช่วงระยะเวลาที่ค่อนข้างสั้น โดยอนุกรมข้อมูลความแปรปรวนของผลผลิตยางพาราในแต่ละจังหวัด มี ลักษณะที่คล้ายคลึงกัน ดังปรากฏจากแต่ละอนุกรมข้อมูลมีความสัมพันธ์ซึ่งกันและกัน อย่างมีนัยสำคัญทาง สถิติในระดับความเชื่อมั่นที่มากกว่า 95% (τ มีค่าอยู่ในช่วง 0.21 ถึง 0.70) (ตารางที่ 4.12) เมื่อพิจารณา ลักษณะความแปรปรวนระหว่างผู้อันดามันและฝั่งอ่าวไทยในเชิงเปรียบเทียบ พบร้า ความแปรปรวนตาม ถุกกาลและระหว่างปีของผลผลิตยางพาราทั้งสองฝั่ง มีรูปแบบที่คล้ายคลึงกันและอัตราผลผลิตโดยเฉลี่ย อยู่ ในช่วงที่สามารถเปรียบเทียบกันได้ รูปที่ 4.37 แสดงความแปรปรวนของผลผลิตยางพาราตามรายไตรมาสซึ่ง เป็นค่าเฉลี่ยรายสามเดือน เช่นเดียวกันกับอนุกรมรายเดือนในรูปที่ 4.36 แนวโน้มการเปลี่ยนแปลงเพิ่มขึ้นหรือ ลดลงเชิงเส้นตรงอย่างต่อเนื่อง ไม่ปรากฏชัดเจนในอนุกรมข้อมูลผลผลิตยางพารารายไตรมาส ผลการวิเคราะห์ ความสัมพันธ์ระหว่างอนุกรมรายเดือนของผลผลิตยางพาราเฉลี่ยในพื้นที่ 7 จังหวัดภาคใต้ กับดัชนี ปราภูภารณ์อีนโซ (ดัชนี SOI) ในช่วงระยะเวลา ค.ศ. 2005-2010 พบร้า ความแปรปรวนของผลผลิต ยางพาราระหว่างถุกกาลและระหว่างปี มีความสัมพันธ์อย่างมีนัยสำคัญกับปราภูภารณ์ (-0.30, $p=0.01$, $n=72$) (รูปที่ 4.1.38) กล่าวคือ ผลผลิตยางพาราในภาพรวมของ 7 จังหวัดภาคใต้ มีแนวโน้มสูงกว่า ปกติในช่วงเดือนที่เกิดเหตุการณ์ El Niño ทั้งนี้อาจเกิดจากปริมาณฝนและความชื้นสัมพันธ์ รวมทั้งความเร็ว ลม ที่ต่ำกว่าปกติในช่วงเหตุการณ์ El Niño ส่งผลให้สภาพภูมิอากาศที่เหมาะสมต่อผลผลิตของยางพารา ประกอบกับจำนวนวันที่สามารถกรีดยางเพิ่มขึ้นในช่วงเหตุการณ์ดังกล่าว ในขณะที่ ผลผลิตยางพาราใน ภาพรวมของ 7 จังหวัดภาคใต้ มีแนวโน้มลดลงในช่วงเดือนที่เกิดเหตุการณ์ La Niña สืบเนื่องจากเกิดฝนตกชุด และความชื้นของอากาศเพิ่มขึ้นในช่วงเหตุการณ์ดังกล่าว ซึ่งเป็นสภาพที่ไม่เหมาะสมต่อผลผลิตของยาง รวมทั้งส่งผลต่อจำนวนวันที่สามารถกรีดยางได้ อย่างไรก็ตาม เมื่อวิเคราะห์ความสัมพันธ์ระหว่างผลผลิตของ ยางพาราและดัชนี SOI ตามรายไตรมาส (ค่าเฉลี่ยราย 3 เดือน) ไม่พบความสัมพันธ์ที่มีนัยสำคัญทางสถิติที่ ระดับความเชื่อมั่น 95% ซึ่งอาจเป็นไปได้ว่า ปราภูภารณ์อีนโซส่งผลต่อผลผลิตของยางพารา ผ่านการ เปลี่ยนแปลงของตัวแปรภูมิอากาศต่างๆ ในระดับ Micro climate ที่มี Window หรือค่าบเวลาอย่างกว่า 3 เดือน

ผลการวิเคราะห์ข้อมูลผลผลิตยางพาราร่วมรายปีในพื้นที่ 7 จังหวัดภาคใต้ตอนล่างเพิ่มเติม ซึ่ง อนุกรมข้อมูลมีระยะเวลา 10 ปีตั้งแต่ ปี ค.ศ. 2000-2010 ยังได้แสดงความแปรปรวนระหว่างปีที่ชัดเจน ซึ่ง ค่อนข้างสอดคล้องกับรูปแบบที่ปราภูในอนุกรมข้อมูลรายเดือนและรายสามเดือน โดยตั้งแต่ ค.ศ. 2000 ผลผลิตยางพาราร่วมรายปีในพื้นที่ 7 จังหวัดภาคใต้ตอนล่าง มีแนวโน้มเพิ่มขึ้น แต่กลับลดลงหลังปี ค.ศ. 2008 (รูปที่ 4.39) ทั้งนี้ อนุกรมข้อมูลรายปี ได้บ่งชี้ถึงความสัมพันธ์ระหว่างความแปรปรวนระหว่างปีของผลผลิต ยางพารากับปราภูภารณ์อีนโซข้างต้น โดยผลผลิตยางพารารายปีในพื้นที่ 7 จังหวัดภาคใต้ตอนล่าง มี ความสัมพันธ์เชิงลบอย่างมีนัยสำคัญทางสถิติกับดัชนี SOI เฉลี่ยรายปี (รูปที่ 4.40) เช่นเดียวกับผลผลิตราย เดือนที่นำเสนอในรูป 4.38 ทั้งนี้ ผลการวิเคราะห์ Composite เพิ่มเติมซึ่งแสดงในรูปของ Box plot เพื่อ เปรียบเทียบผลผลิตยางพาราร่วมรายปีในพื้นที่ 7 จังหวัดภาคใต้ในระหว่างปี 2000-2010 สำหรับปีที่เกิด

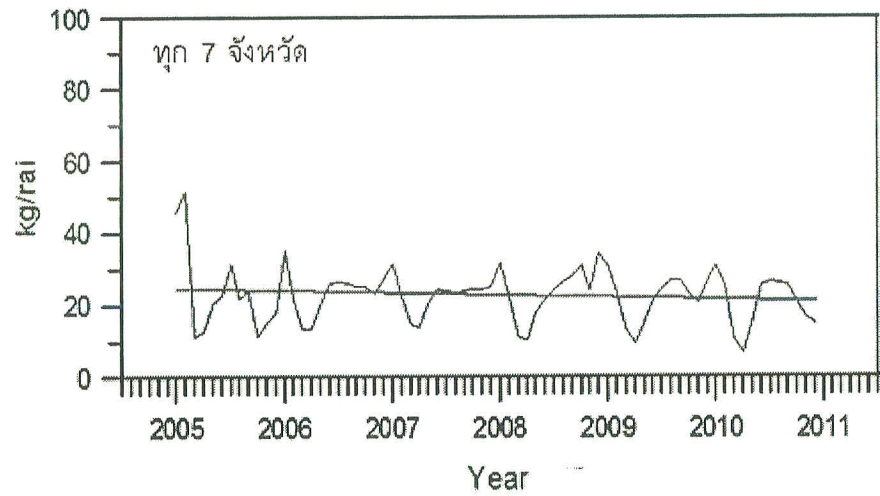
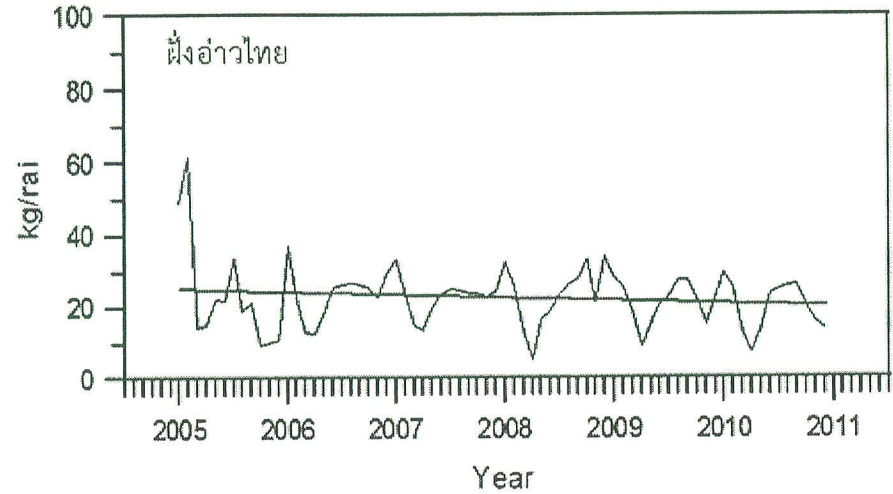
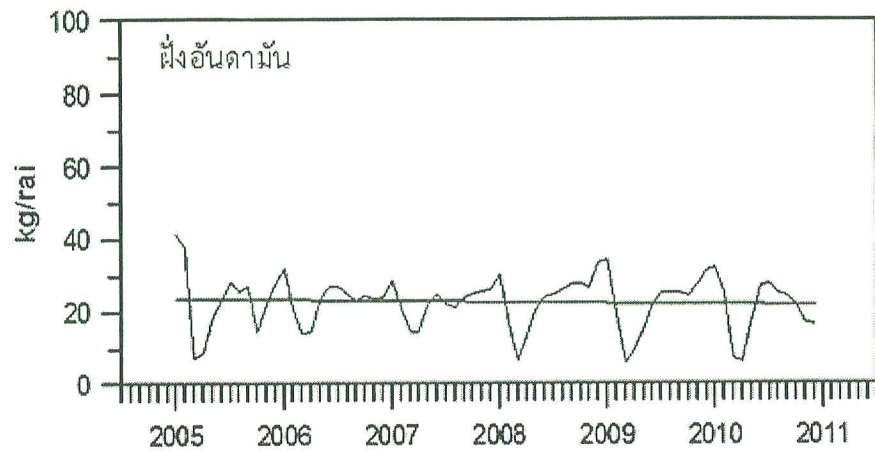
เหตุการณ์ El Niño และเหตุการณ์ La Niña โดยปีที่เกิดเหตุการณ์ El Niño และเหตุการณ์ La Niña นิยามบนพื้นที่ฐานของดัชนี SOI ที่มีค่า $\pm 1SD$ (รูปที่ 4.41) ให้ผลที่ค่อนข้างสอดคล้องกับผลดังกล่าวข้างต้นที่แสดงถึงผลผลิตยางพารามีแนวโน้มสูงกว่าปกติในปีที่เกิดเหตุการณ์ El Niño เมื่อเปรียบเทียบกับผลผลิตในปีที่เกิดเหตุการณ์ La Niña นอกจากนี้ ผลผลิตยางพารารวมรายปีในพื้นที่ 7 จังหวัดภาคใต้ตอนล่าง มีความสัมพันธ์เชิงลบอย่างมีนัยสำคัญทางสถิติที่ระดับความเชื่อมั่น 95% กับดัชนีสภาวะความรุนแรงของฝนในรูปจำนวนวันฝนตกร่วมรายปี (รูปที่ 4.42) และดัชนีความแรงของฝนอย่างง่าย (รูปที่ 4.43) ความสัมพันธ์ดังกล่าว แสดงถึงยางพารา มีผลผลิตที่สูงกว่าปกติในปีที่จำนวนวันฝนตกร่วมรายปีน้อยกว่าปกติหรือปีที่มีความแรงของฝนน้อยกว่าปกติ แต่ผลผลิตยางพารา กลับลดลงในปีที่มีวันฝนตกมากกว่าปกติหรือปีที่มีความแรงของฝนเพิ่มขึ้น



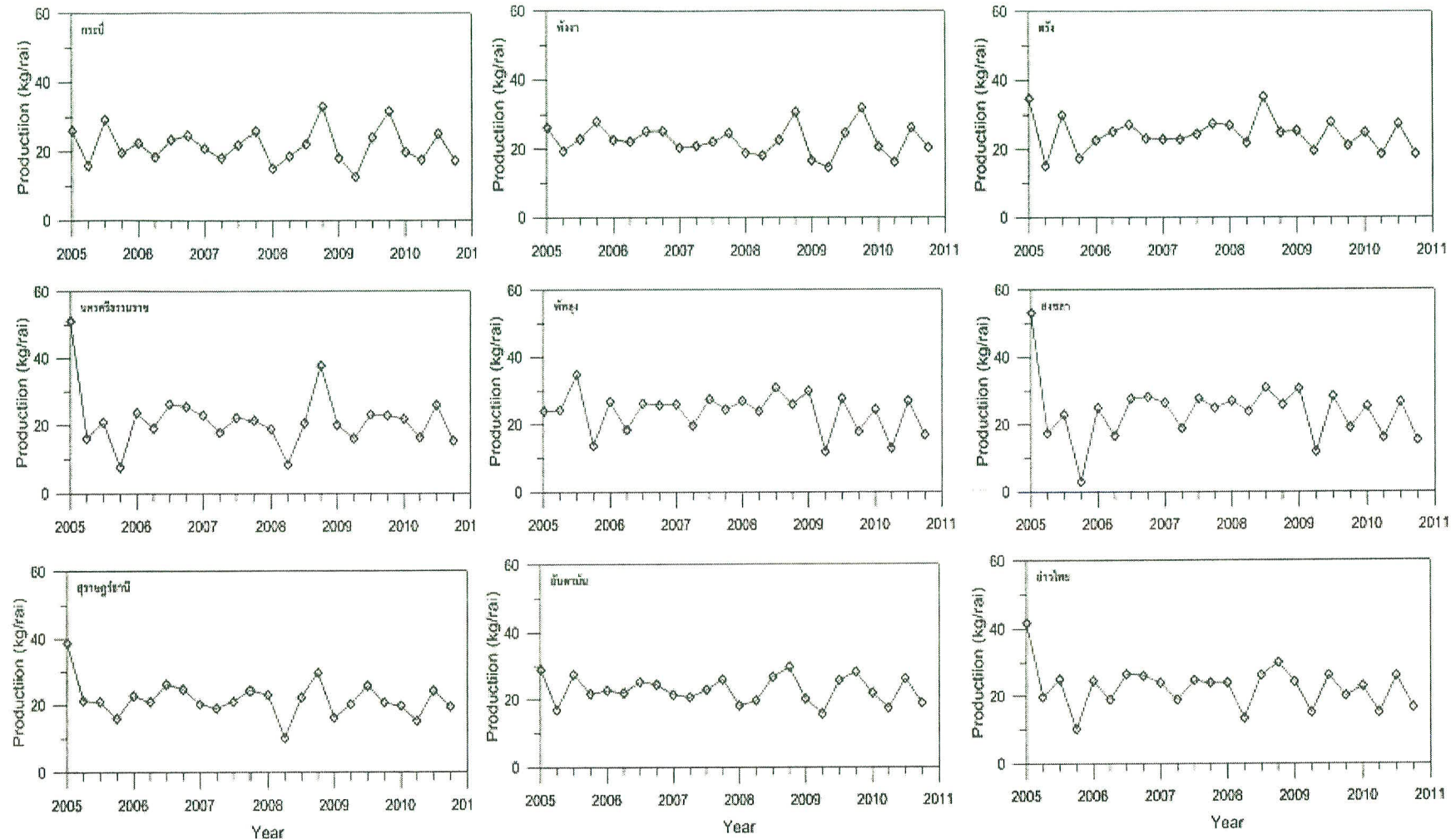
รูปที่ 4.36 ความแปรปรวนตามฤดูกาลและระหว่างปีของผลผลิตยางพารา (กิโลกรัมผลผลิตยางพาราต่อพื้นที่เปิดรีด 1 ไร่ ในช่วงตั้งแต่ 2005 ถึง 2010 โดยสัญลักษณ์ ○ แสดงช่วงที่เกิดอุทกภัยจากพายุโซนร้อน ดีเปรสชัน หย่อมความกดอากาศต่ำและฝนตกหนักอย่าง



รูปที่ 4.36 (ต่อ)



รูปที่ 4.36 (ต่อ)

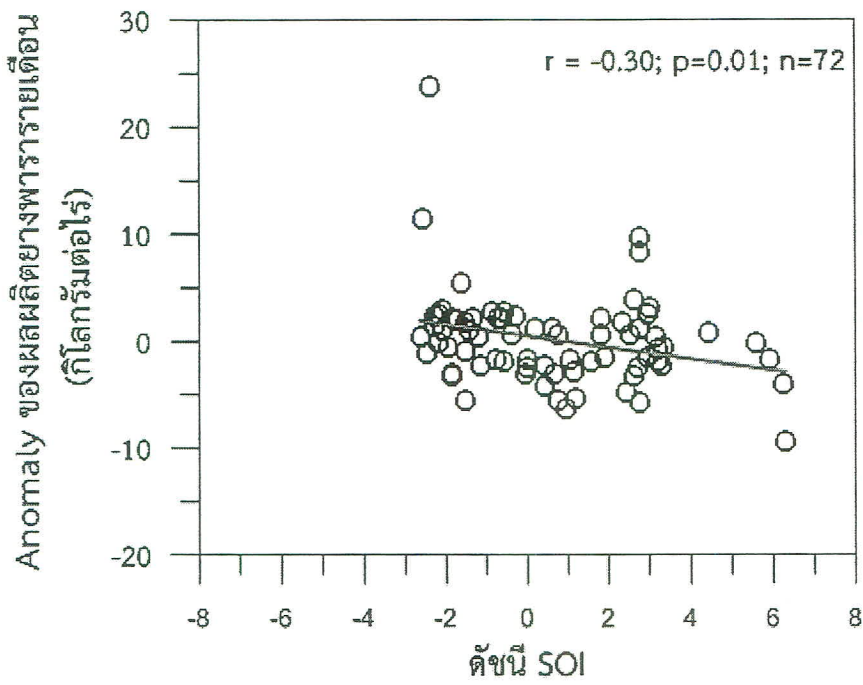


รูปที่ 4.37 ความแปรปรวนตามรายไตรมาส (3 เดือน: ม.ค.-มี.ค., เม.ย.-มิ.ย., ก.ค.-ก.ย. และ ต.ค.-ธ.ค.) ของผลผลิตยางพารา (กิโลกรัมผลผลิตยางพาราต่อพื้นที่เปิดกรีด 1 ไร่) ในช่วงตั้งแต่ 2005 ถึง 2010

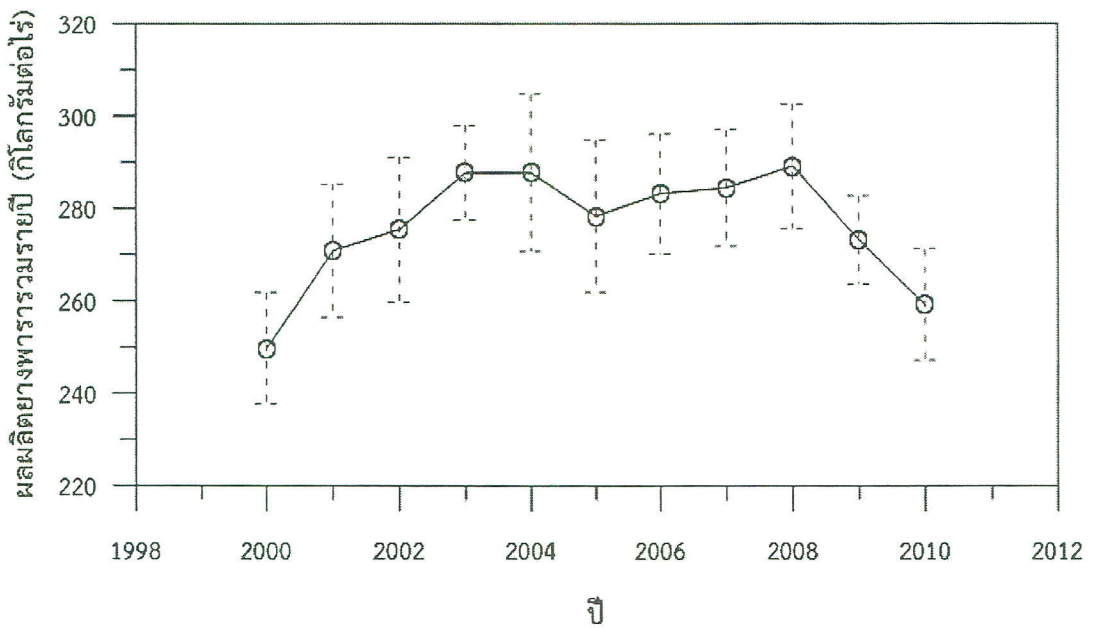
ตารางที่ 4.12 แสดงค่าสัมประสิทธิ์ของ Kendall Tau correlation (τ) ระหว่างอนุกรมผลผลิตยางพารารายเดือนของแต่ละจังหวัดในช่วง 2005-2010 โดยจำนวนตัวอย่างของแต่ละอนุกรม เท่ากับ 72

จังหวัด	พังงา	กระบี่	ตรัง	นครศรีธรรมราช	สุราษฎร์ธานี	พัทลุง	สงขลา
พังงา	1	0.67	0.38	0.51	0.49	0.24	0.21
กระบี่		1	0.49	0.56	0.52	0.34	0.34
ตรัง			1	0.50	0.42	0.48	0.51
นครศรีธรรมราช				1	0.61	0.32	0.41
สุราษฎร์ธานี					1	0.36	0.50
พัทลุง						1	0.70
สงขลา							1

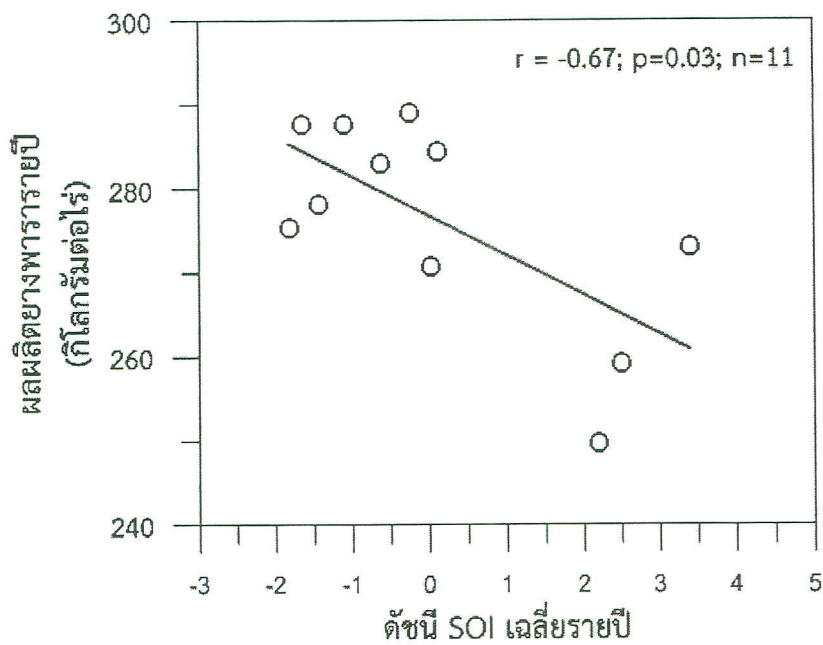
หมายเหตุ : เลขตัวหนาแสดงค่าสัมประสิทธิ์ของ Kendall Tau correlation ที่มีนัยสำคัญทางสถิติในระดับความเชื่อมั่นมากกว่า 95%



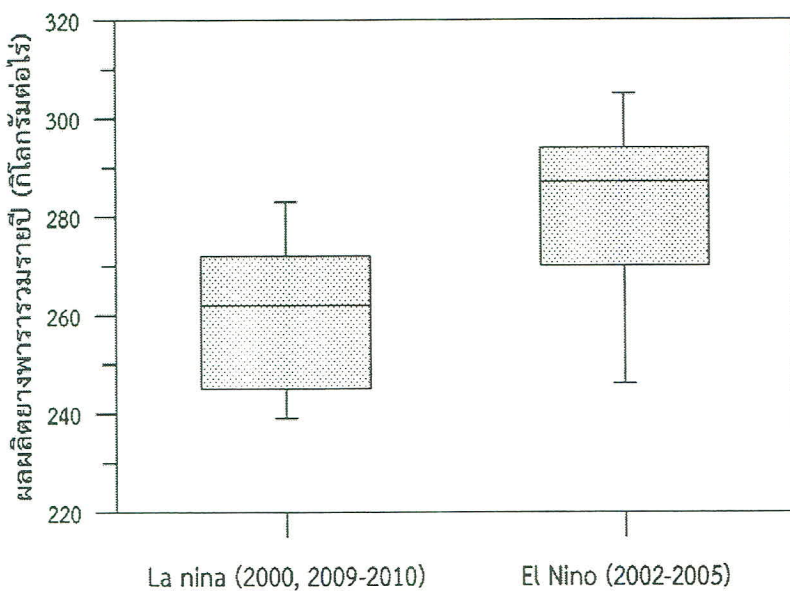
รูปที่ 4.38 ความสัมพันธ์ระหว่างผลผลิตยางพาราเฉลี่ยรายเดือนในพื้นที่ 7 จังหวัดภาคใต้และตั้งนี SOI



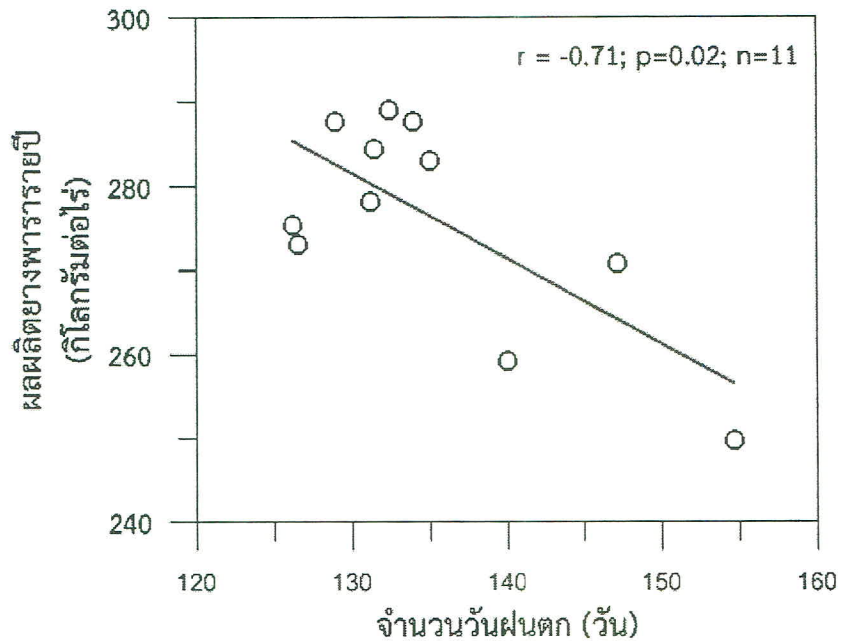
รูปที่ 4.39 ความแปรปรวนระหว่างปีของผลผลิตยางพาราเฉลี่ยในพื้นที่ 7 จังหวัดภาคใต้ (พัทลุง สงขลา ปัตตานี นราธิวาส ยะลา สตูล และตรัง) ในช่วงตั้งแต่ ค.ศ. 2000 ถึง 2010



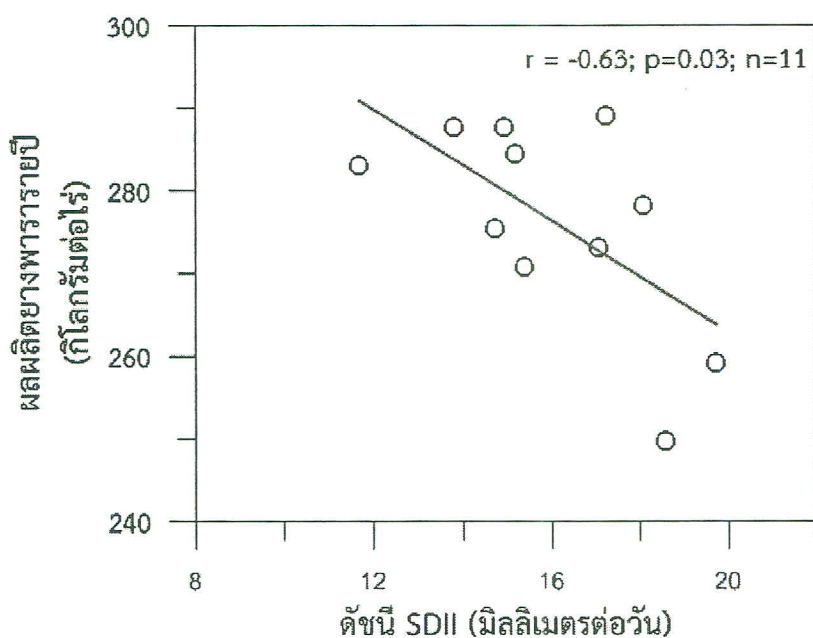
รูปที่ 4.40 ความสัมพันธ์ระหว่างผลผลิตยางพารารวมรายปีในพื้นที่ 7 จังหวัดภาคใต้ตอนล่างและดัชนี SOI เฉลี่ยรายปี



รูปที่ 4.41 Box plot แสดงผลผลิตยางพารารวมรายปีในพื้นที่ 7 จังหวัดภาคใต้ตอนล่าง ในระหว่างปี 2000-2010 สำหรับปีที่เกิดเหตุการณ์ El Niño และเหตุการณ์ La Niña โดยปีที่เกิดเหตุการณ์ El Niño และเหตุการณ์ La Niña นิยามบนพื้นที่ฐานของดัชนี SOI ที่มีค่า $\pm 1SD$



รูปที่ 4.42 ความสัมพันธ์ระหว่างผลผลิตยางพาราร่วมรายปีในพื้นที่ 7 จังหวัดภาคใต้ตอนล่างและจำนวนวันฝนตกรวมรายปี



รูปที่ 4.43 ความสัมพันธ์ระหว่างผลผลิตยางพาราร่วมรายปีในพื้นที่ 7 จังหวัดภาคใต้ตอนล่างและตัวชี้ความแรงของฝนอย่างง่าย

4.2 การตอบสนองทางสีรีวิทยา ผลผลิตและคุณภาพของยางพาราต่อความแปรปรวนของลมฟ้าอากาศในรอบฤดูกาลและรอบปี

ปริมาณน้ำฝนช่วงปลายปี 2554 ในภาคใต้ฝั่งอ่าวไทย (รูปที่ 4.44) แสดงให้เห็นว่า มีปริมาณสูง โดยเฉพาะอย่างยิ่งในจังหวัดนครศรีธรรมราช รองลงมาคือ สงขลา พัทลุง และสุราษฎร์ธานี ทำให้สวนยางบางพื้นที่เกิดน้ำท่วมขัง มีฝนตกต่อเนื่องไปถึงในเดือนมกราคมในปี 2555 ส่วนชายฝั่งอันดามัน มีปริมาณน้ำฝนในช่วงปลายปีไม่สูงมาก แต่ในช่วงปี 2555 มีปริมาณน้ำฝนกระจายในรอบปี (รูปที่ 4.45) นอกจากนี้พบว่าในช่วงต้นปี 2556 ทุกจังหวัดทั้งในภาคใต้ฝั่งอ่าวไทยและฝั่งอันดามัน มีปริมาณน้ำฝนในช่วงฤดูร้อน คือประมาณช่วงเดือนกุมภาพันธ์ ถึงเดือนเมษายน สอดคล้องกับปริมาณความชื้นสัมพัทธ์ รูปที่ 4.46 แสดงให้เห็นว่าค่าความชื้นสัมพัทธ์สูงในช่วงปลายปี 2555 อยู่ระหว่าง 80 - 90% ในช่วงต้นปีความชื้นสัมพัทธ์ยังคงสูงประมาณ 80% เพราะมีฝนตกในช่วงฤดูร้อน และลดลงในช่วงประมาณเดือนมิถุนายน - กรกฎาคมอย่างชัดเจน ความชื้นสัมพัทธ์จะลดต่ำประมาณ 70% ส่วนฝั่งอันดามัน (รูปที่ 4.47) ความชื้นสัมพัทธ์ลดลงในช่วงต้นปี ลดลงในช่วงประมาณ 80% ส่วนค่าการระเหยน้ำฝั่งอ่าวไทย (รูปที่ 4.48) เห็นได้ชัดว่าในช่วงปลายปี 2555 ลดต่ำลงกว่าในช่วงปลายปี แต่ในปี 2555 ค่าการระเหยน้ำสูงในช่วงประมาณเดือนกรกฎาคม แต่ในฝั่งอันดามันค่าการระเหยน้ำสูงในช่วงเดือนกุมภาพันธ์ – มีนาคม (รูปที่ 4.49)

ต้นยางพาราในภาคใต้ฝั่งอ่าวไทยได้รับผลกระทบจากสภาพอากาศดังกล่าว แสดงให้เห็นว่าอิทธิพลของฝนที่ตกชุดในช่วงปลายปี 2554 มีผลต่อการพัฒนาพื้นที่ใบของยางพารา โดยเฉพาะอย่างยิ่งในจังหวัดนครศรีธรรมราช พัทลุง และสงขลา ทำให้พื้นที่ใบลดลงจากเดือนพฤษภาคมถึงเดือนกุมภาพันธ์ (รูปที่ 4.50) ดังนั้นมีผลทำให้บริเวงมากที่สุดในเดือนกุมภาพันธ์ และมีการผลิใบใหม่ในเดือนมีนาคม ยกเว้นในจังหวัดสงขลา ที่มีฝนตกในช่วงมีนาคม ทำให้เกิดโรคระบาด ทำให้ใบอ่อนร่วง ดังนั้นใบอ่อนชุดใหม่จะมีผลลัพธ์กว่า 1 เดือน มีการพัฒนาพื้นที่ใบเพิ่มขึ้นในเดือนเมษายนเป็นถึงเดือนพฤษภาคม แต่หลังจากนั้นพื้นที่ใบมีแนวโน้มลดลง เนื่องจากปริมาณฝนน้อยลง และลดลงมากในช่วงเดือนกรกฎาคมกันยายน และลดลงมากในเดือนกรกฎาคมถึงเดือนกันยายน ในเดือนตุลาคมปริมาณฝนเริ่มมากขึ้น เนื่องจากเข้าสู่ฤดูฝน พื้นที่ใบมีแนวโน้มเพิ่มขึ้นและมีบริเวงในช่วงเดือนกุมภาพันธ์ในจังหวัดสุราษฎร์ธานีและสงขลา ส่วนจังหวัดนครศรีธรรมราช และพัทลุงบริเวงมากในเดือนมีนาคม หลังจากนั้นพื้นที่เพิ่มขึ้นมากในเดือนพฤษภาคม พร้อมที่จะเปิดกรีดสำหรับปี 2556 ส่วนในฝั่งอันดามันในปี 2555 มีบริเวงชัดเจนในเดือนมกราคม (รูปที่ 4.51) คือเร็วกว่าฝั่งอ่าวไทย ประมาณ 1 เดือน จากนั้นพื้นที่ใบเพิ่มขึ้นในเดือนกุมภาพันธ์ ในจังหวัดพังงา มีฝนตกมาก ทำให้พื้นที่ใบค่อยๆเพิ่มขึ้นจนถึงเดือนพฤษภาคม หลังจากนั้นพื้นที่ใบมีแนวโน้มลดลงจนถึงเดือนกันยายน และเพิ่มขึ้นในเดือนตุลาคมและพฤษจิกายนเนื่องจากเข้าสู่ฤดูฝน ส่วนจังหวัดกระบี่และตรังมีรูปแบบการพัฒนาพื้นที่ใบคล้ายคลึงกัน คือ พื้นที่ใบเพิ่มขึ้นจากเดือนกุมภาพันธ์ถึงเดือนมีนาคม หลังจากนั้นลดลงต่อเนื่องจนถึงเดือนกันยายน และพื้นที่ใบเพิ่มขึ้นอีกในเดือนตุลาคมและพฤษจิกายนเนื่องจากเข้าสู่ฤดูฝน หลังจากนั้นใน 3 จังหวัดนี้พื้นที่ใบลดลงในเดือนธันวาคมและมีบริเวงมากที่สุดในเดือนมกราคม แต่มีใบแตกใหม่ในเดือนกุมภาพันธ์และเพิ่มขึ้นอย่างชัดเจน

การวัดความชื้นดินที่ระดับความลึก 100 เซนติเมตร โดยวัดทุกระดับความลึก 10 เซนติเมตร จากผิวดินในแปลงยางพารา 7 จังหวัด พบว่าภาคใต้ฝั่งอ่าวไทยและฝั่งอันดามันมีปริมาณความชื้นดินมากที่ระดับความลึก 100 เซนติเมตร และเปอร์เซ็นต์ความชื้นดินในแต่ละระดับความลึกมีค่าใกล้เคียงกัน อยู่ในช่วง 10 - 40 เปอร์เซ็นต์

อย่างไรก็ตามภาคใต้ผู้อ่าวไทย ความชื้นดินในช่วงปลายปีของจังหวัดนครศรีธรรมราช และจังหวัดพัทลุงมีค่าเพิ่มสูงขึ้นชัดเจนในแต่ละระดับความลึก เนื่องจากฝนตกหนักและทำให้เกิดน้ำท่วมภายในแปลงยางพารา (รูปที่ 4.52) ส่วนในภาคใต้ผู้อันดามันในช่วงปลายปี 2555 จังหวัดตั้งมิ่นฝนตกซุก ทำให้เปอร์เซ็นต์ความชื้นดินเพิ่มขึ้นอย่างชัดเจน (รูปที่ 4.53)

รูปที่ 4.54 แสดงให้เห็นว่าเกษตรกรพยายามกรีดยางหลังจากผ่านช่วงฝน เพื่อชดเชยผลผลิตที่หายไปในช่วงที่ไม่สามารถกรีดได้ในช่วงฝนซุก การพักกรีดในแต่ละจังหวัดแตกต่างกัน ในจังหวัดสุราษฎร์ธานี มีการพักกรีดช่วงปลายกุมภาพันธ์ - เมษายนที่ทึ่งช่วงนาน ส่วนที่จังหวัดนครศรีธรรมราชและจังหวัดสงขลา มีการเปิดกรีดเร็วในเดือนกุมภาพันธ์ เพื่อชดเชยจากปี 2554 ที่กรีดได้น้อยวัน ส่วนที่พัทลุงสวนยางพาราที่ไปศึกษาในปี 2554 ได้รับอิทธิพลจากน้ำท่วมหนักทำให้ผลผลิตที่ได้ต่ำมากและเกษตรกรพยายามกรีดซุดเชย ยิ่งไปกว่านั้นในช่วงมิถุนายน - สิงหาคม ฝนทึ่งช่วงฝนทึ่งช่วงทำให้เกิดสภาพแห้งแล้ง เกษตรกรหยุดกรีดยาง ส่วนผู้อันดามัน พบว่า ในปี 2554 ได้รับผลกระทบจากน้ำท่วมส่งผลต่อเนื่องถึงปี 2556 วันกรีดของจังหวัดพังงาและกระบี่น้อยลงอย่างชัดเจน นอกจากนี้ฝนตกซุกทำให้เกษตรกรที่พังงายดูกรีดในเดือนกุมภาพันธ์ เพราะใบร่วง (รูปที่ 4.55) แต่หลังจากนั้นในช่วงเดือนมีนาคมถึงเดือนกรกฎาคมหยุดกรีดช่วงยาว เพราะฝนตกคล้ายคลึงกับที่จัดหวัดกระบี่ แต่หลังจากนั้นเกษตรกรได้พยายามกรีดซุดเชยในช่วงปลายปี 2555 ไปจนถึงต้นปี 2556 หลังจากนั้นหยุดกรีด และที่จังหวัดตั้งมิ่นฝนตกซุกต่อเนื่องหลังจากนั้น

จากการดังกล่าวแสดงให้เห็นว่า วันที่ฝนตก มีผลต่อการกรีดยาง ทำให้เกษตรกรสวนยางต้องหยุดกรีด ดังนั้นเมื่อนำข้อมูลมาหาความชื้นสัมพัทธ์ระหว่างจำนวนวันกรีดได้ และวันที่ไม่มีฝนตกลงภาคใต้ผู้อ่าวไทย รูปที่ 4.56a แสดงให้เห็นชัดเจนว่า เมื่อวันที่ไม่มีฝนตกเพิ่มขึ้น ทำให้วันกรีดเพิ่มขึ้นอย่างมีนัยสำคัญยิ่ง สอดคล้องกับผลการวิเคราะห์ในผู้อันดามัน รูปที่ 4.56b และเมื่อพิจารณาในภาพรวมทั้ง 2 ฝั่งของภาคใต้ให้ย่างไปทิศทางเดียวกัน รูปที่ 4.56c แสดงว่าถ้าหากมีฝนตกมากจะทำให้วันกรีดยางพาราลดลง ซึ่งจะส่งผลถึงผลผลิตของยางพาราด้วยโดยเฉพาะในภาคใต้ผู้อ่าวไทย รูปที่ 4.57a แสดงให้เห็นว่าผลผลิตยางพารามีความสัมพันธ์กับจำนวนวันที่ฝนไม่ตกอย่างมีนัยสำคัญยิ่ง ส่วนในผู้อันดามันมีความสัมพันธ์กับจำนวนวันที่ฝนไม่ตกอย่างมีนัยสำคัญยิ่ง (4.57b) และประเมินความสัมพันธ์ทั้งสองฝั่ง ของผลผลิตและวันฝนไม่ตก พบร่วมมีความสัมพันธ์อย่างมีนัยสำคัญยิ่ง (4.57c)

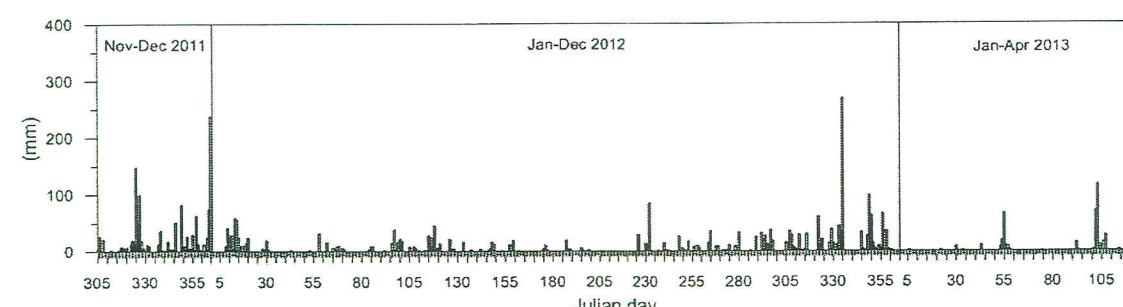
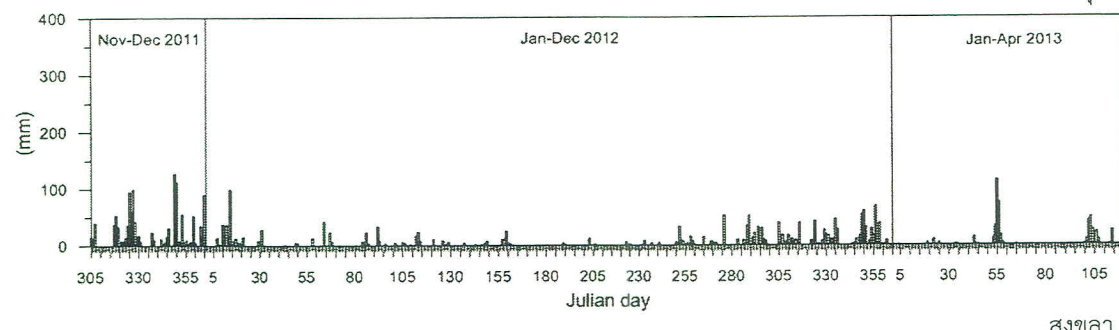
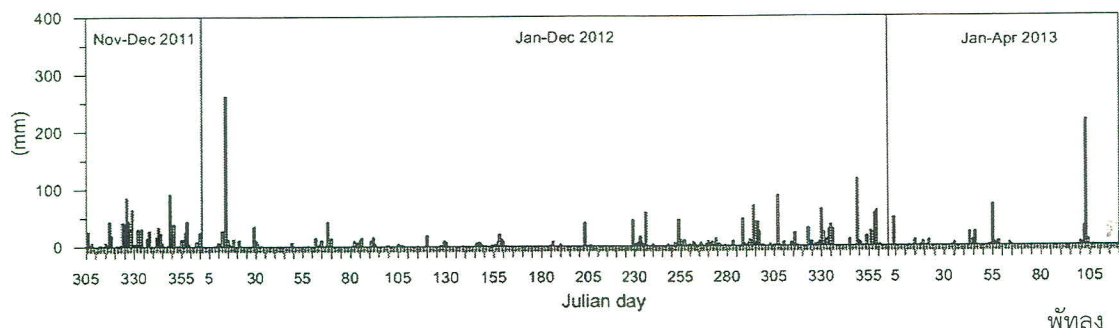
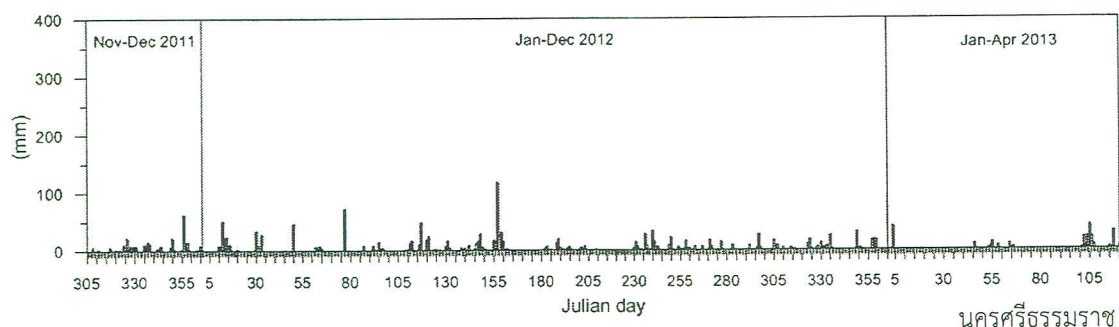
รูปที่ 4.58a แสดงให้เห็นความสัมพันธ์ระหว่างผลผลิตยางพาราและค่าการระเหยน้ำ (E) - ค่าปริมาณน้ำฝน (P) มีแนวโน้มแสดงความสัมพันธ์กับในฝั่งอ่าวไทย ขณะที่ผู้อันดามันมีความสัมพันธ์กับจำนวนวันที่ฝนไม่ตก (รูปที่ 4.58b) และเมื่อประเมินในภาพรวมระหว่างผลผลิตยางพาราและค่า E - P ทางภาคใต้ผู้อ่าวไทยและอันดามัน (รูปที่ 4.58c) พบร่วมมีความสัมพันธ์อย่างมีนัยสำคัญยิ่ง เมื่อพิจารณาถึงความสัมพันธ์ระหว่างดัชนีพื้นที่ใบ (Leaf area index) โดย log e หาผลผลิตยาง หรือ log e Rubber yield พบร่วมมีแนวโน้มว่ามีความสัมพันธ์กับในทางลบ ทั้งผู้อ่าวไทยและอันดามัน รวมไปถึงภาพรวมของทั้ง 2 ฝั่ง (รูปที่ 4.59a, b และ c) แสดงว่ามีแนวโน้มว่าเมื่อดัชนีพื้นที่ใบเพิ่มขึ้นผลผลิตยางลดลง ทั้งนี้สอดคล้องกับสภาพความเป็นจริง เพราะดัชนีพื้นที่ใบของยางพาราจะเพิ่มขึ้นในช่วงที่มีฝนตก ทำให้ต้นยางใบมากขึ้น ขณะเดียวกันก็เป็นข้อจำกัดกรณีที่เกษตรกรชาวสวนยางไม่สามารถกรีดยางในช่วงที่มีฝนตกมากและช่วงตั้งกล่าวอยู่ในสภาพที่มีเมฆมากในช่วงฤดูฝนทำให้การสังเคราะห์ของพืชซุกจำกัดผลผลิตยางจึงลดลงด้วย

ภาคใต้ฝั่งอ่าวไทย พบร่องหวัดสูงขามีจำนวนวันกรดและผลผลิต (กิโลกรัมต่อไร่ต่อปี) มากที่สุดคือ 207 วัน และ 469.06 กิโลกรัมต่อไร่ต่อปี สำหรับภาคใต้ฝั่งอันดามัน พบร่องหวัดตระหง่านมีจำนวนวันกรดและผลผลิตมากที่สุด คือ 155 วัน และ 388.85 กิโลกรัมต่อไร่ต่อปี (ตาราง 4.13)

จากการสำรวจการเกิดโรคทางใบได้สำรวจทุกๆเดือนอย่างต่อเนื่องในรอบปี พบร่องภาคใต้ฝั่งอ่าวไทยในจังหวัดสุราษฎร์ธานี นครศรีธรรมราช พัทลุง และสงขลา รวมถึงภาคใต้ฝั่งอันดามันในจังหวัดพังงา กระบี่ และตรัง พบรการระบาดของโรคราแป้งที่เกิดจากเชื้อรา *Oidium heveae* Steinm. โรคใบร่วงที่เกิดจากเชื้อรา *Phytophthora spp.* และโรคใบจุดตามนกที่เกิดจากเชื้อรา *Drechslera (Helminthosporium) heveae* (Petch) M.B. Ellis โดยทางภาคใต้ฝั่งอ่าวไทยในช่วงฤดูร้อนปี 2555 (รูปที่ 4.60) พบรการระบาดของโรคราแป้ง ตั้งแต่เดือนเมษายนและเพิ่มขึ้นในเดือนมิถุนายน ขณะที่โรคใบร่วงและใบจุดตามนกพบรการระบาดในทุกจังหวัด แต่พบรากในจังหวัดพัทลุง ตั้งแต่ในช่วงเดือนเมษายนถึงมิถุนายน ในช่วงฤดูฝน พบรการระบาดของโรคราแป้งในทุกจังหวัดโดยเฉพาะอย่างยิ่งพบรากสุดในจังหวัดสุราษฎร์ธานี และสงขลา ขณะที่โรคใบร่วงและใบจุดตามนกพบรการระบาดในทุกจังหวัดยกเว้นจังหวัดนครศรีธรรมราช สำหรับภาคใต้ฝั่งอันดามันพบรการระบาดของโรคทั้งสามชนิดในทุกช่วงฤดูกาลของแต่ละจังหวัด โดยเฉพาะอย่างยิ่งพบรากในช่วงเดือนพฤษภาคมถึงเดือนกันยายน (รูปที่ 4.61) ในช่วงต้นปี 2556 การเกิดโรคราแป้งและโรคใบจุดตามนกพบได้ในช่วงต้นปี โรคราแป้งพบระบาดที่ฝั่งอ่าวไทยที่จังหวัดสุราษฎร์ธานี นครศรีธรรมราช และสงขลา พบรากในเดือนมกราคม ส่วนที่พัทลุงพบในเดือนกุมภาพันธ์ ส่วนโรคใบจุดตามนกในนครศรีธรรมราช พัทลุง และสงขลา ตั้งแต่เดือนมกราคม สำหรับสูงคลาพบมากในเดือนมีนาคมด้วย แต่ฝั่งอันดามันที่จังหวัดพังงาพบรการระบาดของโรคราแป้งในเดือนมกราคม และพบรการระบาดของโรคใบจุดตามนกในเดือนมกราคมและมีนาคม ส่วนจังหวัดตระหง่านพบรการระบาดของโรคใบจุดตามนกในเดือนมีนาคม

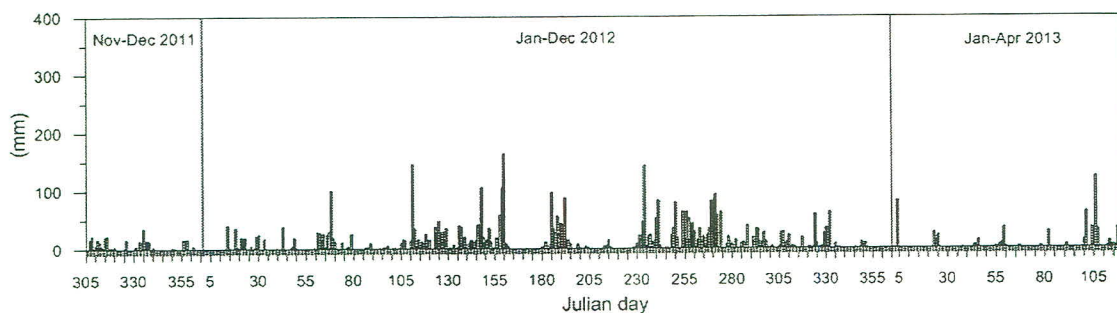
ส่วนโรค根ขาว (white root disease) ถึงแม่ไม่พบในแปลงยางพาราที่ศึกษา แต่จากการออกสำรวจได้พบอาการของโรคนี้ในบางสวนยางพารา เช่นที่จังหวัดกระบี่ พังงา และนครศรีธรรมราช บางสวนต้องเปลี่ยนไปปลูกพืชอื่นๆแทน เพราะเมื่อย้ายต้นกล้าลงปลูกใหม่ทำให้ต้นยางตายได้

สุราษฎร์ธานี

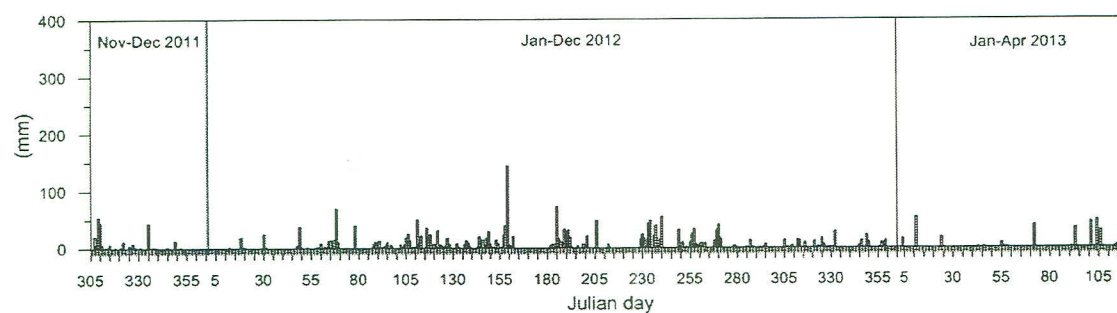


รูปที่ 4.44 ปริมาณน้ำฝน (มิลลิเมตร) ช่วงปลายปี 2554, ปี 2555 และต้นปี 2556 ของภาคใต้ฝั่งอ่าวไทยในจังหวัดสุราษฎร์ธานี จังหวัดนครศรีธรรมราช จังหวัดพัทลุง และจังหวัดสงขลา

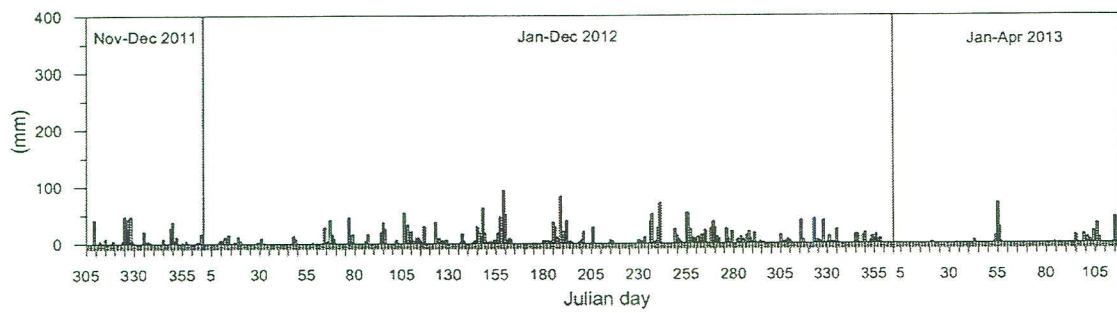
พังงา



กระบี่



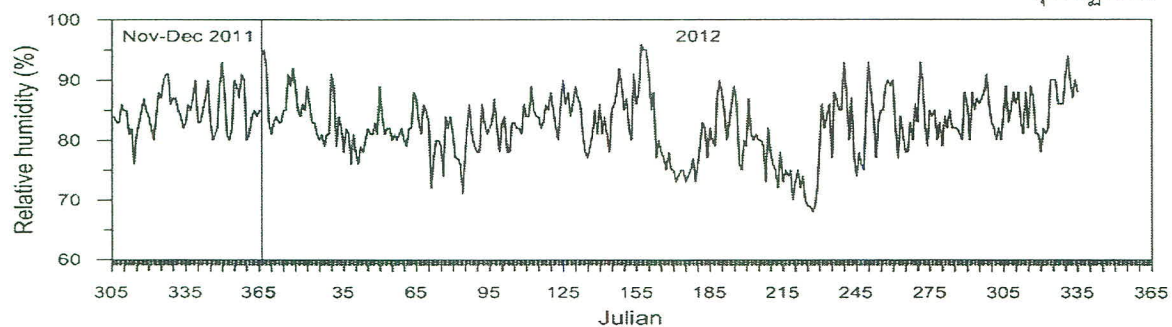
ตรัง



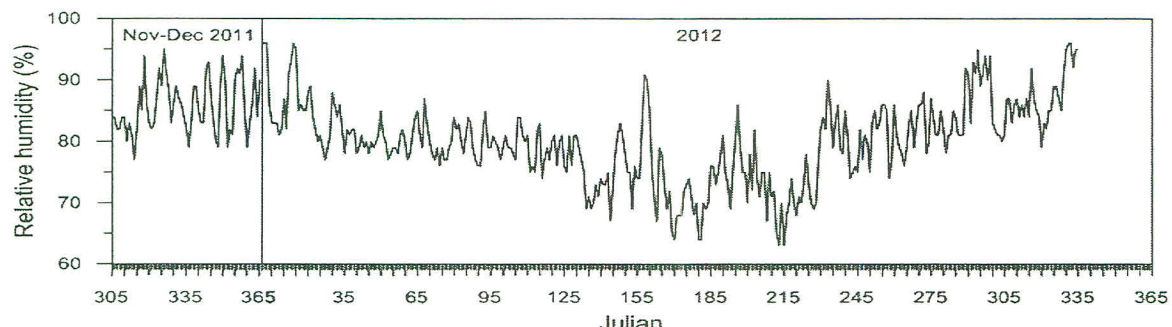
รูปที่ 4.45 ปริมาณน้ำฝน (มิลลิเมตร) ช่วงปลายปี 2554, ปี 2555 และต้นปี 2556 ของภาคใต้ผ่านอันดามันในจังหวัดพังงา จังหวัดกระบี่ และจังหวัดตรัง

ความชื้นสัมพัทธ์ [Relative Humidity (%)] ภาคใต้ฝั่งอ่าวไทย

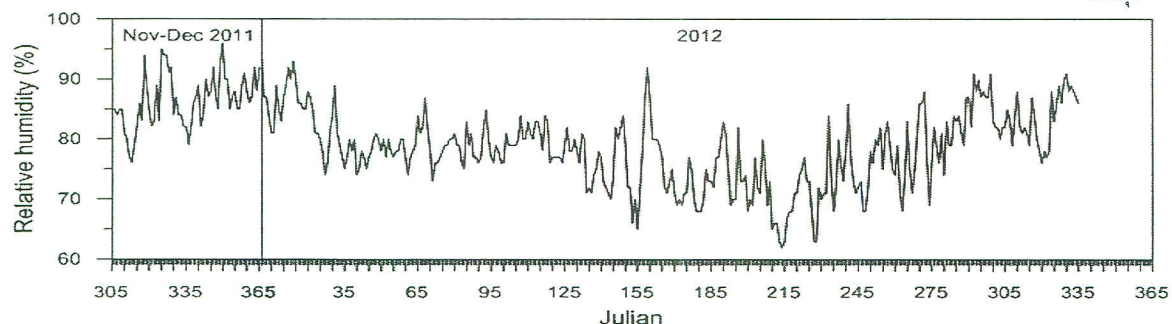
สุราษฎร์ธานี



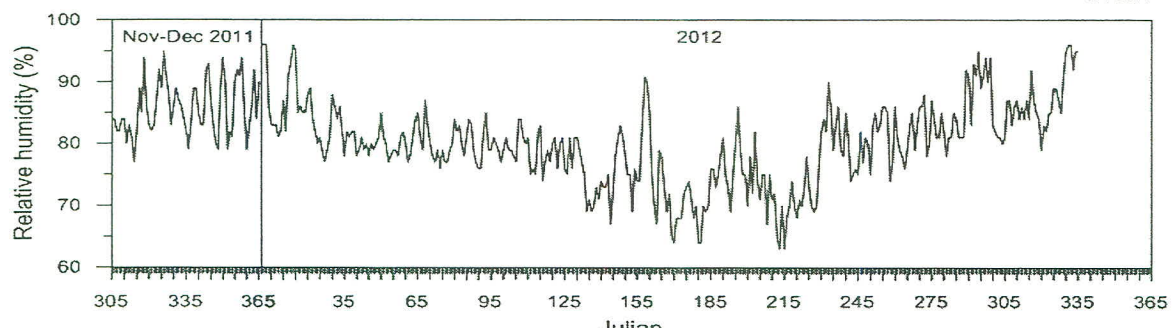
นครศรีธรรมราช



พัทลุง

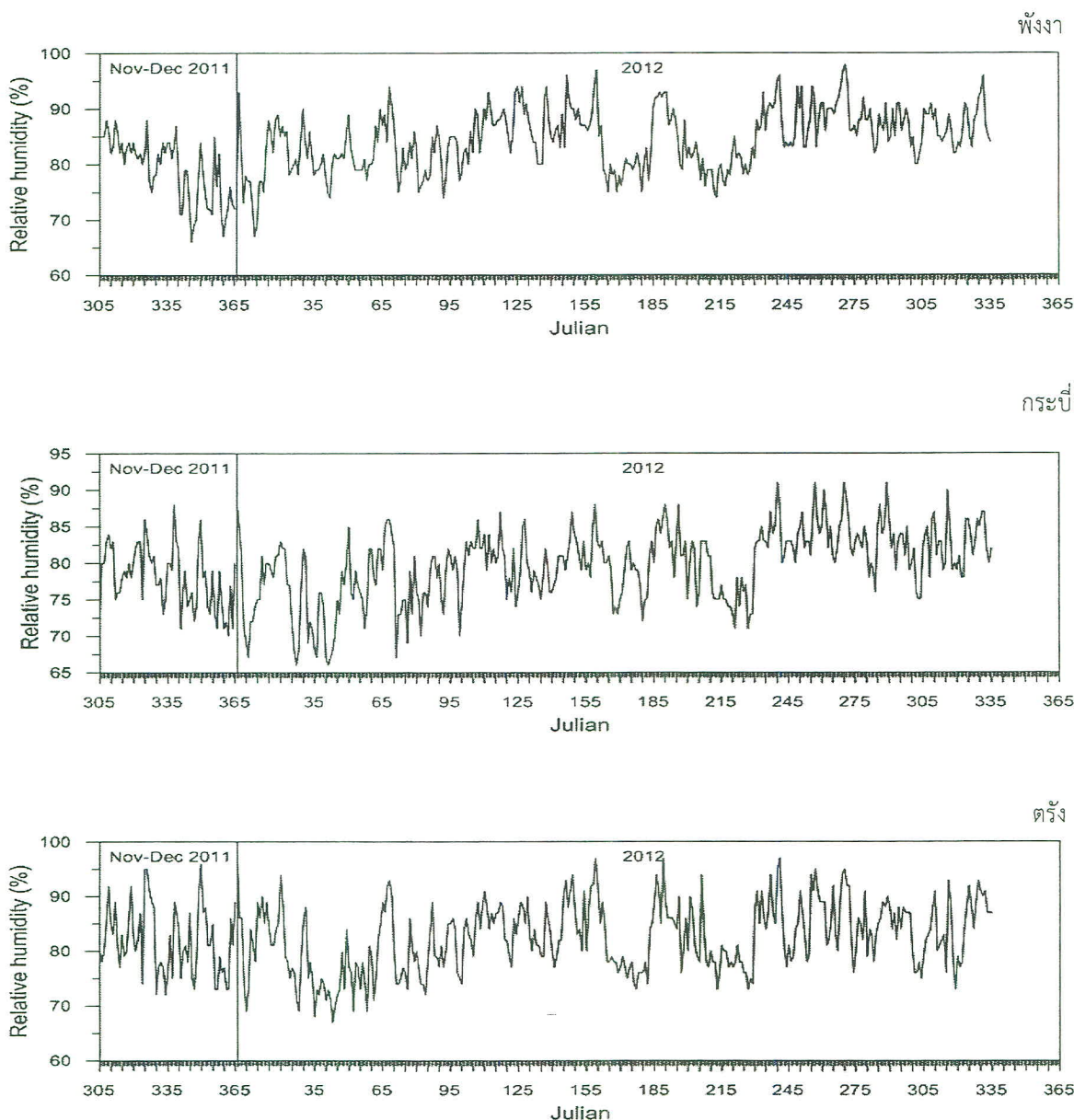


สงขลา



รูปที่ 4.46 ความชื้นสัมพัทธ์ (%) ช่วงปลายปี 2554 และในปี 2555 ของภาคใต้ฝั่งอ่าวไทย ในจังหวัดสุราษฎร์ธานี จังหวัดนครศรีธรรมราช จังหวัดพัทลุง และจังหวัดสงขลา

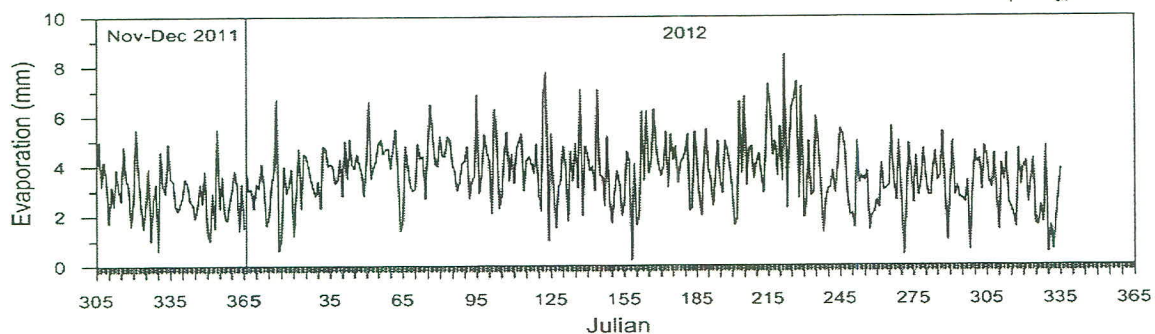
ความชื้นสัมพัทธ์ [Relative Humidity (%)] ภาคใต้ฝั่งอันดามัน



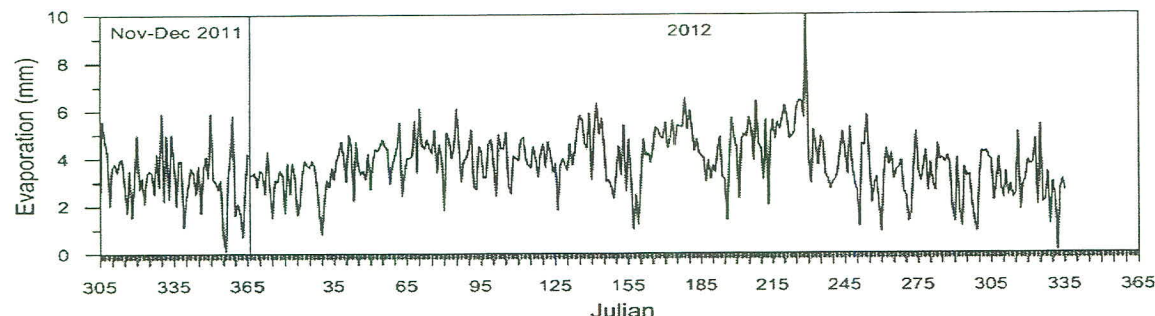
รูปที่ 4.47 ความชื้นสัมพัทธ์ (%) ช่วงปลายปี 2554 และในปี 2555 ของภาคใต้ฝั่งอันดามัน ในจังหวัดพังงา จังหวัดกระบี่ และจังหวัดตรัง

ค่าการคายระเหยน้ำ [Evaporation (mm)] ภาคใต้ฝั่งอ่าวไทย

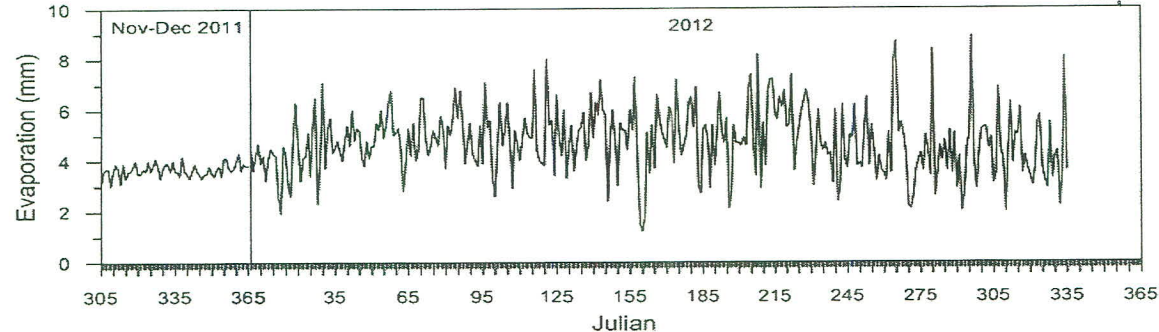
สุราษฎร์ธานี



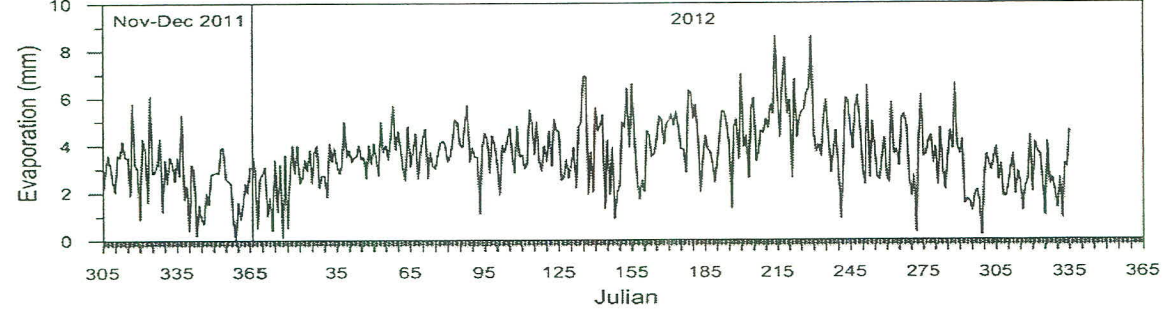
นครศรีธรรมราช



พัทลุง



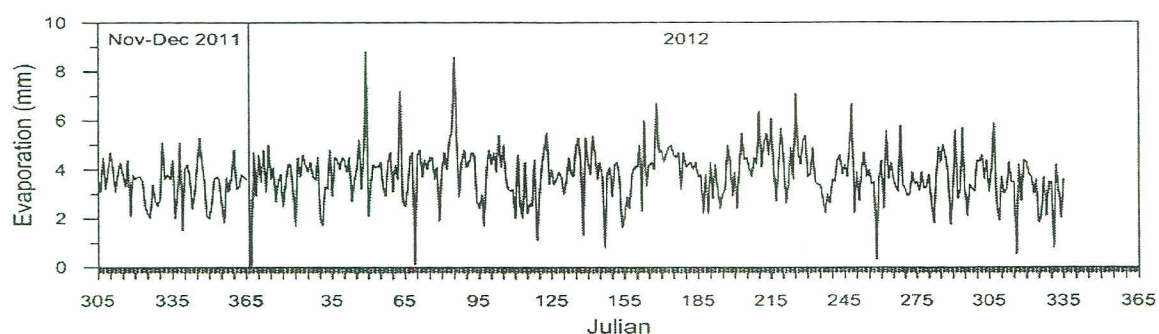
สงขลา



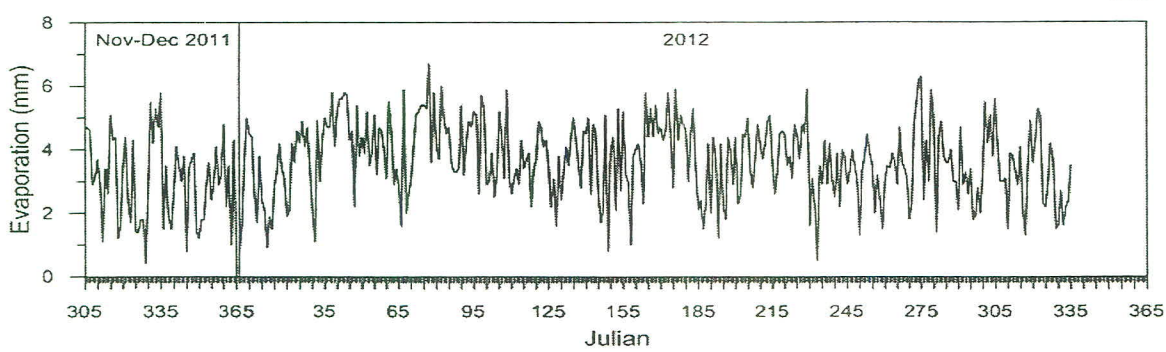
รูปที่ 4.48 การคายระเหยน้ำ (มิลลิเมตร) ช่วงปลายปี 2554 และในปี 2555 ของภาคใต้ฝั่งอ่าวไทยในจังหวัดสุราษฎร์ธานี จังหวัดนครศรีธรรมราช จังหวัดพัทลุง และจังหวัดสงขลา

ค่าการคายระเหยน้ำ [Evaporation (mm)] ภาคใต้ฝั่งอันดามัน

พังงา

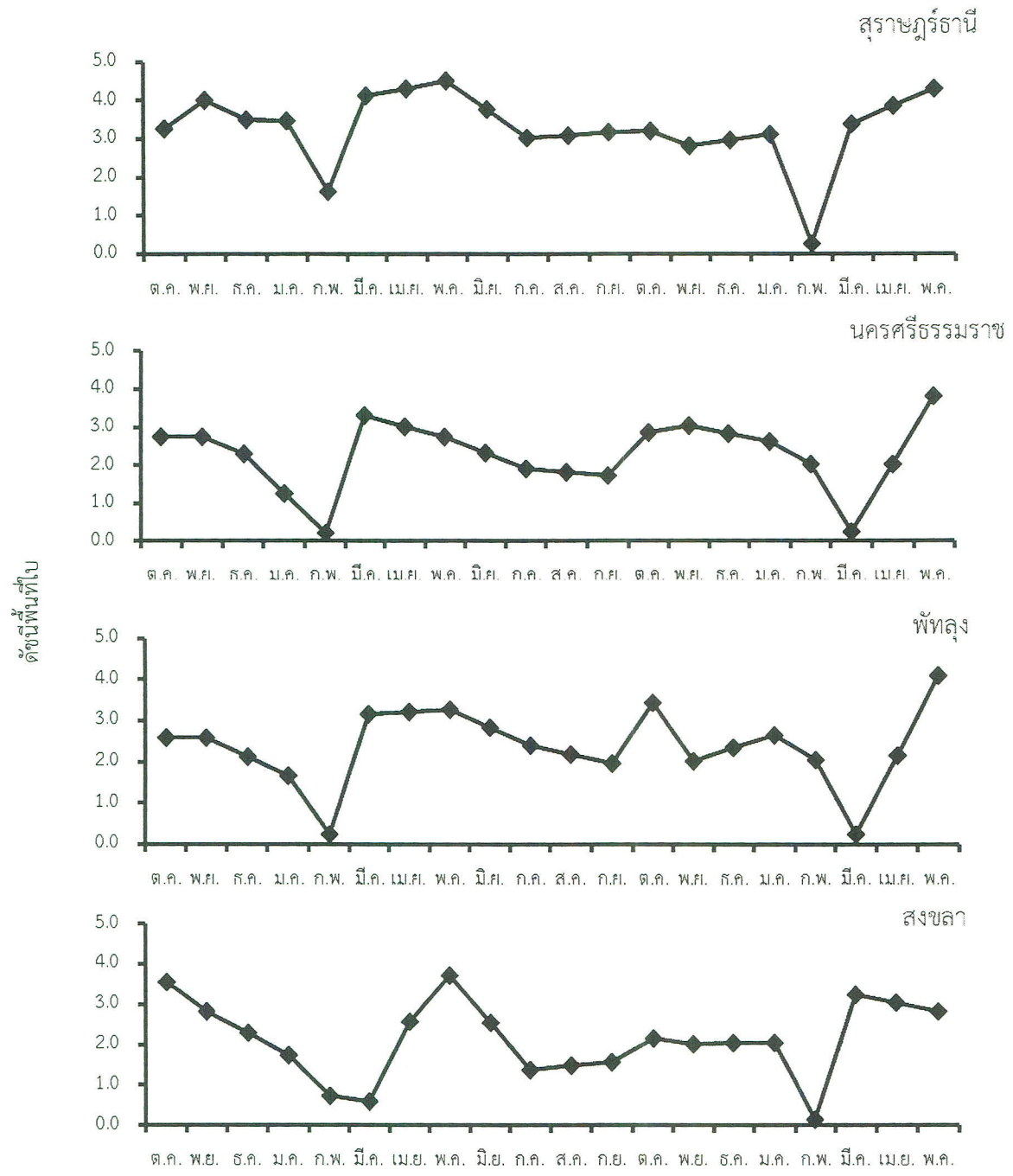


ตรัง



รูปที่ 4.49 การคายระเหยน้ำ (มิลลิเมตร) ช่วงปลายปี 2554 และในปี 2555 ของภาคใต้ฝั่งอันดามัน ในจังหวัดพังงา และตรัง

ดัชนีพื้นที่ใบในภาคใต้ฝั่งอ่าวไทย

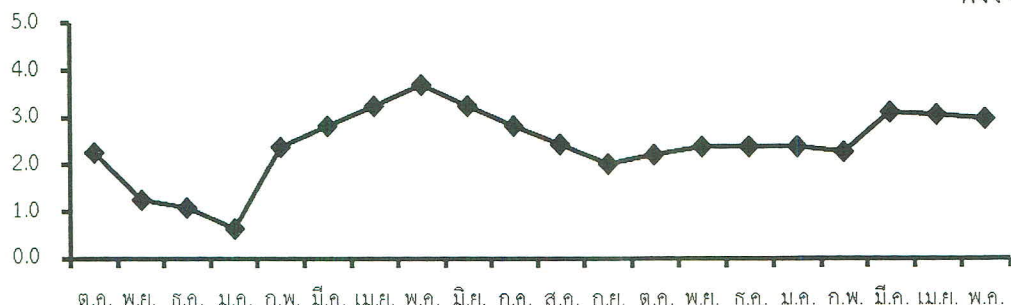


รูปที่ 4.50 การเปลี่ยนแปลงดัชนีพื้นที่ใบของภาคใต้ฝั่งอ่าวไทย ในจังหวัดสุราษฎร์ธานี จังหวัดนครศรีธรรมราช จังหวัดพัทลุง และจังหวัดสงขลา

เต็มคัน

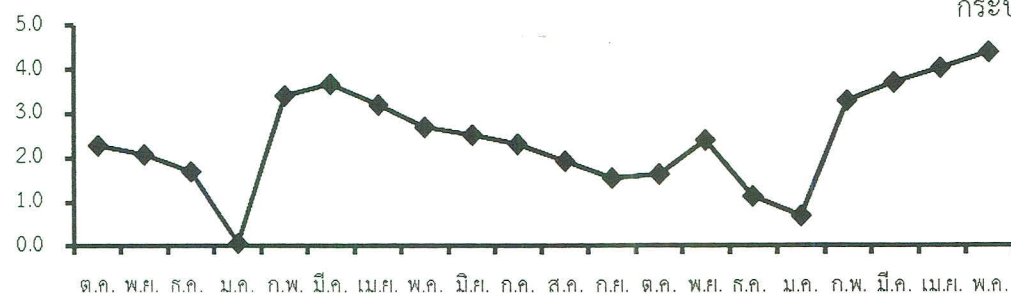
ดัชนีพื้นที่ใบในภาคใต้ผ่านดามัน

พังงา

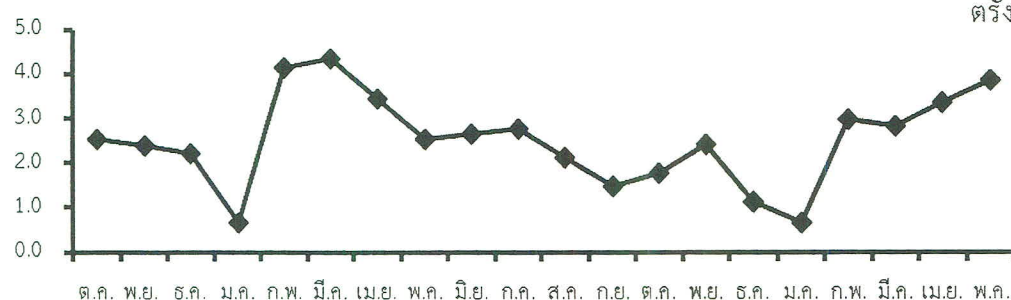


กรุงปี

ต.ป.ส.ท.บ



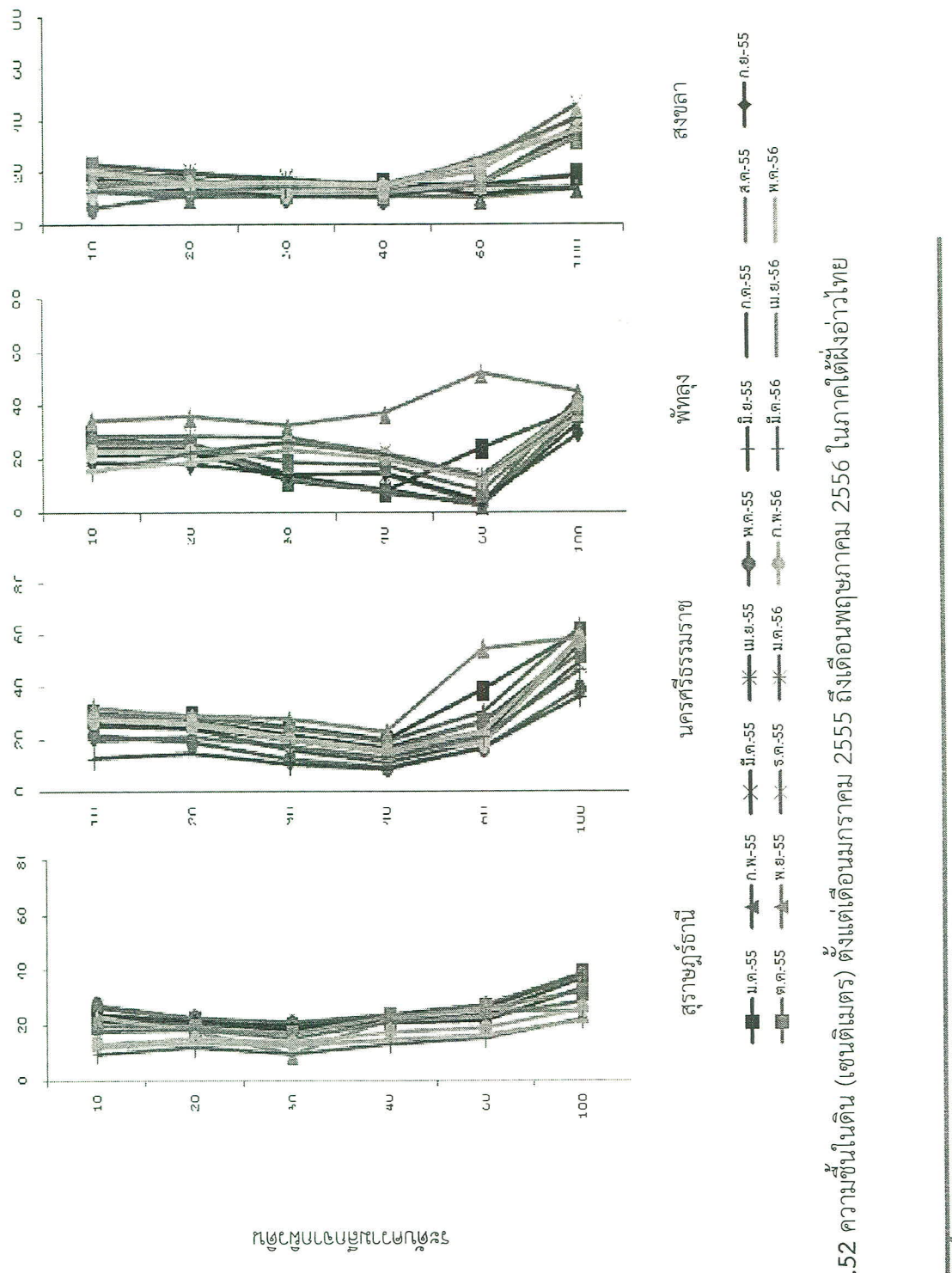
ตรัง



เดือน

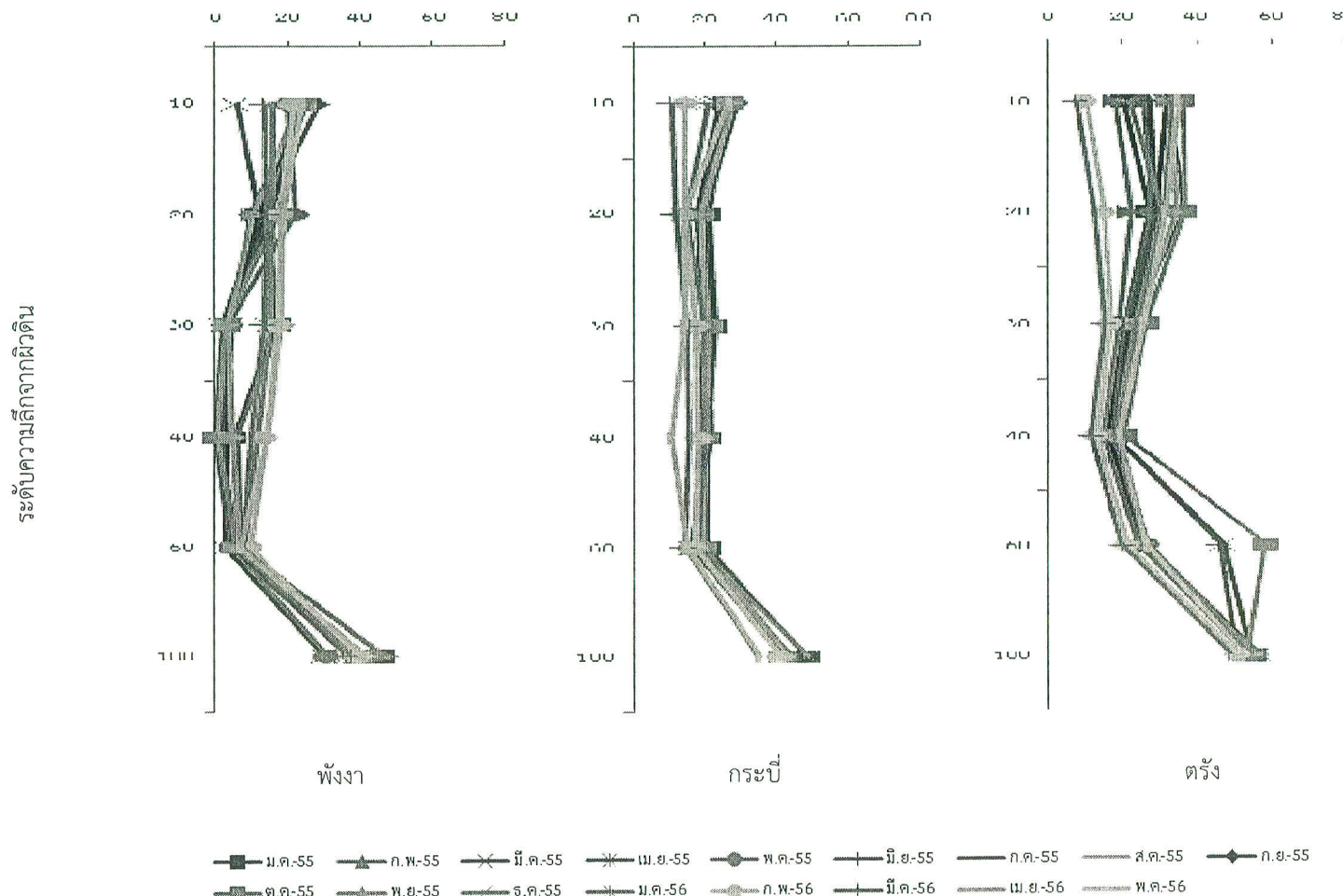
รูปที่ 4.51 การเปลี่ยนแปลงดัชนีพื้นที่ใบของภาคใต้ผ่านดามัน ในจังหวัดพังงา จังหวัดกรุงปี และจังหวัดตรัง

ပြခုန်များအတွက် အမျိန်များ ပေါ်လေ့ရှိသည်။



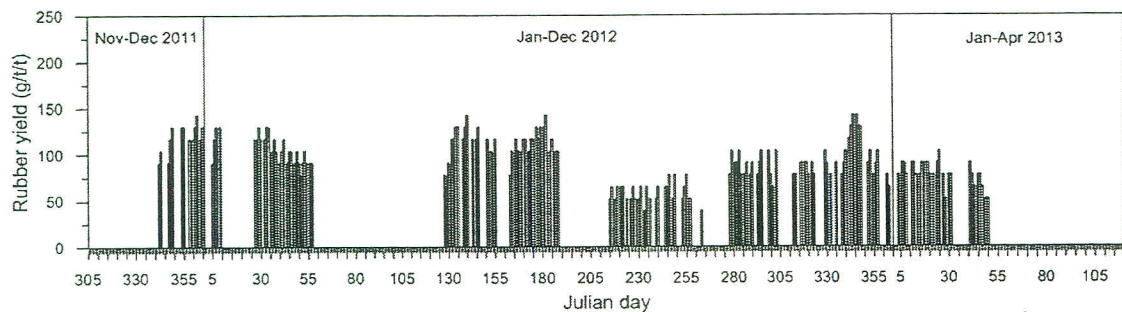
รูปที่ 4.52 ความชื้นในดิน (เมลต์ติวอร์) ที่เปลี่ยนแปลงตามกราฟ 2555 ถึงต้นพฤษภาคม 2556 ในภาคตู้่อว่าง

เปอร์เซ็นต์ความชื้นในดิน

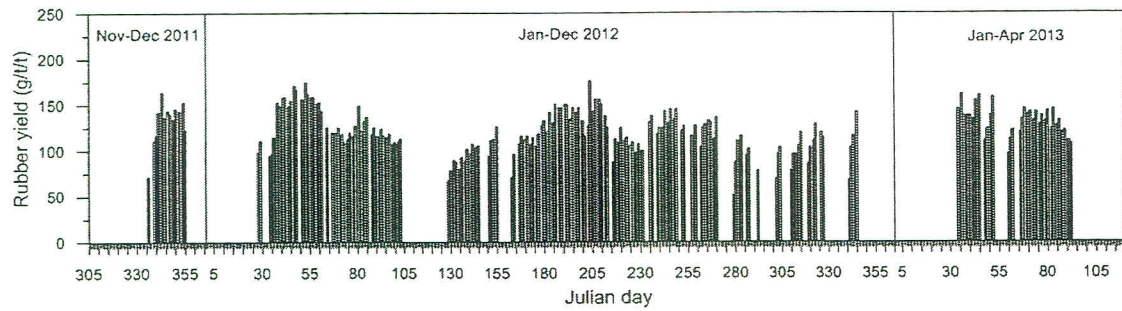


รูปที่ 4.53 ความชื้นในดิน (เซนติเมตร) ตั้งแต่เดือนมกราคมถึงเดือนพฤษจิกายน 2555 ในภาคใต้ฝั่งอันดามัน

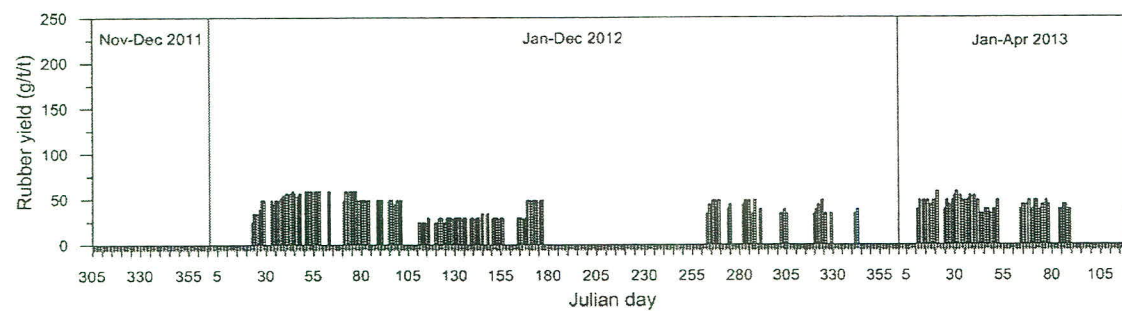
สุราษฎร์ธานี



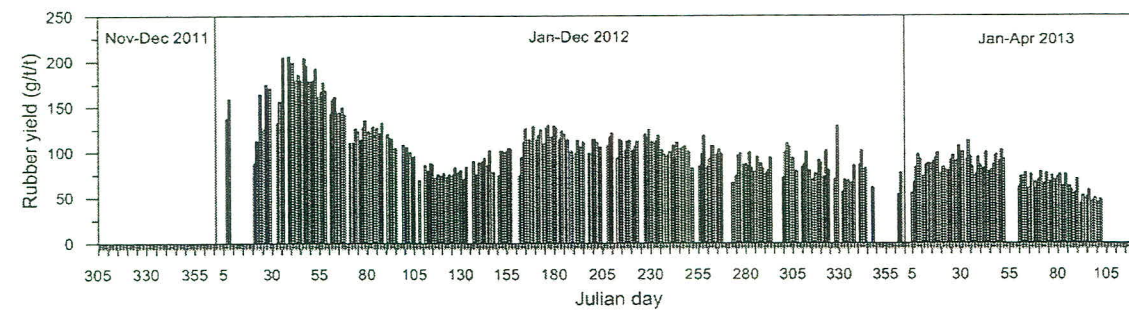
นครศรีธรรมราช



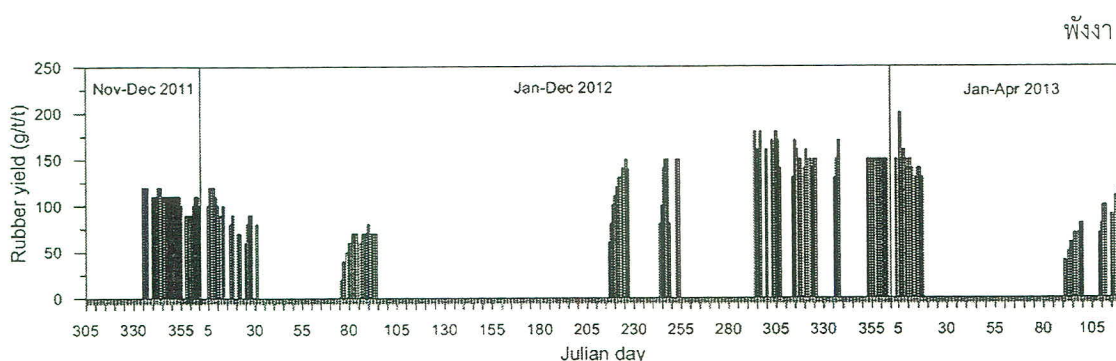
พัทลุง



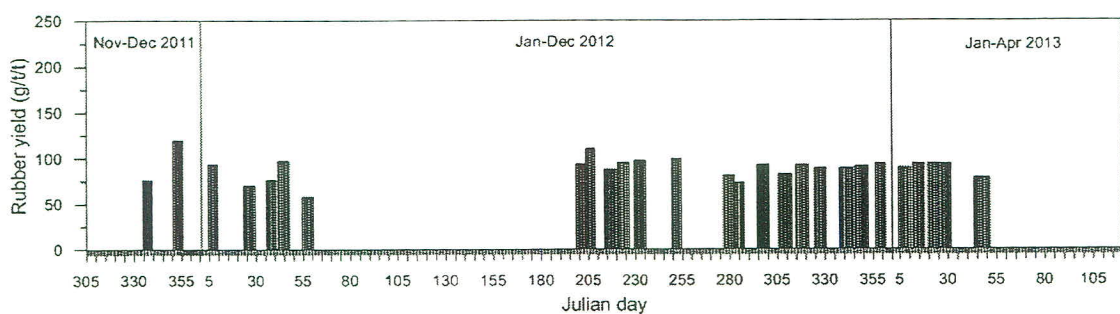
สงขลา



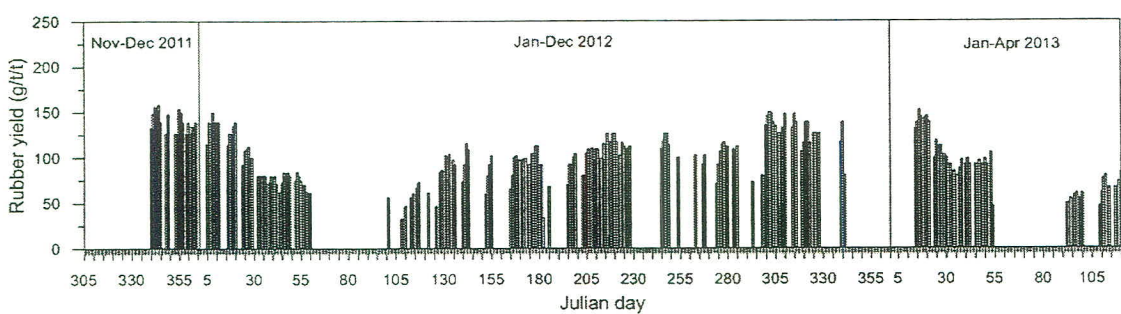
รูปที่ 4.54 ผลผลิตยางพารา (กรัมต่อตันต่อครั้งกรีด) ประเมินจากน้ำยางสดช่วงปลายปี 2554, ปี 2555 และต้นปี 2556 ของภาคใต้ฝั่งอ่าวไทย ในจังหวัดสุราษฎร์ธานี จังหวัดนครศรีธรรมราช จังหวัดพัทลุง และจังหวัดสงขลา



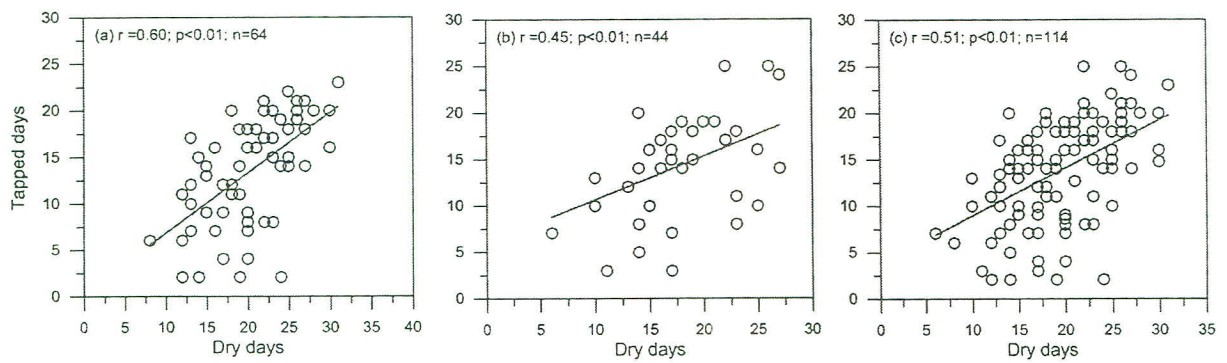
۱۵۸



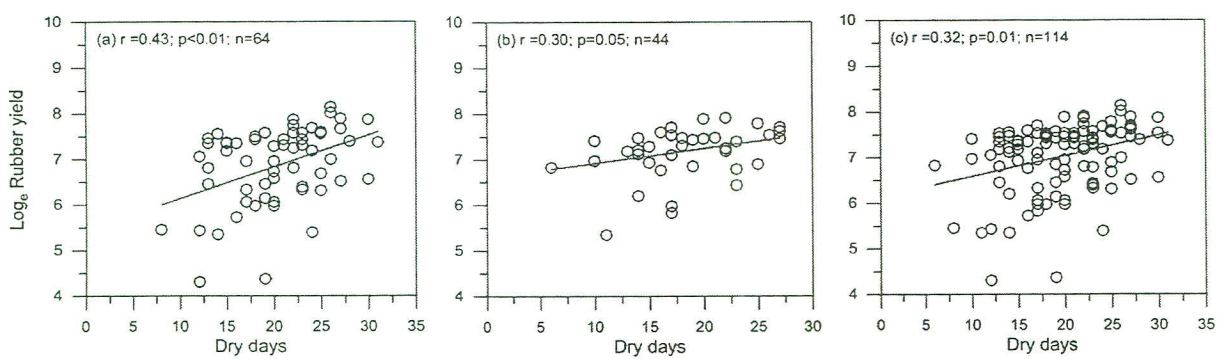
๓๙



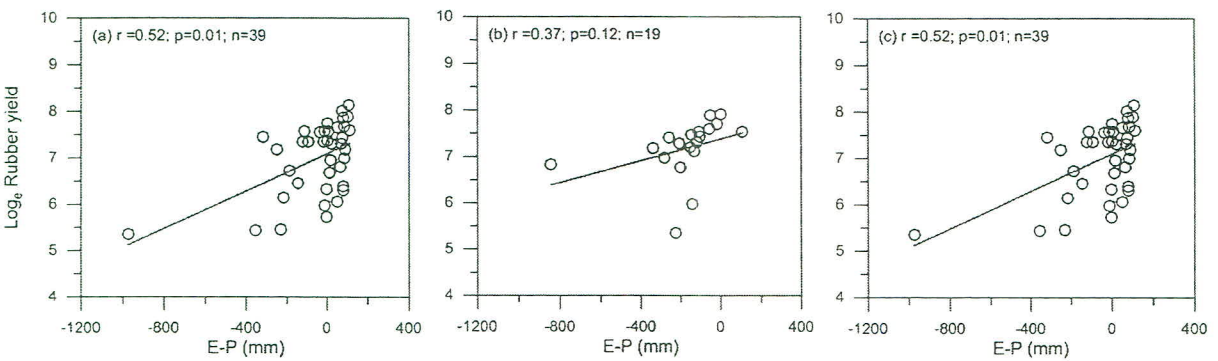
รูปที่ 4.55 ผลผลิตยางพารา (กรัมต่อตันต่อครั้งเก็บ) ประเมินจากน้ำยางสด ช่วงปลายปี 2554 ปี 2555 และต้นปี 2556 ของภาคใต้ฝั่งอันดามัน ในจังหวัดพังงา จังหวัดกระบี่ และจังหวัดตรัง



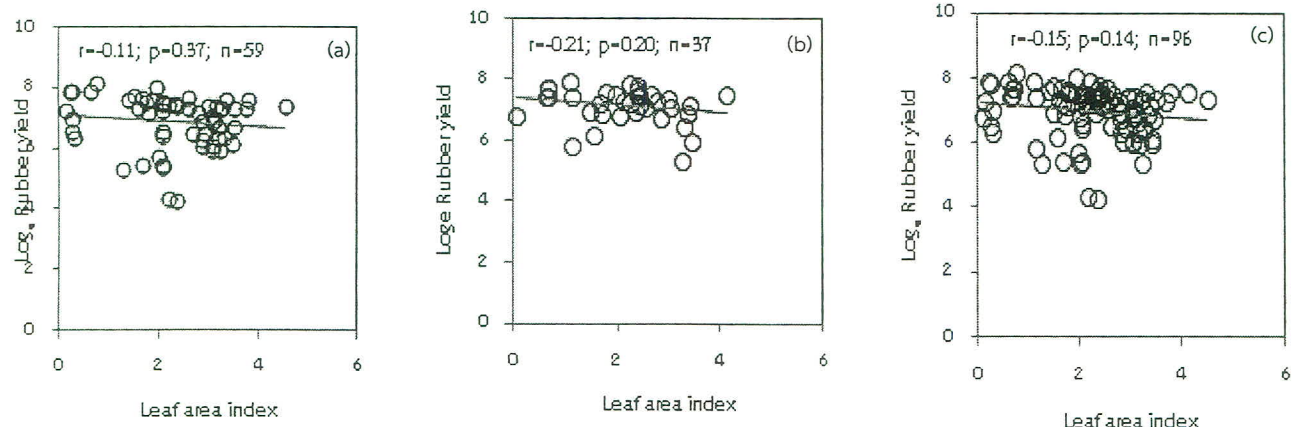
รูปที่ 4.56 (a) แสดงความสัมพันธ์ระหว่างจำนวนวันกรีดได้และวันที่ไม่มีฝนตกของภาคใต้ฝั่งอ่าวไทย (b) แสดงความสัมพันธ์ระหว่างผลผลิตกับจำนวนวันที่ไม่มีฝนตกของภาคใต้ฝั่งอันดามัน และ (c) แสดงความสัมพันธ์ระหว่างจำนวนวันที่กรีดได้และวันที่ไม่มีฝนตกรวมระหว่างภาคใต้ฝั่งอ่าวไทย และอันดามัน



รูปที่ 4.57 (a) แสดงความสัมพันธ์ระหว่างผลผลิตยางพาราและจำนวนวันที่ฝนไม่ตกของภาคใต้ฝั่งอ่าวไทย (b) แสดงความสัมพันธ์ระหว่างผลผลิตยางพาราและจำนวนวันที่ฝนไม่ตกของภาคใต้ฝั่งอันดามัน และ (c) แสดงความสัมพันธ์ระหว่างผลผลิตยางพาราและจำนวนวันที่ฝนไม่ตกของภาคใต้ฝั่งอ่าวไทย และอันดามัน



รูปที่ 4.58 (a) แสดงความสัมพันธ์ระหว่างผลผลิตยางพาราและค่า E-P ของภาคใต้ฝั่งอ่าวไทย (b) แสดงความสัมพันธ์ระหว่างผลผลิตยางพาราและค่า E-P ภาคใต้ฝั่งอันดามัน และ (c) แสดงความสัมพันธ์ระหว่างผลผลิตยางพาราและค่า E-P ของภาคใต้ฝั่งอ่าวไทย และอันดามัน

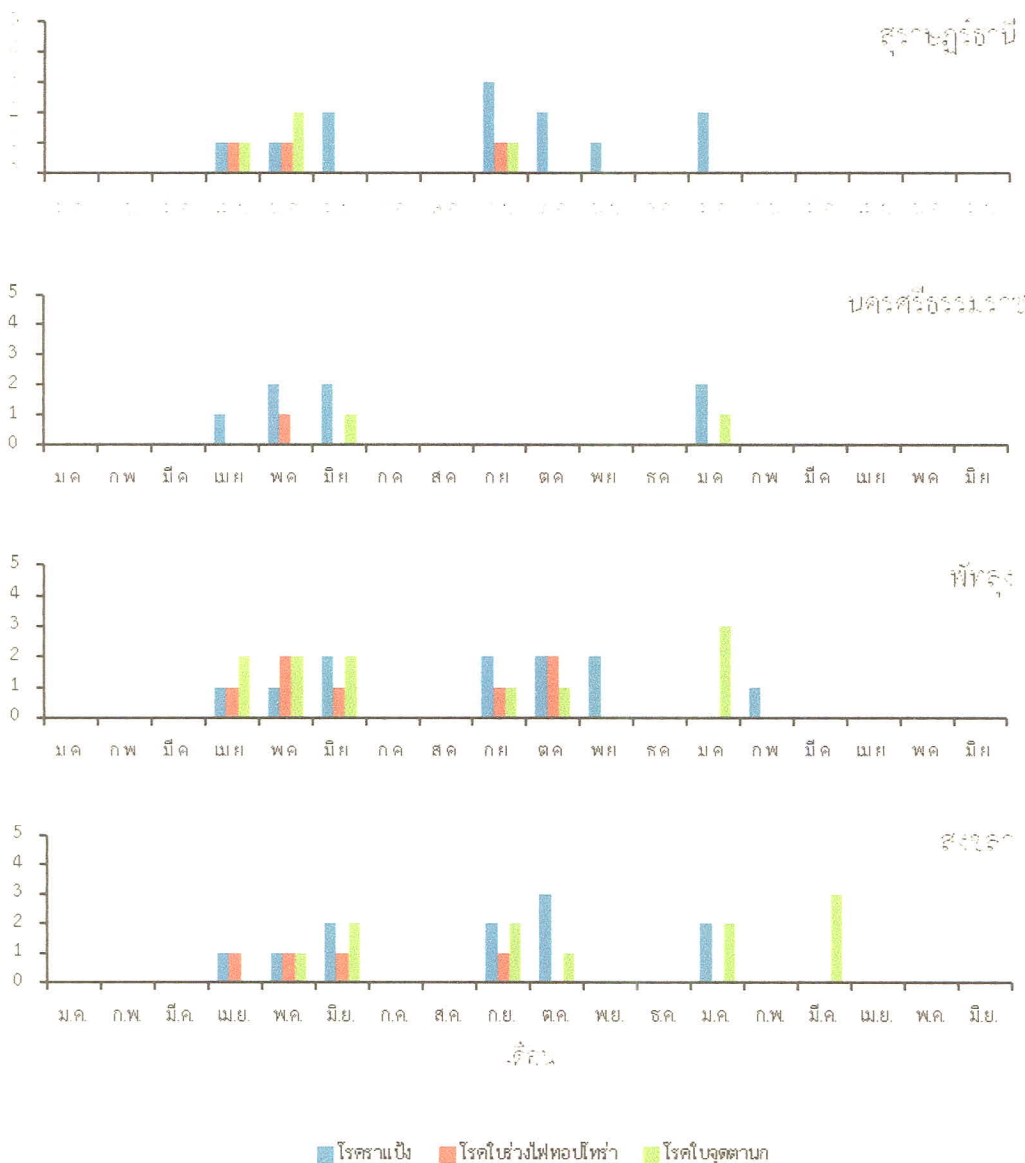


รูปที่ 4.59 แสดงความสัมพันธ์ระหว่าง Leaf area index กับ Loge Rubber yield ของภาคใต้ฝั่งอ่าวไทย (a) ภาคใต้ฝั่งอันดามัน (b) และรวมภาคใต้ฝั่งอ่าวไทยกับฝั่งอันดามัน (c)

ตารางที่ 4.13 จำนวนวันกรีด และผลผลิตในช่วงปีกรีด (พฤษภาคม 2555 – เมษายน 2556) ในพื้นที่ศึกษาใน 7 จังหวัด

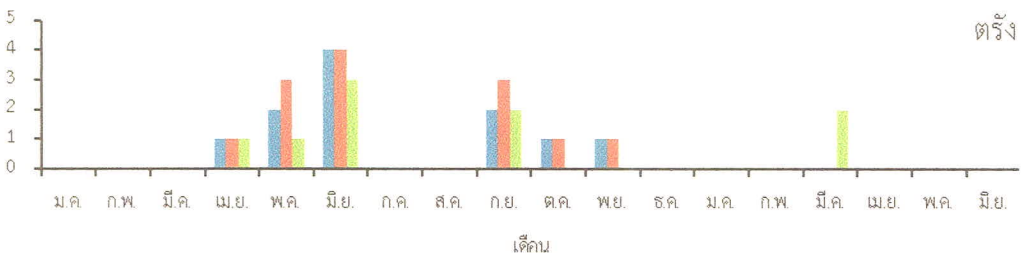
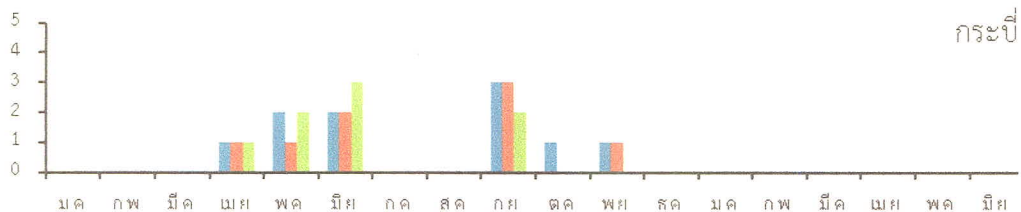
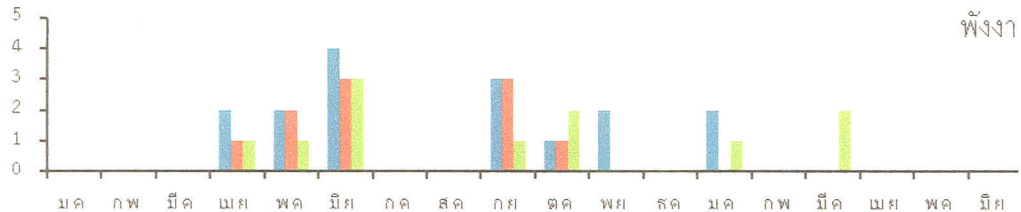
จังหวัด	พฤษภาคม 2555 ถึงเดือนเมษายน 2556	
	จำนวนวันกรีด	ผลผลิต (กก. /ไร่/ปี)
สุราษฎร์ธานี	135	83.27
นครศรีธรรมราช	141	424.01
พัทลุง	106	107.82
สงขลา	207	469.06
พังงา	86	78.17
กระบี่	122	244.83
ตรัง	155	388.85

การเกิดโรคในยางพาราของภาคใต้ฝั่งอ่าวไทย



รูปที่ 4.60 การเกิดโรคราแป้ง โรคไฟฟอบปอท่าร่า และโรคใบจุดตามนก ตั้งแต่เดือนมกราคม 2555 ถึงเดือนมิถุนายน 2556 ของภาคใต้ฝั่งอ่าวไทยในจังหวัดสุราษฎร์ธานี จังหวัดนครศรีธรรมราช จังหวัดพัทลุง และจังหวัดสงขลา

การเกิดโรคในยางพาราของภาคใต้ผู้อันดามัน



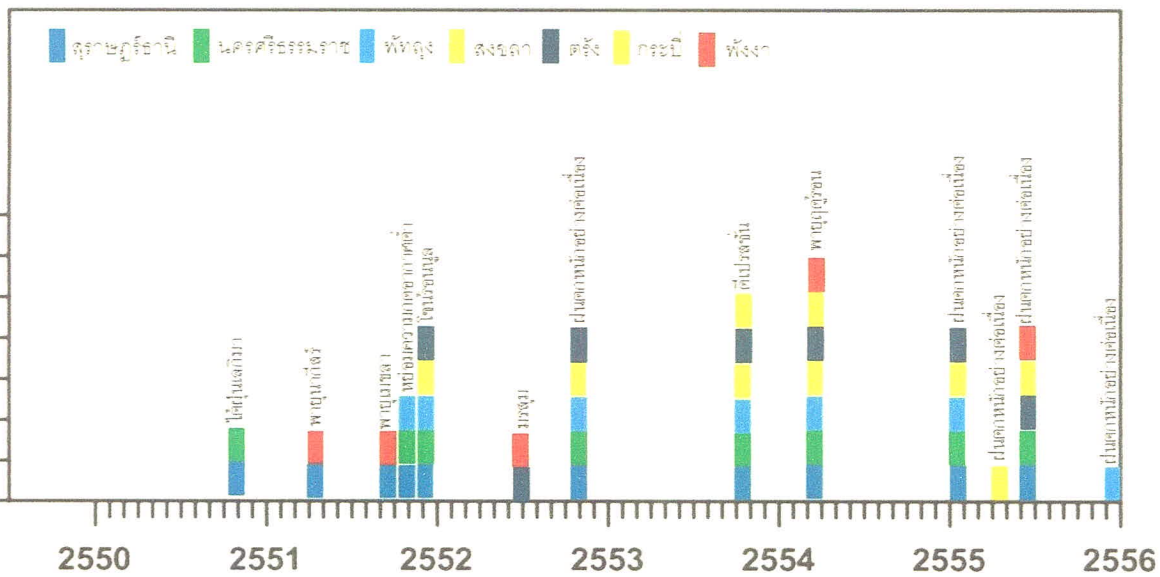
■ โรคราแป้ง ■ โรคใบร่วงใบหอป่าทราย ■ โรคใบบุบดาลก

รูปที่ 4.61 การเกิดโรคราแป้ง โรคไฟหอป่าทราย และโรคใบบุบดาลก ตั้งแต่เดือนมกราคม 2555 ถึงเดือนมิถุนายน 2556 ของภาคใต้ผู้อันดามัน ในจังหวัดพังงา จังหวัดกรุงศรีฯ และจังหวัดตรัง

4.3 ผลกระทบและความเสี่ยหายจากการก่อภัย อุทกภัยและดินโคลนถล่มในภาคใต้

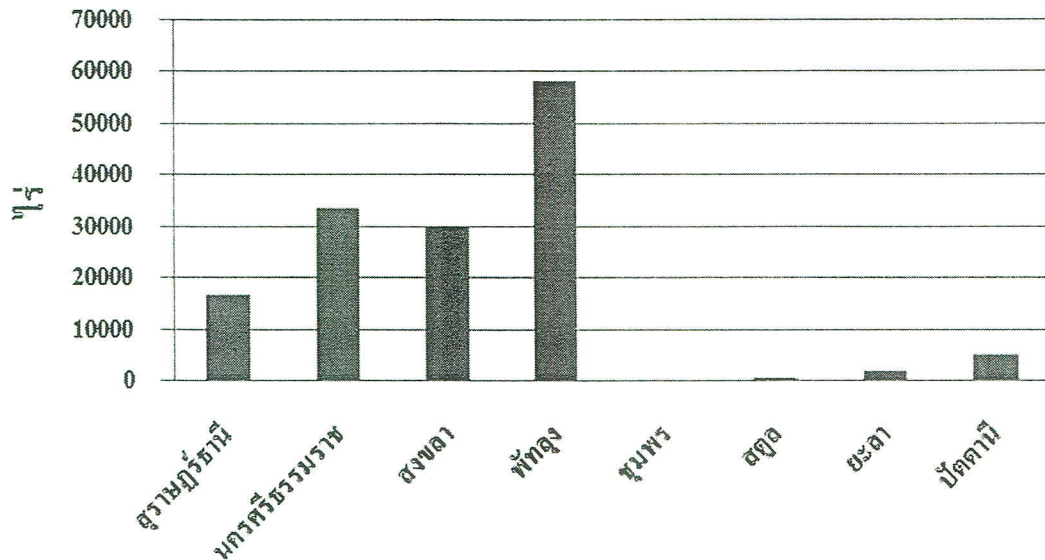
4.3.1 เหตุการณ์วัวตภัย อุทกภัยและดินโคลนถล่มในภาคใต้ (7 จังหวัด)

ภัยพิบัติทางลมฟ้าอากาศ รวมถึงอุทกภัยทั้งที่เกิดจากพายุโซนร้อน ดีเปรสชัน หย่อมความกดอากาศต่ำ และเหตุการณ์ฝนตกหนักอย่างต่อเนื่อง ได้ส่งผลกระทบและสร้างความเสี่ยหายต่อพื้นที่ป่าลุյย่างพาราเป็นบริเวณ กว้างในพื้นที่ภาคใต้ หลักฐานจากสถิติข้อมูลที่ได้บันทึกโดยหน่วยงานต่างๆ ที่เกี่ยวข้องภัยพิบัติทางธรรมชาติ ระบุ ถึง เหตุการณ์อุทกภัยในพื้นที่ 7 จังหวัดภาคใต้ซึ่งเป็นพื้นที่ที่มีสวนยางพารามากถึง 8.3 ล้านไร่ หรือ 45% ของ พื้นที่ป่าลุยย่างทั้งหมดของประเทศไทย มีความถี่และความรุนแรงเพิ่มขึ้นในช่วง 5-6 ปีที่ผ่านมา (รูปที่ 4.62) จากข้อมูล ดังกล่าว พบว่า จ.สุราษฎร์ธานี เป็นจังหวัดที่เกิดเหตุการณ์ภัยพิบัติทางธรรมชาติสูงสุด 10 เหตุการณ์ในรอบ 7 ปี รองลงมา คือ จ.นครศรีธรรมราช 8 เหตุการณ์ จ.พัทลุงและตรัง 7 เหตุการณ์ จ.พังงา และสงขลา 5 เหตุการณ์ โดยที่ จ.ยะลา ไม่เคยมีการบันทึกข้อมูลใดๆ เกี่ยวกับภัยพิบัติทางธรรมชาติ แต่ในปี พ.ศ. 2553 ได้สร้างความเสี่ยหายต่อพื้นที่สวนยางพาราใน 9 จังหวัด ประกอบด้วยนครศรีธรรมราช พัทลุง สุราษฎร์ธานี ตรัง สงขลา ชุมพร ปัตตานี ยะลาและสตูล รวมพื้นที่ประมาณ 145,988 ไร่ (สำนักงาน กองทุนส่งเสริมการทำการ农作 2553) ส่งผลให้มีการคืนล้มของต้นยางพาราเป็นพื้นที่บริเวณกว้างและมีน้ำ ท่วมขัง โดยพื้นที่ในจังหวัดพัทลุง ได้รับความเสี่ยหายสูงสุด ประมาณ 10% ของพื้นที่ป่าลุยย่างทั้งหมดของจังหวัด (รูปที่ 4.63)



รูปที่ 4.62 พื้นที่ประสบภัยพิบัติทางธรรมชาติน้อยระหว่างปี พ.ศ. 2550-2556 ใน 7 จังหวัดภาคใต้

พื้นที่สวนยางพาราที่เสียหายจากการภัยและอุทกภัยในปี พ.ศ. 2553

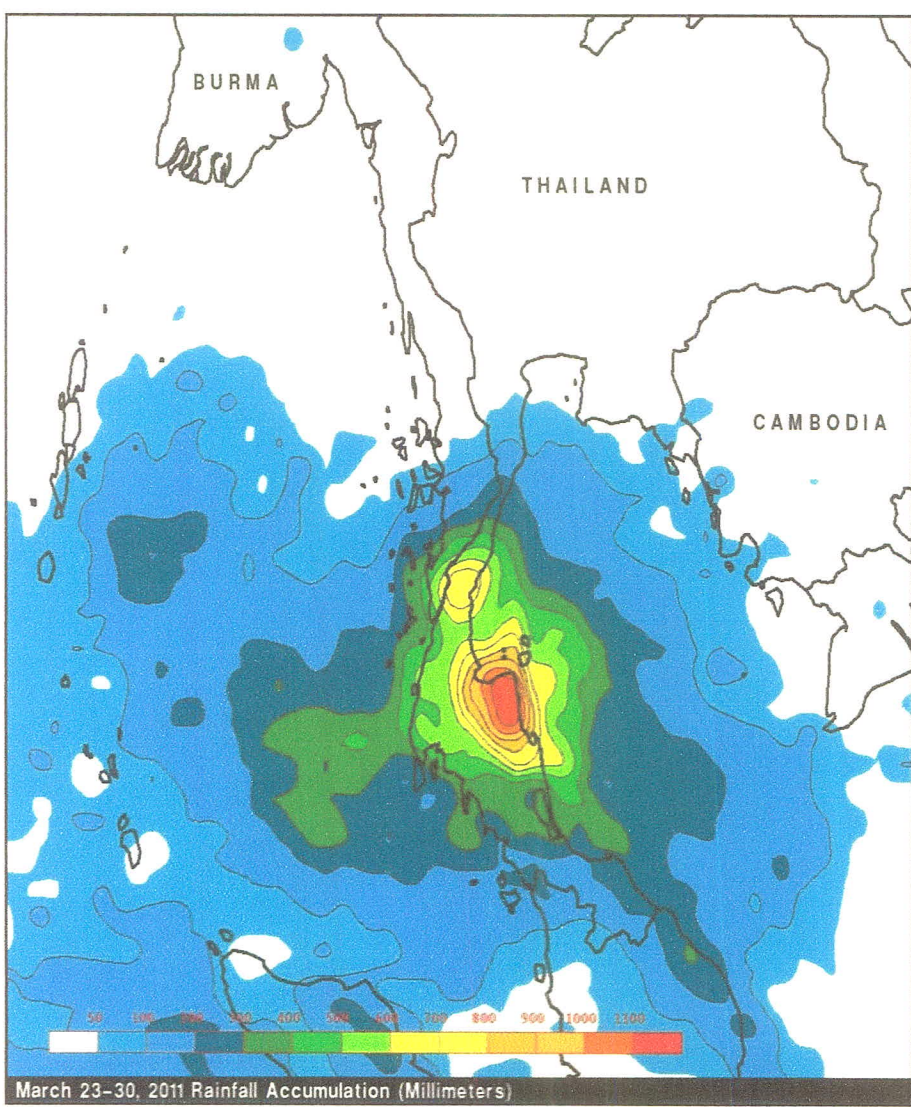


รูปที่ 4.63 พื้นที่สวนยางพาราที่เสียหายจากการภัยและอุทกภัยในปี พ.ศ. 2553

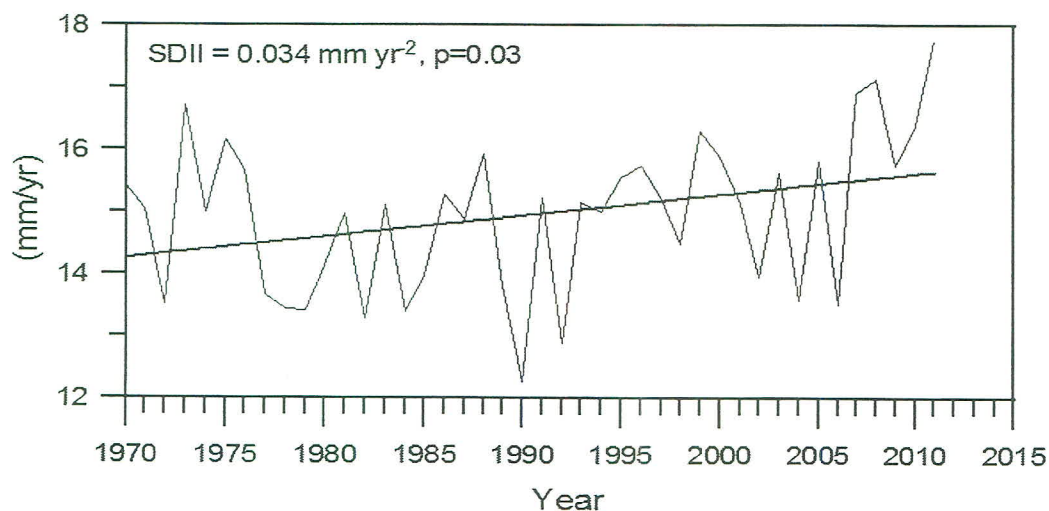
ตั้งจากนั้นเพียงหนึ่งปี ได้เกิดอุทกภัยครั้งใหญ่เมื่อเดือนมีนาคม พ.ศ. 2554 ซึ่งเป็นเหตุการณ์ผิดปกติที่ผ่านมาก็ไม่เคยมีมา ต่อเนื่องในช่วงฤดูร้อน ซึ่งปริมาณฝนสะสมเพียงแค่ 8 วัน (23-30 มีนาคม 2554) มีค่าสูงมากกว่า 600 มิลลิเมตรครอบคลุมในพื้นที่จังหวัดสุราษฎร์ธานี นครศรีธรรมราช และบางส่วนของจังหวัดกระบี่และพัทลุง (รูปที่ 4.64) โดยกรมป้องกันและบรรเทาสาธารณภัย (2554) ได้สรุประยงานสถานการณ์อุทกภัยทางภาคใต้ในช่วงเดือนมีนาคม 2554 ว่าได้สร้างความเสียหายใน 10 จังหวัดภาคใต้ (นครศรีธรรมราช พัทลุง สุราษฎร์ธานี ตรัง ชุมพร สงขลา กระบี่ พังงา สตูลและนราธิวาส) ครอบคลุมพื้นที่ 100 อำเภอ 646 ตำบล 4,229 หมู่บ้าน ราชภูมิเดือดร้อน 581,085 ครัวเรือน ผู้ประสบภัย 2,009,134 คน พื้นที่ด้านการเกษตรเสียหายประมาณ 1,049,634 ไร่ ทั้งนี้ ความเสียหายในภาพรวมของสวนยางพาราที่ได้รับผลกระทบจากอุทกภัยและดินถล่มที่เกิดขึ้นจากเหตุการณ์เมื่อเดือนมีนาคม 2554 ในพื้นที่ 7 จังหวัดภาคใต้ (พังงา กระบี่ ตรัง สุราษฎร์ธานี นครศรีธรรมราช พัทลุงและสงขลา) มีมูลค่าไม่ต่ำกว่า 417,707,939 บาท ยางพาราเสียหายมาต่ำกว่า 1,146,013 ตัน

แนวโน้มการเพิ่มขึ้นของเหตุการณ์อุทกภัยในภาคใต้ สอดคล้องกับการเปลี่ยนแปลงของสภาพแวดล้อม รุนแรงของฝน ซึ่งผลการศึกษา พบว่าบางด้านนึงของสภาพแวดล้อมมีการเปลี่ยนแปลงอย่างนัยสำคัญ ที่บ่งชี้ถึงลักษณะด้านต่าง ๆ ของสภาพแวดล้อม เช่น การเปลี่ยนแปลงของอุณหภูมิ ปริมาณฝน ปริมาณน้ำ ฯ ของสภาพแวดล้อม ที่มีแนวโน้มเพิ่มขึ้นในอัตรา 18 มิลลิเมตรต่อทศวรรษ ในรอบ 42 ปีที่ผ่านมา (พ.ศ. 2513-2554) ในขณะที่จำนวนวันฝนตกลงต่ำลง แต่ปริมาณฝนตกลงต่ำลงน้อยกว่า 0.34 มิลลิเมตรต่อวันต่อทศวรรษ (รูปที่ 4.65) โดยการเปลี่ยนแปลงความแรงของฝน เกิดขึ้นควบคู่กับการเพิ่มขึ้น

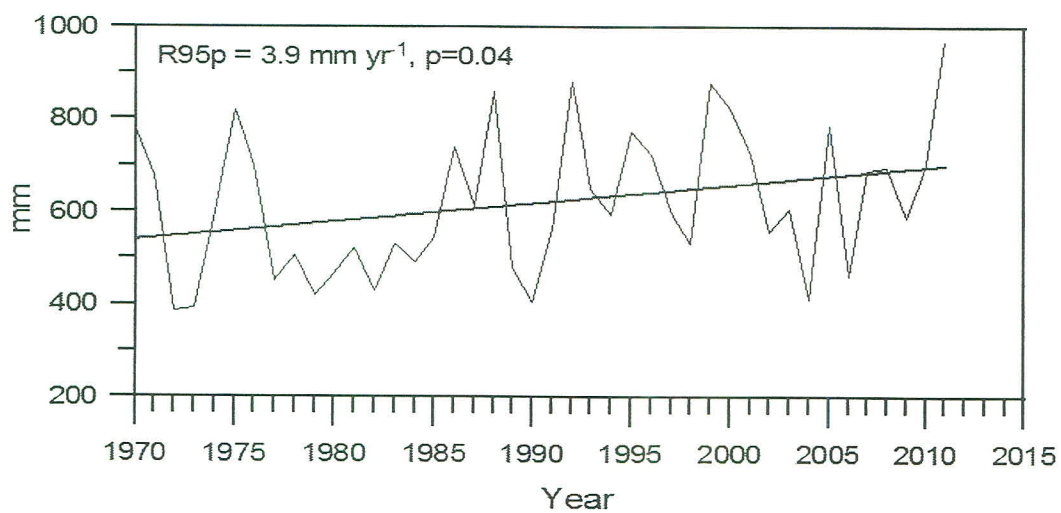
อย่างมีนัยสำคัญทางสถิติของปริมาณฝนรวมที่เกิดจากเหตุการณ์ฝนตกหนักซึ่งมีอัตราการเพิ่มขึ้น 3.9 มิลลิเมตรต่อปี (รูปที่ 4.66) และการลดลงอย่างมีนัยสำคัญของดัชนีระยะเวลาฝนตกอย่างต่อเนื่อง โดยสรุปแล้ว สภาวะความรุนแรงของฝนในภาคใต้ มีการเปลี่ยนแปลงในลักษณะที่ความถี่ของเหตุการณ์ฝนตกลดลง แต่ความถี่ของเหตุการณ์ฝนตกหนักและความแรงของฝนกลับเพิ่มขึ้น ซึ่งสอดคล้องกับข้อมูลที่บ่งชี้ถึงความถี่และความแรงของเหตุการณ์อุทกภัยในภาคใต้มีแนวโน้มเพิ่มขึ้น นอกจากนี้ ประเทินหนึ่งที่นำเสนอในเรื่องการเปลี่ยนแปลงของสภาวะความรุนแรงของฝนที่อาจส่งผลกระทบต่อการตอบสนองที่ผิดปกติของยางพารา คือ ปริมาณฝนในเดือนมีนาคมซึ่งปกตินับว่าเป็นฤดูแล้งในภาคใต้ มีแนวโน้มเพิ่มขึ้นอย่างมีนัยสำคัญทางสถิติในระดับความเชื่อมั่นที่มากกว่า 99% ในอัตรา 3.2 มิลลิเมตรต่อปี ในช่วงระหว่างปี พ.ศ. 2513-2554 (รูปที่ 4.67) โดยปริมาณฝนในเดือนมีนาคมของปี พ.ศ. 2554 ซึ่งเป็นช่วงที่เกิดพายุฤดูร้อน เพิ่มขึ้นประมาณ 730 เท่าเมื่อเปรียบเทียบกับค่าเฉลี่ยในช่วงปี พ.ศ. 2513-2554 หรือในระดับปริมาณฝน ที่เกิดขึ้นหนึ่งครั้งในรอบ 1000 ปี (1000 year return period)



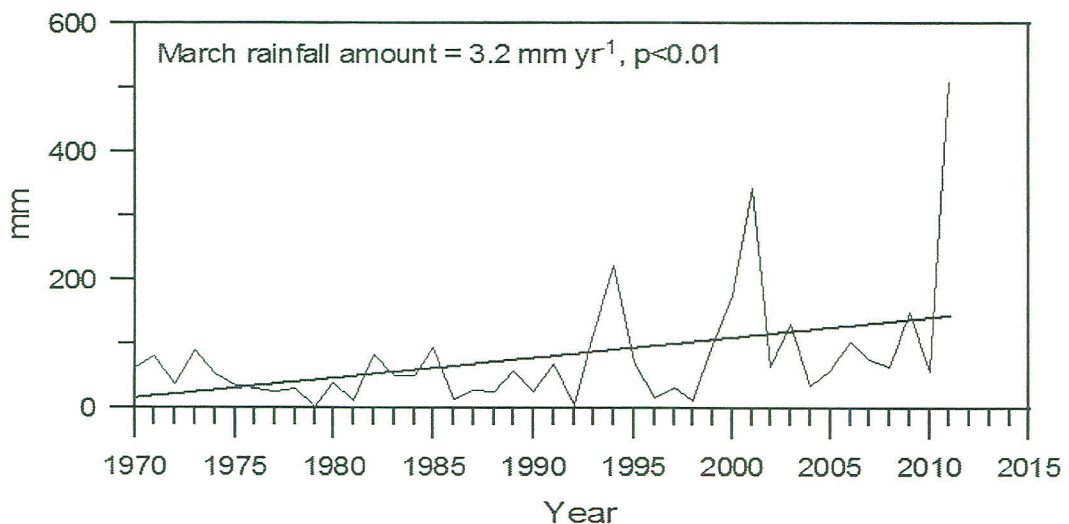
รูปที่ 4.64 ภาพถ่ายดาวเทียมแสดงปริมาณฝนสะสมในบริเวณพื้นที่ภาคใต้ ในช่วง 23-30 มีนาคม 2554



รูปที่ 4.65 แนวโน้มการเปลี่ยนแปลงของดัชนีความแรงของฝน (Simple Daily Intensity Index; SDII) ในภาคใต้



รูปที่ 4.66 แนวโน้มการเปลี่ยนแปลงของดัชนีปริมาณฝนที่เกิดจากเหตุการณ์ฝนตกหนัก (R95p) ในภาคใต้



รูปที่ 4.67 แนวโน้มการเปลี่ยนแปลงของปริมาณฝนสะสมในเดือนมีนาคม ในพื้นที่ภาคใต้

4.3.2 ความเสียหายของสวนยางพาราในพื้นที่จังหวัดพัทลุงจากเหตุการณ์อุทกภัยและวาตภัยใน ปี พ.ศ.

2553-2554

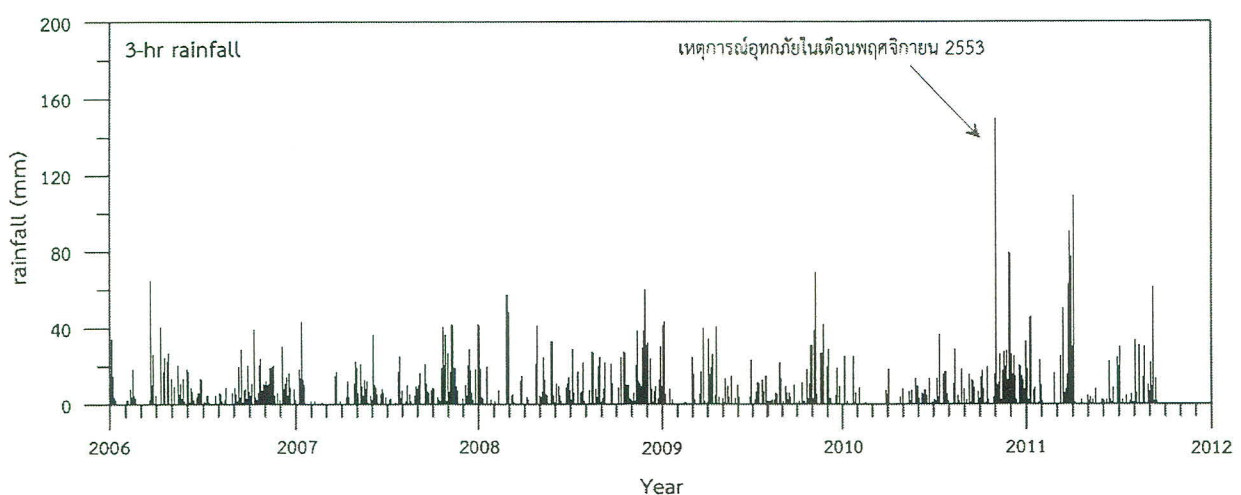
จังหวัดพัทลุง ได้ถูกคัดเลือกเป็นพื้นที่นำร่องในการจัดทำฐานข้อมูลพื้นที่สวนยางพาราเสียหาย ทั้งนี้เนื่องจากจังหวัดพัทลุง เป็นจังหวัดที่มีพื้นที่เชื่อมต่อระหว่างชายฝั่งด้านอ่าวไทยและอันดามัน รวมถึงมีความถี่สูงขึ้นต่อการได้รับผลกระทบจากอุทกภัย วาตภัย ดินโคลนคลุ่ม ข้อมูลความเสียหายของสวนยางพาราเป็นข้อมูลรายบุคคล ที่รวบรวมจากสำนักงานกองทุนสงเคราะห์การทำสวนยาง จ.พัทลุง เป็นข้อมูลในช่วงที่เกิดเหตุการณ์อุทกภัยครั้งใหญ่ในเดือนพฤษภาคม ปี พ.ศ.2553 และปลายเดือนมีนาคม-ต้นเดือนเมษายน ปี พ.ศ.2554

สำหรับเหตุการณ์อุทกภัยและวาตภัยในเดือนพฤษภาคม ปี พ.ศ.2553 พบว่า ปัจจัยหลักทางภูมิอากาศที่มีส่วนทำให้เกิดเหตุการณ์อุทกภัยครั้งใหญ่ในเดือนพฤษภาคม ปี พ.ศ.2553 มีสภาพรุนแรงกว่าปกติ คือ ปริมาณฝนและความเร็วลม ผลกระทบวิเคราะห์ข้อมูลปริมาณฝนและความเร็วลมราย 3 ชั่วโมง พบว่า ช่วงที่เกิดเหตุการณ์อุทกภัยครั้งใหญ่ในเดือนพฤษภาคม ปี พ.ศ. 2553 มีปริมาณฝนและความเร็วลมสูงสุดในช่วงระหว่างปี พ.ศ. 2006-2012 โดยปริมาณฝนและความเร็วลมในช่วงเวลา 22.00 น. ของวันที่ 1 พฤษภาคม ถึงเวลา 04.00 น. ของวันที่ 2 พฤษภาคม มีค่า 149.6 mm และ 30 khot ตามลำดับ (รูปที่ 4.68 และ 4.69) และเมื่อวิเคราะห์ ความสัมพันธ์ระหว่างปริมาณฝนและความเร็วลมราย 3 ชั่วโมงในรูปของ Z-score ปรากฏว่า ปริมาณฝนและความเร็วลมในช่วง 22.00 น. วันที่ 1 พฤษภาคม ถึงเวลา 04.00 น. วันที่ 2 พฤษภาคม 2553 หรือช่วงระยะเวลาเพียงแค่ 6 ชั่วโมง มีค่าผิดปกติจากสภาพปกติอย่างมีนัยสำคัญ (Z-score ของฝน=37.6 และ z-score ของความเร็วลม=10.6) กล่าวคือ มีปริมาณฝนตกหนักร่วมกับเกิดความเร็วลมรุนแรงอย่างต่อเนื่องในช่วงระยะเวลาไม่นาน (รูปที่ 4.70) ซึ่งเหตุการณ์ดังกล่าว มีลักษณะ ‘Short-lived extreme weather’ ที่สามารถส่งผลกระทบอย่างรุนแรงและสร้างความเสียหายได้อย่างรวดเร็วและเป็นบริเวณกว้าง ในบริบทของความล่ำแหลม (vulnerability) และความยืดหยุ่นของระบบนิเวศน์ (Ecosystem resilience) รูปที่ 4.70 ยังสื่อให้เห็นระดับความรุนแรงของฝนและความเร็วลมซึ่งเป็นปัจจัยร่วมที่กำหนดพังก์ชั่นของ Hazard ของเหตุการณ์อุทกภัยและวาตภัย ในเดือนพฤษภาคม ปี พ.ศ.2553 มีค่าสูงผิดปกติกว่า Ecosystem resilience หรือ Threshold ของระบบ niเวศน์ที่จะสามารถรองรับแรงกดดันจากปัจจัยคุกคามภายนอกได้ นอกจากนี้ เดือนมีนาคม พ.ศ. 2554 ได้เกิดเหตุการณ์ผิดปกติที่ฝนตกหนักอย่างต่อเนื่องในช่วงฤดูร้อน ซึ่งปริมาณฝนสะสมเพียงแค่ 8 วัน (23-30 มีนาคม 2554) มีค่าสูงมากกว่า 600 มิลลิเมตร ครอบคลุมในพื้นที่จังหวัดสุราษฎร์ธานี นครศรีธรรมราช และบางส่วนของจังหวัดกระบี่และพัทลุง (รูปที่ 4.64)

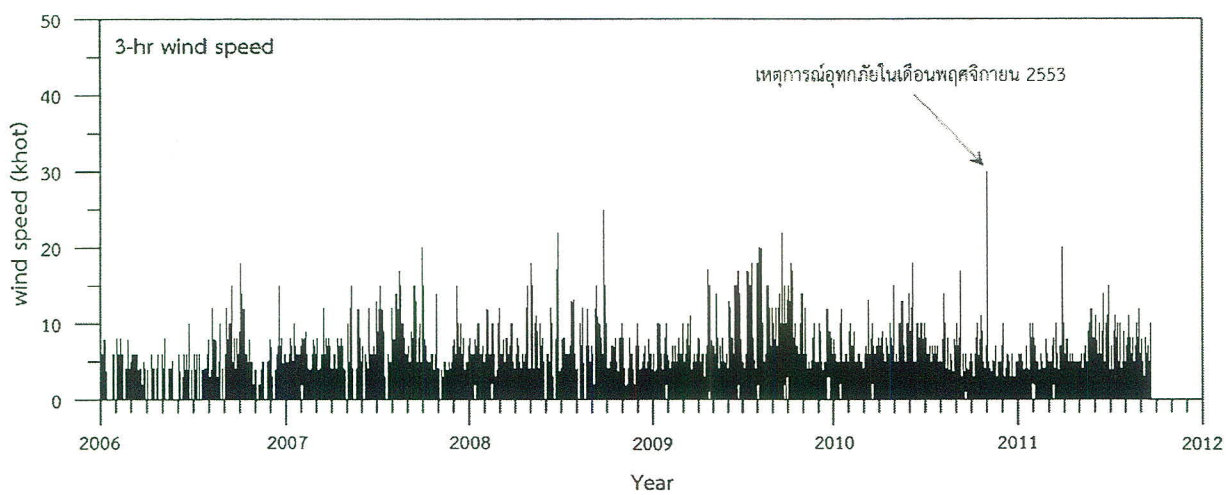
ข้อมูลความเสียหายของสวนยางพาราที่ได้รับรวมจากสำนักงานกองทุนสงเคราะห์การทำสวนยาง จ.พัทลุง ได้ผ่านการทดสอบคุณภาพ โดยข้อมูลมีความน่าเชื่อถืออยู่ในเกณฑ์ดี ตั้งจะเห็นได้จากข้อมูลจำนวนต้นยางพาราเสียหายและข้อมูลจำนวนเงินชดเชย มีความสอดคล้องกันในระดับสูง ซึ่งความสัมพันธ์ของทั้งสองข้อมูลมีค่าเท่ากับ = 0.89 (รูปที่ 4.71)

จากการศึกษา พบว่า ในพื้นที่ 11 อำเภอของ จ.พัทลุง มี 511 หมู่บ้าน 62 ตำบล ได้รับผลกระทบจากภัยพิบัติ ปี พ.ศ.2553-2554 ทั้งนี้ จำนวนหมู่บ้านที่ได้รับผลกระทบคิดเป็นร้อยละ 85 ของจำนวนหมู่บ้านทั้งหมดใน จ.พัทลุง และเมื่อพิจารณาสัดส่วนหมู่บ้านที่ได้รับผลกระทบกับจำนวนหมู่บ้านในแต่ละอำเภอ พบว่า อ.ป่าพะยอม และ อ.บางแก้ว เป็นอำเภอที่มีพื้นที่สวนยางพาราได้รับผลกระทบทุกหมู่บ้าน (34 และ 28 หมู่บ้านตามลำดับ) พื้นที่

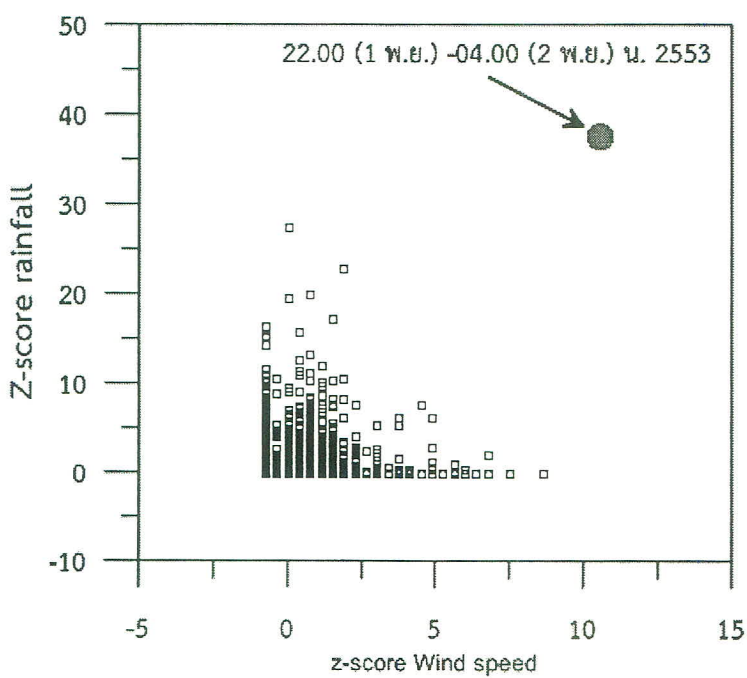
อ.คุนขุน ได้รับผลกระทบ 113 หมู่บ้าน จาก 116 หมู่บ้าน หรือคิดเป็นร้อยละ 97 ของพื้นที่ ในขณะที่ อ.ตะโหมด เป็นพื้นที่ที่มีสัดส่วนจำนวนหมู่บ้านได้รับผลกระทบน้อยที่สุดคิดเป็นร้อยละ 56 ของพื้นที่ (ตารางที่ 4.14) นอกจากนี้ ผลการศึกษา�ังพบว่า เหตุการณ์ที่เกิดขึ้นเดือนพฤษจิกายน ปี 2553 และปลายเดือนมีนาคม-ต้นเดือนเมษายน ปี 2554 ส่งผลให้เกษตรกรชาวสวนยางพาราได้รับผลกระทบทั้งสิ้น 14,242 คน โดยที่ อ.คุนขุน เป็นพื้นที่ที่มีเกษตรกรชาวสวนยางพาราได้รับผลกระทบมากที่สุดจำนวน 5,933 คน รองลงมา คือ อ.ปากพะยูน 2,985 คน และ อ.เมือง 1,325 คน ซึ่งจำนวนเกษตรกรชาวสวนยางพาราที่ได้รับผลกระทบใน 3 อำเภอถักล่า้ว คิดเป็นร้อยละ 72 ของจำนวนเกษตรประสนภัยทั้งหมด โดยที่ อ.ตะโหมด อ.กงหาร และ อ.ศรีนคินทร์ เป็นพื้นที่ที่มีจำนวนเกษตรกรได้รับผลกระทบน้อยที่สุด 287 คน (รวม 3 อำเภอ) หรือคิดเป็นร้อยละ 3 ของจำนวนเกษตรกรทั้งหมด



รูปที่ 4.68 ปริมาณฝนราย 3 ชั่วโมง ของสถานีตรวจวัดผิวพื้น ณ จังหวัดพัทลุง ในช่วงระหว่างปี ค.ศ.2006-2012



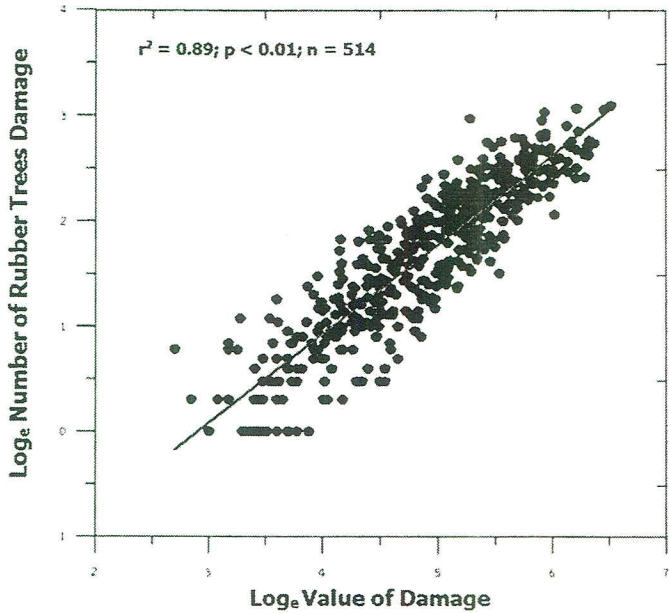
รูปที่ 4.69 ความเร็วลมราย 3 ชั่วโมง ของสถานีตรวจวัดผิวพื้น ณ จังหวัดพัทลุง ในช่วงระหว่างปี ค.ศ.2006-2012



รูปที่ 4.70 ค่า Z-score ปริมาณฝนและความเร็วลมราย 3 ชั่วโมง จ.พัทลุง ในช่วงระหว่างปี ค.ศ.2006-2012

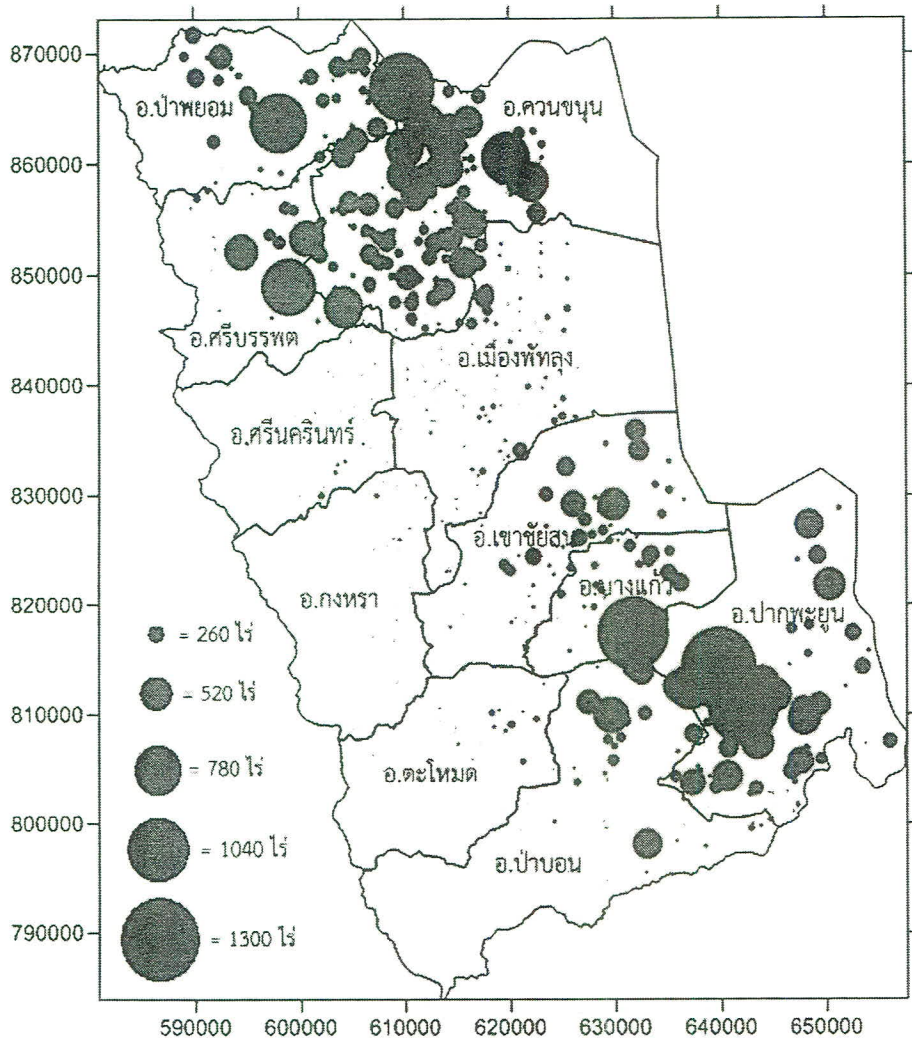
ตารางที่ 4.14 จำนวนหมู่บ้านและเกษตรกรที่ได้รับผลกระทบจากภัยพิบัติ ปี พ.ศ.2553-2554 จ.พัทลุง

อำเภอ	หมู่บ้าน (บ้าน)	หมู่บ้านได้รับผลกระทบ (บ้าน)	เกษตรกรได้รับผลกระทบ (คน)
1. กงหารา	26	22	100
2. เข้าชัยสน	53	42	800
3. ควนขุน	116	113	5,933
4. ตะโหมด	32	18	74
5. บางแก้ว	28	28	573
6. ปากพะยูน	60	57	2,985
7. ป่าบอน	45	36	997
8. ป่าพะยอม	34	34	823
9. เมือง	138	108	1,325
10. ศรีนคrinทร์	37	27	113
11. ศรีบรรพต	29	26	519



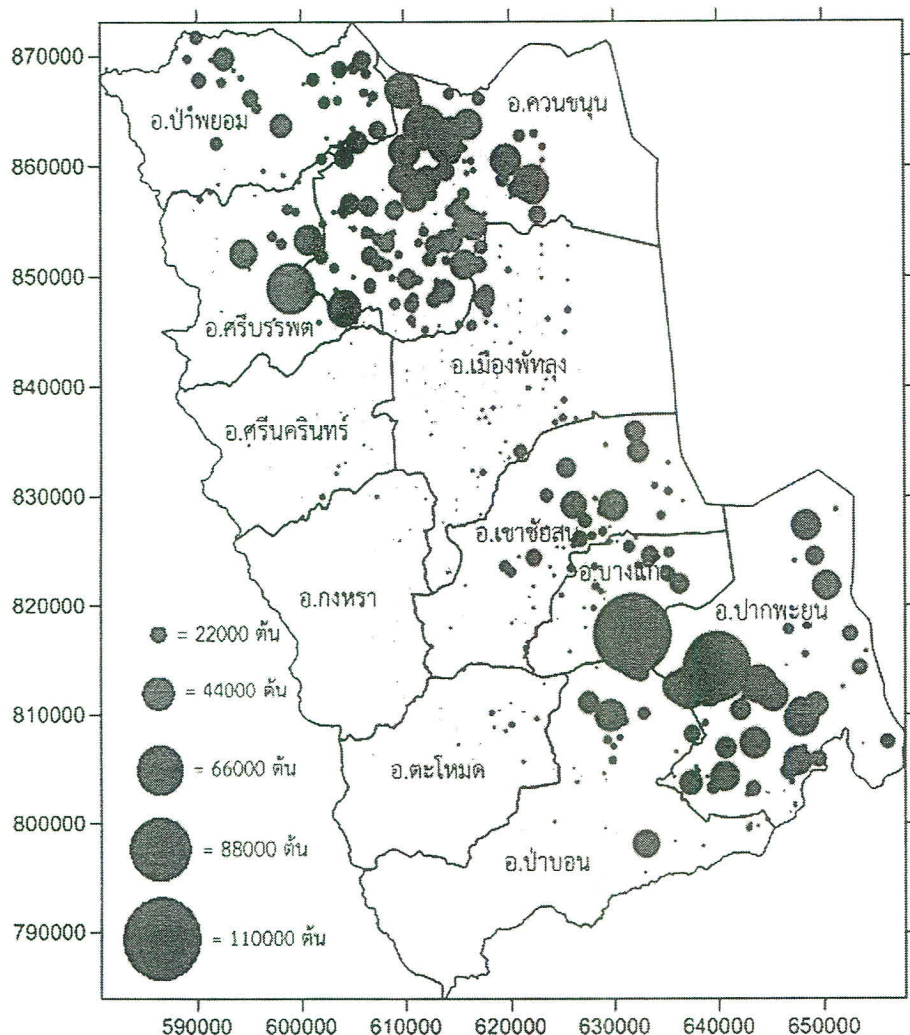
รูปที่ 4.71 ความสัมพันธ์ระหว่างจำนวนต้นยางพาราเสียหายกับจำนวนเงินชดเชย จ.พัทลุง ปี พ.ศ.2553-2554

ผลการวิเคราะห์ข้อมูลพื้นที่สวนยางพาราเสียหายในพื้นที่ จ.พัทลุง (รูปที่ 4.72) พบว่า มีพื้นที่สวนยางพาราเสียหาย 67,819 ไร่ โดยที่ อ.ควนขุน มีพื้นที่สวนยางพาราเสียหายมากที่สุด 24,533 ไร่ รองลงมา คือ อ.ปากพะยุน 14,626 ไร่ พื้นที่สวนยางพาราเสียหายใน 2 อำเภอตั้งกล่าวคิดเป็นร้อยละ 58 ของจำนวนพื้นที่สวนยางพาราเสียหายทั้งหมด ในขณะที่ อ.กงหาร อ.ตะโหมด และ อ.ศรีนคินทร์ มีพื้นที่สวนยางพาราเสียหายรวม 1,211 ไร่ หรือคิดเป็นร้อยละ 2 ของพื้นที่เสียหายทั้งหมด นอกจากนี้พื้นที่ อ.เข้าซัยสน (4,979 ไร่) อ.บางแก้ว (4,024 ไร่) อ.ป่าบอน (4,601 ไร่) อ.ป่าพะยอม (6,054 ไร่) อ.เมือง (3,996 ไร่) และ อ.ศรีบรรพต (3,795 ไร่) โดยพื้นที่ 6 อำเภอ ได้รับความเสียหายทั้งสิ้น 27,449 ไร่ หรือคิดเป็นร้อยละ 40 ของจำนวนพื้นที่สวนยางพาราเสียหายทั้งหมด



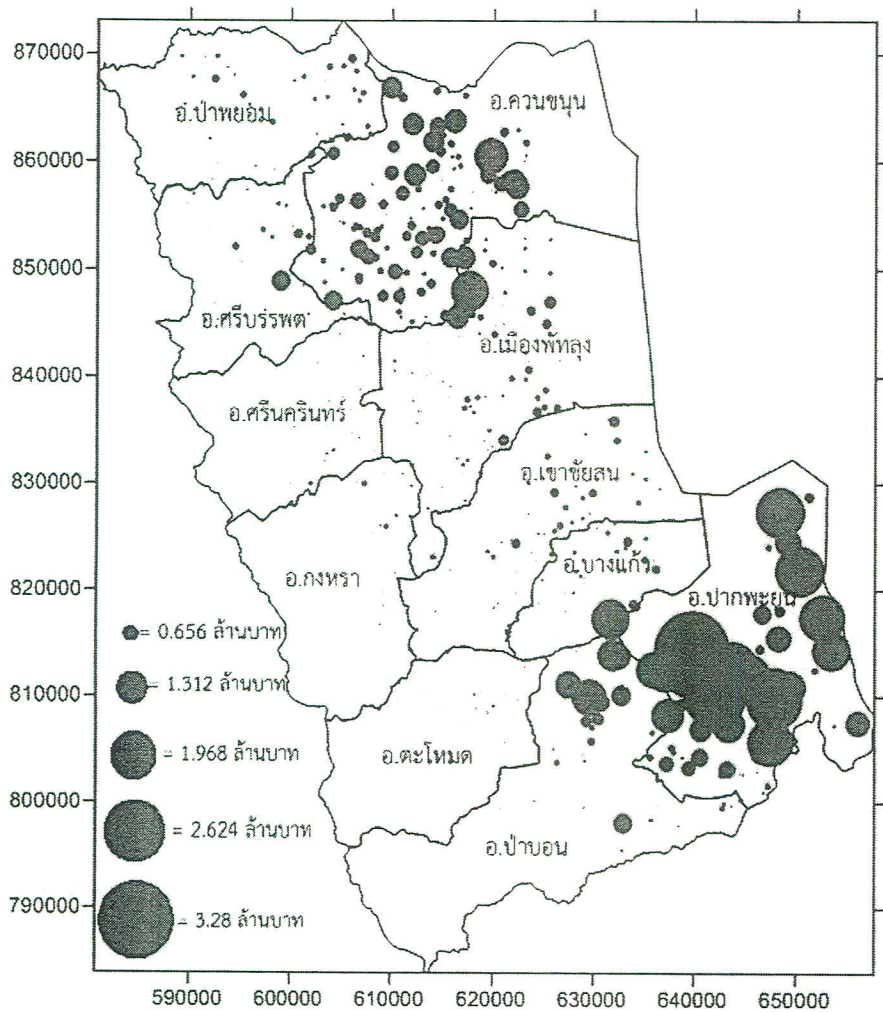
รูปที่ 4.72 พื้นที่สวนยางพาราเสียหายจังหวัดพัทลุง ปี พ.ศ.2553-2554

การวิเคราะห์ข้อมูลจำนวนต้นยางพาราเสียหายในพื้นที่ จ.พัทลุง (รูปที่ 4.73) พบว่า มีจำนวนต้นยางพาราเสียหายทั้งสิ้น 5,213,259 ต้น โดยที่ อ.คุนขบุน มีจำนวนต้นยางพาราเสียหายมากที่สุดจำนวน 1,878,626 ต้น รองลงมา คือ อ.ปากพะยูน 1,123,880 ต้น โดยจำนวนต้นยางพาราเสียหายของ 2 อำเภอ คิดเป็นร้อยละ 58 ของจำนวนต้นยางพาราเสียหายทั้งหมด นอกจากนี้พื้นที่ อ.เขาชัยสน (419,598 ต้น) อ.บางแก้ว (342,900 ต้น) อ.ป่าบ่อน (321,814 ต้น) อ.ป่าพะยอม (417,756 ต้น) อ.เมือง (331,882 ต้น) และ อ.ศรีบรรพต (281,554 ต้น) โดยพื้นที่ 6 อำเภอ มีต้นยางพาราได้รับความเสียหายทั้งสิ้น 2,115,504 ต้น หรือคิดเป็นร้อยละ 41 ของจำนวนต้นยางพาราเสียหายทั้งหมด ในขณะที่ อ.คง Hera อ.ตะใหม่ด และ อ.ศรีนคินทร์ มีต้นยางพาราเสียหายรวม 95,245 ต้น หรือคิดเป็นร้อยละ 2 ของจำนวนต้นยางพาราเสียหายทั้งหมด



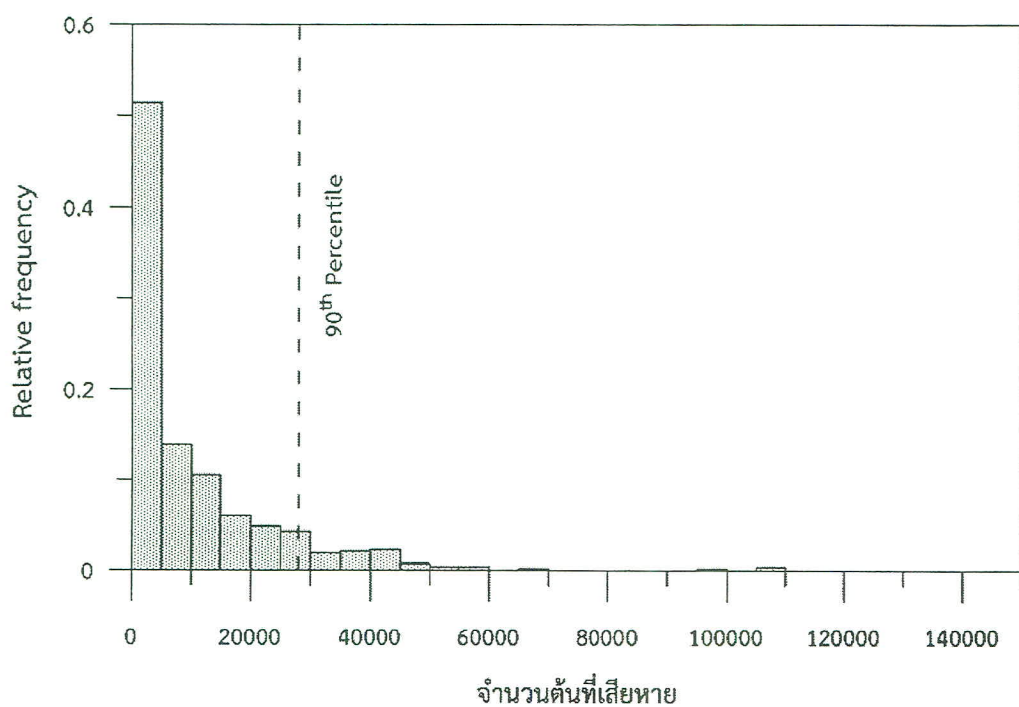
รูปที่ 4.73 จำนวนตั้นย่างพาราเสียหายจังหวัดพัทลุง ปี พ.ศ.2553-2554

ผลการวิเคราะห์จำนวนเงินชดเชยสวนยางพาราในจังหวัดพัทลุงซึ่งเหตุการณ์อุทกภัยครั้งใหญ่ในเดือนพฤษภาคม ปี พ.ศ.2553 และปลายเดือนมีนาคม-ต้นเดือนเมษายน ปี พ.ศ.2554 พบว่า มีมูลค่าเงินชดเชยรวม 131 ล้านบาท โดยมีอำเภอที่ได้รับเงินชดเชยมากกว่า 10 ล้านบาท 4 อำเภอ คือ อ.ปากพะยุน ได้รับเงินชดเชยสูงสุดที่ 49,450,728 บาท รองลงมา คือ อ.ควนชุม 37,945,470 บาท อ.เมือง 13,976,634 บาท และ อ.ป่านอน 12,769,050 บาท คิดเป็นร้อยละ 87 ของมูลค่าเงินชดเชยรวม ในขณะที่ อ.กงหารา อ.เข้าข่ายสน อ.ตะใหมด อ.บางแก้ว อ.ป่าพยยอม อ.ศรีนคินทร์ และ อ.ครีบรรพต มีมูลค่าจำนวนเงินชดเชยรวมกัน 17,708,782 บาท (รูปที่ 4.74)

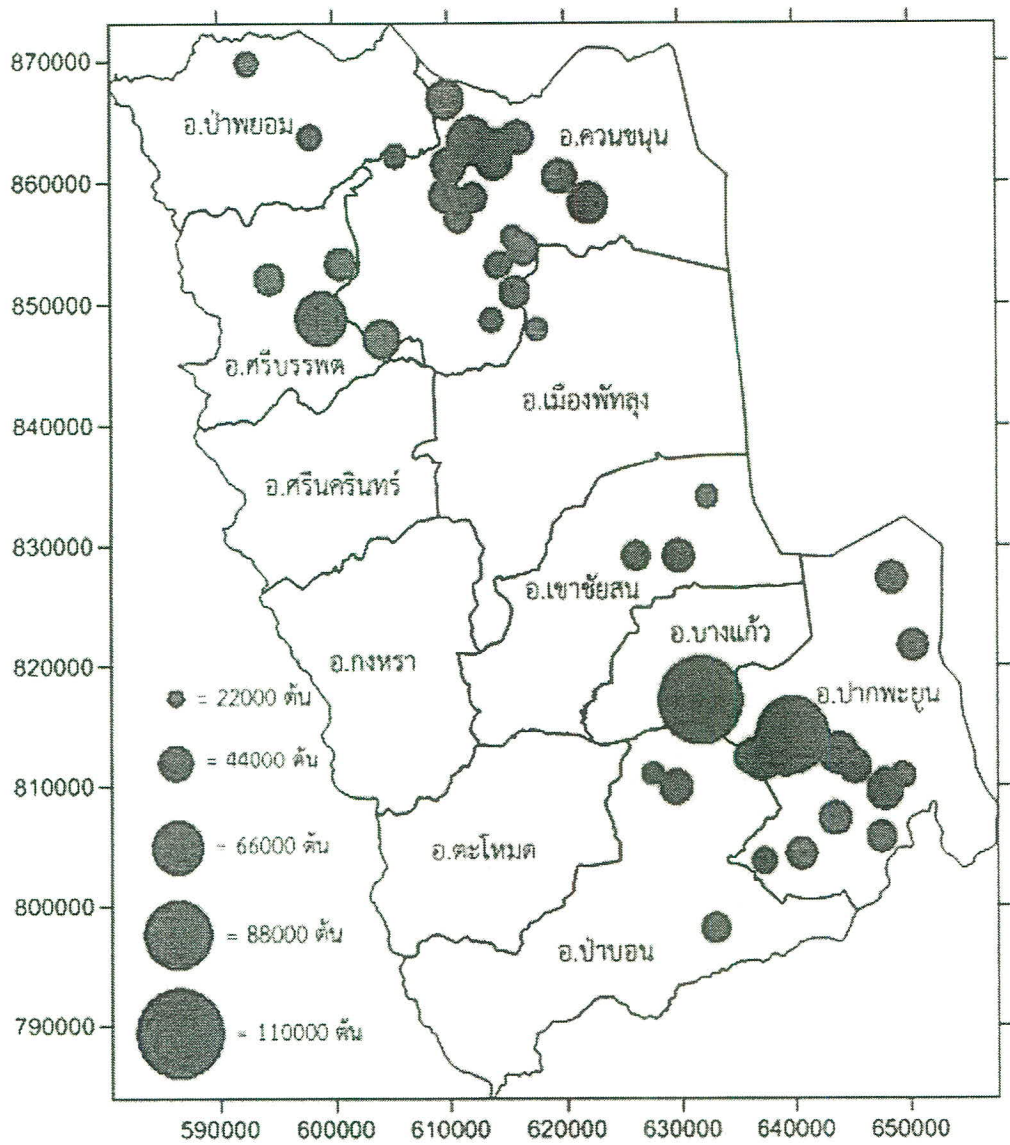


รูปที่ 4.74 มูลค่าเงินชดเชยสวนยางพาราเสียหายจังหวัดพัทลุง ปี พ.ศ.2553-2554

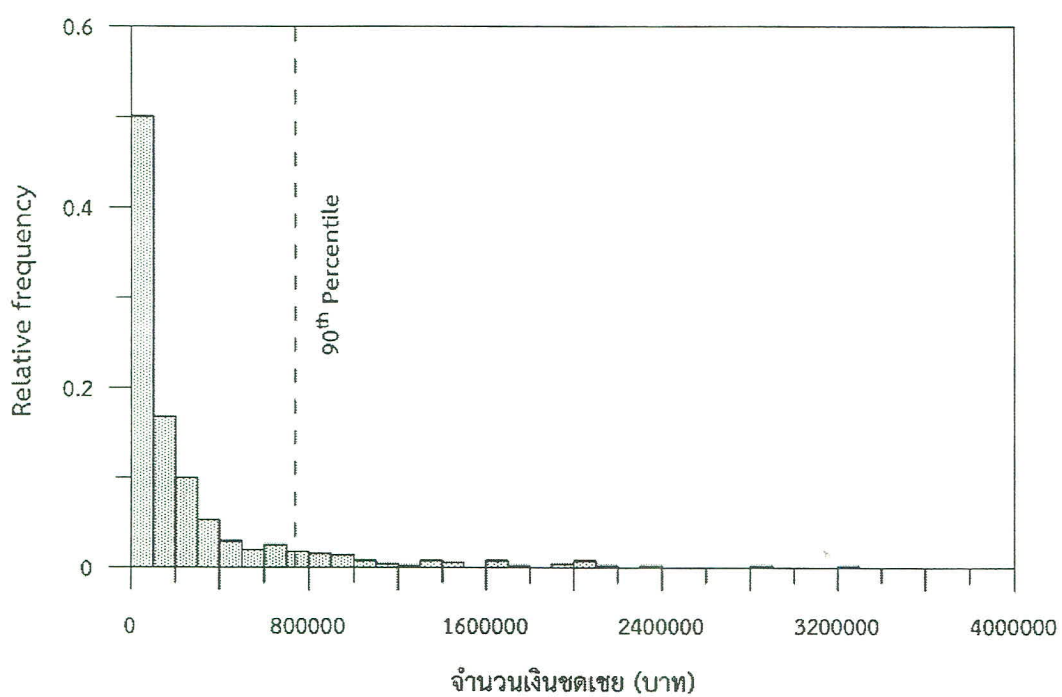
เมื่อพิจารณาถึงจำนวนต้นยางพาราเสียหายรายหมู่บ้านในระดับ 90th Percentile หรือมีจำนวนต้นยางพาราเสียหายมากกว่า 28,021 ต้นต่อหมู่บ้าน มีทั้งสิ้น 51 หมู่บ้าน 24 ตำบล 8 อำเภอ (รูปที่ 4.75) โดยพบที่ อ.คุณขันนุน 22 หมู่บ้าน เสียหาย 856,322 ต้น อ.ปากพะยุน 16 หมู่บ้าน เสียหาย 700,324 ต้น อ.ศรีบรรพต 3 หมู่บ้าน เสียหาย 146,212 ต้น อ.ป่าบอน 3 หมู่บ้าน เสียหาย 109,218 ต้น อ.เข้าซิสัน 3 หมู่บ้าน เสียหาย 105,805 ต้น อ.บางแก้ว 1 หมู่บ้าน เสียหาย 109,286 ต้น อ.ป่าพะยอม 2 หมู่บ้าน เสียหาย 61,143 ต้น และ อ.เมือง 1 หมู่บ้าน เสียหาย 28,449 ต้น (รูปที่ 4.76) นอกจากนี้ เมื่อทำการวิเคราะห์จำนวนเงินชดเชยรายหมู่บ้านในระดับ Percentile 90 หรือมีจำนวนเงินชดเชยมากกว่า 738,360 บาทต่อหมู่บ้าน มีทั้งสิ้น 51 หมู่บ้าน 20 ตำบล 6 อำเภอ (รูปที่ 4.77) พบรที่ อ.ปากพะยุน 24 หมู่บ้าน เสียหาย 39,870,248 บาท อ.คุณขันนุน 13 หมู่บ้าน 12,079,840 บาท อ.ป่าบอน 8 หมู่บ้าน 8,652,840 บาท อ.เมือง 4 หมู่บ้าน 4,313,888 บาท อ.บางแก้ว 1 หมู่บ้าน 1,632,870 บาท และ อ.ศรีบรรพต 1 หมู่บ้าน 789,490 บาท ตามลำดับ (รูปที่ 4.78)



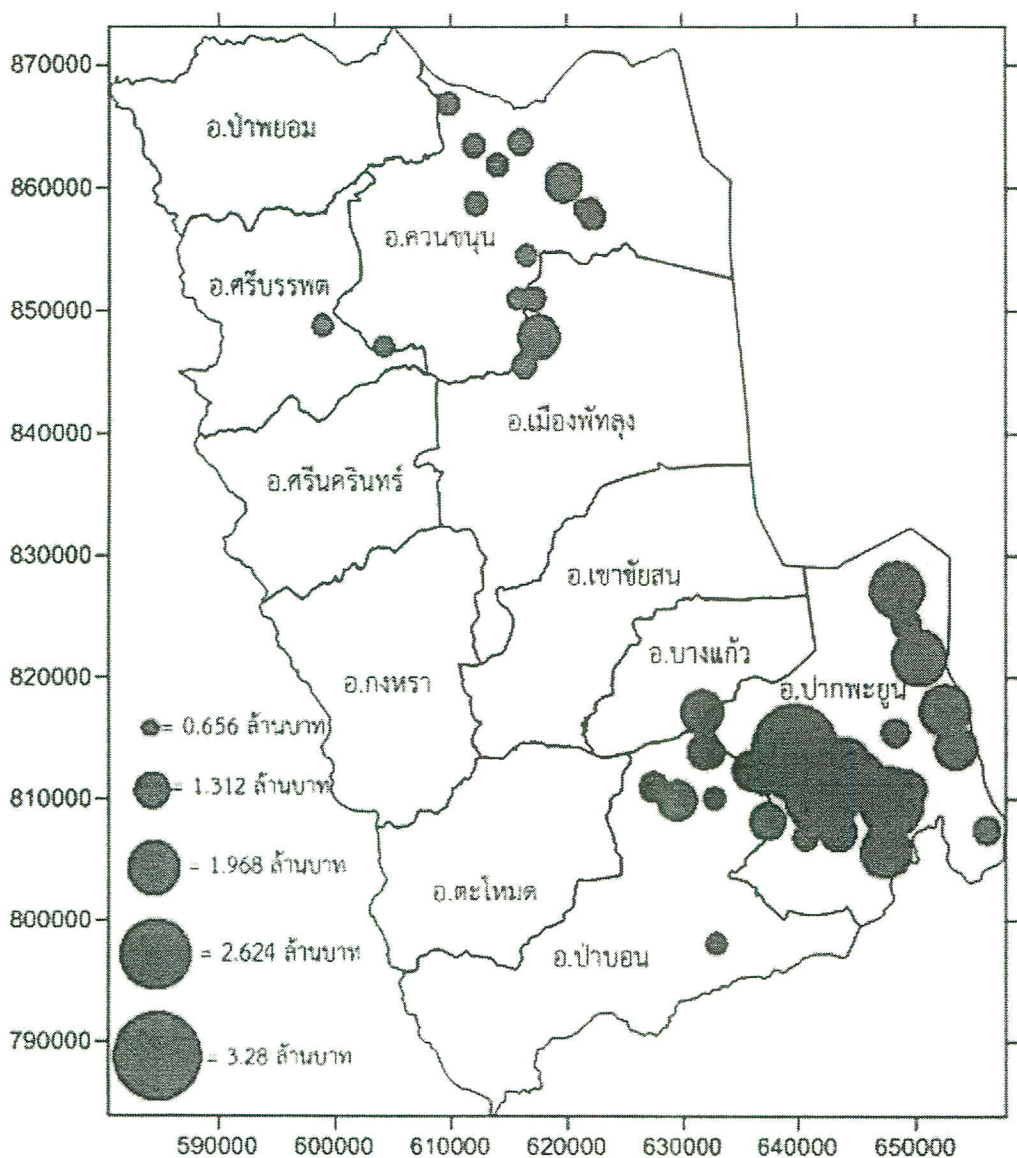
รูปที่ 4.75 จำนวนต้นยางพาราเสียหาย ระดับ 90th Percentile จังหวัดพัทลุง ปี พ.ศ.2553-2554



รูปที่ 4.76 แผนที่จำนวนตันยางพาราเสียหาย ระดับ 90th Percentile จังหวัดพัทลุง ปี พ.ศ.2553-2554



รูปที่ 4.77 จำนวนเงินชดเชย ระดับ 90th Percentile จังหวัดพัทลุง ปี พ.ศ.2553-2554



รูปที่ 4.78 แผนที่เงินชดเชยส่วนยางพาราเสียหาย ระดับ 90th Percentile จังหวัดพัทลุง ปี พ.ศ.2553-2554

สำนักงานคลังจังหวัดพัทลุง (2553) ได้จัดทำข้อมูลผลิตภัณฑ์มวลรวมจังหวัดพัทลุง โดยพบว่า จังหวัดพัทลุงมีมูลค่าผลิตภัณฑ์มวลรวมจังหวัด Gross Provincial Product (GPP) ปี พ.ศ. 2553 มีมูลค่ารวมทุกสาขา 37,328 ล้านบาท โดยในสาขาวิชาการเกษตรมีมูลค่า 14,664 ล้านบาท คิดเป็นร้อยละ 39 ของมูลค่าผลิตภัณฑ์มวลรวมจังหวัด และเมื่อพิจารณาเปรียบเทียบจำนวนเงินชดเชยในช่วงเหตุการณ์อุทกภัยครั้งใหญ่กับผลิตภัณฑ์มวลรวมจังหวัดพัทลุง ในปี พ.ศ. 2553 พบร่วมกัน 4,000 ล้านบาท คิดเป็นร้อยละ 0.4 ของมูลค่าผลิตภัณฑ์มวลรวมจังหวัด และคิดเป็นร้อยละ 0.9 เมื่อเปรียบเทียบจำนวนเงินชดเชยกับผลิตภัณฑ์มวลรวมสาขาวิชาการเกษตร